

საქართველოს ტექნიკური უნივერსიტეტი

## ლეონტინა გალდავა

სტატიკური ციკლური დატვირთების და ბეტონის ასაკის  
გავლენა არსებული გრავიტაციული კაშხლების სიმტკიცეზე

დისერტაცია დოქტორის აკადემიური ხარისხის მოსაპოვებლად

თბილისი  
2014



სამუშაო შესრულებულია საქართველოს ტექნიკური უნივერსიტეტის  
სამშენებლო ფაკულტეტის ჰიდროსაინჟინრო დეპარტამენტში

სამეცნიერო ხელმძღვანელები: პროფესორი არჩილ მოწონელიძე  
პროფესორი ტარიელ კვიციანი

რეცენზენტები: პროფესორი მირიან ყალაბეგიშვილი  
ტ.მ.კ. პაატა ტულუში

დაცვა შედგება 2014 წლის 27 ივნის, 15<sup>თ</sup> სთ-ზე  
საქართველოს ტექნიკური უნივერსიტეტის სამშენებლო ფაკულტეტის  
სასწავლო, სამეცნიერო და საექსპერტო ლაბორატორიის აუდიტორიაში  
მისამართი: თბილისი 0175, კოსტავას 68<sup>ა</sup>, პირველი კორპუსი, მე-3 სართული

დისერტაციის გაცნობა შეიძლება  
სტუ-ს ბიბლიოთეკასა და სტუ-ს ვებ-გვერდზე

სადისერტაციო საბჭოს  
სწავლული მდივანი:

პროფესორი დ. ტაბატაძე



## სარჩევი

შესავალი.....	8
1. გრავიტაციული კაშხლების დაძაბულ-დეფორმირებული მდგომარეობის საანგარიშო მეთოდების რეტროსპექტული მიმოხილვა.....	9
1.1. კლასიკური ანალიზური მეთოდები.....	9
1.2. საკონტაქტო ამოცანები - კოჭური მეთოდი და ნახევრად ანალიზური მეთოდი.....	13
1.3. სასრული ელემენტების მეთოდით გრავიტაციული კაშხლების სიმტკიცეზე ანგარიში პორიზონტალური შრეებით თანდათანობითი აგების გათვალისწინებით .....	15
1.4. გრავიტაციული კაშხლების მდგრადობის და სიმტკიცის ანალიზი კატასტროფების თეორიის პოზიციებიდან .....	25
2. არსებული ბეტონის კაშხლების კომპლექსური რეტროსპექტული სტატიკური ანალიზის მეთოდიკა.....	34
2.1. მეთოდიკის რეალიზების თანმიმდევრობა .....	35
2.1.1. ეტაპი ღ-1: ბეტონის მოდელი ბრტყელი დეფორმაციის ამოცანებისათვის.....	36
2.1.2. ეტაპი ღ-1: კონსტიტუციური მოდელი ინტერფეისებისათვის (საკონტაქტო ზედაპირებისათვის).....	47
2.1.3. ეტაპი ღ-2: ცოცვადობის დეფორმაციების ანგარიში.....	54
2.1.4. ეტაპი ღ-3: ბზარის წარმოშობის და გავრცელების ანალიზი .....	59
3. ნელი სტატიკური ციკლური დატვირთვების და ბეტონის ასაკის გავლენა არსებული გრავიტაციული კაშხლის დაძაბულ-დეფორმირებულ მდგომარეობაზე.....	69
3.1. ეტაპი ღ-4: ციკლური დატვირთვებისა და ბეტონის ასაკის გავლენა ინტერფეისებზე .....	75
4. სტატიკური ციკლური დატვირთვების და ბეტონის ასაკის გავლენა გრეიისის გრავიტაციული კაშხლის დაძაბულ-დეფორმირებულ მდგომარეობაზე.....	86
4.1. საწყისი მონაცემები.....	86
4.2. სისტემაზე მოქმედებს მხოლოდ კაშხლის საკუთარი წონა (სამშენებლო შემთხვევა).....	92
4.3. სისტემაზე მოქმედებს კაშხლის საკუთარი წონა და ჰიდროსტატიკური დაწნევა სადაწნეო წახნაგზე (საექსპლუატაციო შემთხვევა).....	95
4.4. სისტემაზე მოქმედებს კაშხლის საკუთარი წონა, ჰიდროსტატიკური დაწნევა სადაწნეო წახნაგზე და ვერტიკალური ჰიდროსტატიკური დაწნევა წყალსაცავის ფსკერზე .....	99
4.5. სტატიკური ციკლური დატვირთვების და ბეტონის ასაკის გავლენა გრეიისის კაშხლის დაძაბულ-დეფორმირებულ მდგომარეობაზე.....	115
დასკვნები.....	126
ლიტერატურა .....	129



## ნაშრომში წარდგენილი ცხრილების ნუსხა:

ცხრილი 2.1: მეთოდის რეალიზების თანმიმდევრობა.....	35
ცხრილი 4.1:.....	105
ცხრილი 4.2:.....	106
ცხრილი 4.3:.....	107
ცხრილი 4.4:.....	108
ცხრილი 4.5:.....	109
ცხრილი 4.6:.....	110
ცხრილი 4.7:.....	111
ცხრილი 4.8:.....	112
ცხრილი 4.9:.....	113
ცხრილი 4.10:.....	114
ცხრილი 4.11:.....	119
ცხრილი 4.12:.....	120
ცხრილი 4.13:.....	121
ცხრილი 4.14:.....	122
ცხრილი 4.15:.....	123
ცხრილი 4.16:.....	124
ცხრილი 4.17:.....	125

## ნაშრომში წარდგენილი ნახაზების ნუსხა:

ნახ. 1.1: არათანაბარი კუმშვის მეთოდით გრავიტაციული კაშხლის სანაცარიში სქემა.....	11
ნახ. 1.2: დრეპალობის თეორიის მეთოდით გრავიტაციული კაშხლის სანაცარიში სქემა.....	12
ნახ. 1.3: ძეგლის კუმშვის პრინციპით დაგრადის წარმოდგენა წრფილი ტეხნიკით მოვალეობის სახით.....	17
ნახ. 1.4: გრავიტაციული კაშხლის სანაცარიში სქემა ფენომენით აგების მხედველობაში მიღებით.....	19
ნახ. 1.5: სისტემა „პრინციპით გრავიტაციული კაშხლი – ერთგვარიფანი კლირუანი ფუძის“ სანაცარიში სქემა ფენომენით აგების მხედველობაში მოვალეობით.....	21
ნახ. 1.6: ძაბვების განაწილების კინეტიკურ კუთხებში.....	22
ნახ. 1.7: $\sigma_y$ ძაბვების განაწილების კინეტიკური კუთხებში.....	24
ნახ. 1.8: სისტემის სტაბილური წონასწორობის სქემა.....	26
ნახ. 1.9: კაშხლის რევენის სქემა ნახტომის სეგმენტი სქემა წელის პირველი ცვლილებისას.....	27
ნახ. 1.10: ნახტომის სქემა სისტემაში – ფაზის ტრაექტორია კეთის დაშტრიხულ ფართს.....	30
ნახ. 1.11: ძაბვების გარების სქემა კაშხლის ფაზების ფაზები.....	31
ნახ. 2.1: ერთდროინ კუმშვის და ბრტყელი დაბაბული და ბრტყელი დაფირმაციების პირობებში მიღებული შედეგების ურთიერთ შედარება გაჭიმვა-კუმშვის ფარგლებში, როდესაც $\alpha = \sigma_z / \sigma_t = 0.05$ .....	45
ნახ. 2.2: ერთდროინ კუმშვის, ბრტყელი დაბაბული და ბრტყელი დაფირმაციების პირობებში მიღებული შედეგების ურთიერთ შედარება გაჭიმვა-კუმშვის ფარგლებში, როდესაც $\alpha = \sigma_z / \sigma_t = -0.05$ .....	46
ნახ. 2.3: მები ძაბვა-დეფორმაციების მოდელი ინტერფეისისათვის.....	49
ნახ. 2.4: ნორმალური ძაბვა-ფარდობითი გადაადგილების მოდელი ინტერფეისისათვის.....	53
ნახ. 2.5: აღწერილი მეთოდით მიღებული შედეგების შედარება $L_1$ -ში მოყვანილ კესვერიმიტებულ მონაცემებთან დეტანსა და კლდეს შორის ინტერფეისისათვის A პარამეტრის სხვადასხვა მნიშვნელობებისთვის.....	55
ნახ. 2.6: ცოცადობის დეფორმაციების ანგარიში $\sigma(t) = 7.0$ მას-ის დროს.....	58
ნახ. 2.7: ცოცადობის დეფორმაციების ანგარიში $\sigma(t) = 1.1$ მას-ის დროს.....	58
ნახ. 2.8: პზო დრეკად ბროუნში.....	62
ნახ. 2.9: ძაბვის ინტენსივობის $K_1$ ფაქტორის განაცარიშება.....	64
ნახ. 2.10: ძაბვის ინტენსივობის $K_1$ ფაქტორის განაცარიშება.....	65
ნახ. 2.11: ძაბვის ინტენსივობის $K_1$ ფაქტორის განაცარიშება.....	67
ნახ. 3.1: ძეგლის ერთდროინ კუმშვის ცდის, ბრტყელი დაბაბული და ბრტყელი დაფირმაციების შედეგების შედარება (კუმშვა-კუმშვა) ი ციკლების t ასაკის მხედველობაში მიხედვით, როდესაც $\alpha = 0.05$ .....	77
ნახ. 3.2: ძეგლის ერთდროინ კუმშვის ცდის, ბრტყელი დაბაბული და ბრტყელი დაფირმაციების შედეგება (კუმშვა-კუმშვა) ი ციკლების t ასაკის მხედველობაში მიხედვით, როდესაც $\alpha = -0.05$ .....	78
ნახ. 3.3: ძეგლის ერთდროინ კუმშვის ცდის, ბრტყელი დაბაბული და ბრტყელი დაფირმაციების შედეგების შედარება (კუმშვა-კუმშვა) ი ციკლების t ასაკის მხედველობაში მიხედვით, როდესაც $\alpha = -0.10$ .....	79
ნახ. 3.4: ძეგლის ერთდროინ კუმშვის ცდის, ბრტყელი დაბაბული და ბრტყელი დაფირმაციების შედეგების შედარება (კუმშვა-კუმშვა) ი ციკლების t ასაკის მხედველობაში მიხედვით, როდესაც $\alpha = -0.15$ .....	80
ნახ. 3.5: ძეგლისა და კლდეს შორის ინტერფეისში მები ძაბვა-ფარდობითი გადაადგილების მრუდები ცალკებადი A პარამეტრის შემთხვევებში n დაგენერირებული გადაადგილების მრუდები ცალკებადი A პარამეტრის შემთხვევებში n .....	84



ნახ. 3.7: ბეტონსა და კლდეს შორის ინტერფენსში მხები ძაბუ-ფარდობითიგადაადგილების მრუდები ცვალებადი	85
ნახ. 4.1: გრეისის კაშხლი და მისი აღილდება-რეობა.....	86
ნახ. 4.2: გრეისის კაშხლი (ბეტონი და ხელი ქმედი ბიუგვიანი).....	87
ნახ. 4.3: გრეისის კაშხლი ცენტრალური (B15 და B16 დლოიდები) განივი ჭრილები.....	87
ნახ. 4.4: გრეისის კაშხლის წყალსაცავის ავეგა-დაცლის გრაფიკი (1996-2006 წლები).....	88
ნახ. 4.5: ბლოკ B15-ის და მისი ფუძის ხანგარიში სქემაზე შემუშავების თანმიმდევრობა.....	89
ნახ. 4.6: ხასრული კლემბერების მეთოდით ხანგარიში სისტემა „გრეისის კაშხლი - ფუძე“.....	90
ნახ. 4.7: ხანგარიში შემთხვევების ძირითადი სქემები.....	91
ნახ. 4.8: ხისტერის პორიზონტური უ (X დერძის მიმართულებით) გადაადგილებების იზოუბნები.....	92
ნახ. 4.9: ხისტერის კერტიკალური v (Y დერძის მიმართულებით) გადაადგილებების იზოუბნები.....	92
ნახ. 4.10: პორიზონტური ნორმალური $\sigma_x$ ძაბვების იზოუბნები.....	93
ნახ. 4.11: კერტიკალური ნორმალური $\sigma_y$ ძაბვების იზოუბნები.....	94
ნახ. 4.12: მხები $\tau$ ძაბვების იზოუბნები.....	94
ნახ. 4.13: მაქსიმალური მოავარი $\sigma_1$ ძაბვების იზოუბნები.....	95
ნახ. 4.14: ხისტერის პორიზონტური უ (X დერძის მიმართულებით) გადაადგილებების იზოუბნები.....	96
ნახ. 4.15: ხისტერის კერტიკალური v (Y დერძის მიმართულებით) გადაადგილებების იზოუბნები.....	96
ნახ. 4.16: პორიზონტური ნორმალური $\sigma_x$ ძაბვების იზოუბნები.....	97
ნახ. 4.17: კერტიკალური ნორმალური $\sigma_y$ ძაბვების იზოუბნები.....	98
ნახ. 4.18: მხები $\tau$ ძაბვების იზოუბნები.....	98
ნახ. 4.19: მაქსიმალური მოავარი $\sigma_1$ ძაბვების იზოუბნები.....	99
ნახ. 4.20: ხისტერის პორიზონტური უ (X დერძის მიმართულებით) გადაადგილებების იზოუბნები.....	100
ნახ. 4.21: ხისტერის კერტიკალური v (Y დერძის მიმართულებით) გადაადგილებების იზოუბნები.....	100
ნახ. 4.22: პორიზონტური ნორმალური $\sigma_x$ ძაბვების იზოუბნები.....	101
ნახ. 4.23: კერტიკალური ნორმალური $\sigma_y$ ძაბვების იზოუბნები.....	101
ნახ. 4.24: მხები $\tau$ ძაბვების იზოუბნები.....	102
ნახ. 4.25: ხისტერის „გრეისის კაშხლი - ფუძე - წყალსაცავი“ ხანგარიში სქემა ხასრული კლემბერების მეთოდით (ფრაგმენტი).....	103
ნახ. 4.26: $\sigma_y$ ძაბვები ხაკონტაქტო კეთიში (7080 - 7359). წითელი და წყვეტილი ტეხილი ხაზი - $\sigma_y$ ძაბვები მეთოდით შემთხვევისათვის - ყველა ძალის ერთობლივი მოქმედება; მწვანე ტეხილი ხაზი - $\sigma_y$ ძაბვები პირველი შემთხვევისათვის - მხელოდ საკუთარი წონა პიდროსტატიური დაწნევა ხადაწნევ წახნაგ ზე.....	105
ნახ. 4.27: $\sigma_y$ ძაბვები 2-2 კეთიში (6943 - 7152). წითელი და წყვეტილი ტეხილი ხაზი - $\sigma_y$ ძაბვები მეთოდით შემთხვევისათვის - ყველა ძალის ერთობლივი მოქმედება; მწვანე ტეხილი ხაზი - $\sigma_y$ ძაბვები პირველი შემთხვევისათვის - მხელოდ საკუთარი წონა პიდროსტატიური დაწნევა ხადაწნევ წახნაგ ზე.....	106
ნახ. 4.28: $\sigma_y$ ძაბვები 3-3 კეთიში (6962 - 6955). წითელი და წყვეტილი ტეხილი ხაზი - $\sigma_y$ ძაბვები მეთოდით შემთხვევისათვის - ყველა ძალის ერთობლივი მოქმედება; მწვანე ტეხილი ხაზი - $\sigma_y$ ძაბვები პირველი შემთხვევისათვის - მხელოდ საკუთარი წონა პიდროსტატიური დაწნევა ხადაწნევ წახნაგ ზე.....	107
ნახ. 4.29: $\sigma_y$ ძაბვები 4-4 კეთიში (7001 - 7003). წითელი და წყვეტილი ტეხილი ხაზი - $\sigma_y$ ძაბვები მეთოდით შემთხვევისათვის - ყველა ძალის ერთობლივი მოქმედება; მწვანე ტეხილი ხაზი - $\sigma_y$ ძაბვები პირველი შემთხვევისათვის - მხელოდ საკუთარი წონა პიდროსტატიური დაწნევა ხადაწნევ წახნაგ ზე.....	108
ნახ. 4.30: $\sigma_y$ ძაბვები 5-5 კეთიში (7016 - 7017). წითელი და წყვეტილი ტეხილი ხაზი - $\sigma_y$ ძაბვები მეთოდით შემთხვევისათვის - ყველა ძალის ერთობლივი მოქმედება; მწვანე ტეხილი ხაზი - $\sigma_y$ ძაბვები პირველი შემთხვევისათვის - მხელოდ საკუთარი წონა პიდროსტატიური დაწნევა ხადაწნევ წახნაგ ზე.....	109





ნახ. 4.47: გერბიკალური ნორმალური  $\sigma_y$  ძაბვების გაიურები მუ-11 კვეთში როდესაც ხისტებაზე მოქმედებს კაშხლის ხარჯთარი წონა, პიდროსტატიკური წევა ხადაწევთ წახნაგზე და გერბიკალური პიდროსტატიკური დაწევთა წყალსაცვის ფსევრზე ( უწყების ხაზი – სამრუტებო გარიანტი, ცისცერი სამჯეობელი – ცისცერი დატვირთვების გათვალისწინებით, მწვანე ხამურაბეჭდი – ასაკის გათვალისწინებით).....125



## შესაგალი

მაღალი ბეტონის კაშხლების ფაქტიური ისტორია დაიწყო პუგერის (ყოფილი ვლისბოულდერის) თაღოვან-გრავიტაციული კაშხლის აგებით, რომლის სიმაღლე არის 221 მ. ამ თაღოვან-გრავიტაციული კაშხლის მშენებლობა მდ. კოლორადოზე (აშშ) დაიწყო 1932, ხოლო დასრულდა 1936 წელს. ამის შემდეგ მსოფლიოში სხვადასხვა ტიპის ათასობით ბეტონის კაშხალი აიგო, მათ შორის საქართველოშიც. მიუხედავად დიდი გამოცდილებისა, ინჟინრებისთვის დღესაც არის ღიად დარჩენილი საკითხები, რომლებიც ამ კაშხლების მუშაობას უკავშირდება და მოითხოვს გადაწყვეტას. ამით იქნება მიღწეული ის, რომ შესაძლებელი გახდება მათი სრული საექსპლუატაციო პოტენციალის დადგენა.

კომპიუტერული ტექნოლოგიების სწრაფმა განვითარებამ მე-20 საუკუნის 60-იანი წლებიდან გამოიწვია ბეტონის კაშხლების სიმტკიცის ანგარიშებისადმი მიღვომებში თვისობრივი ნახტომი. წინ წამოიწია და თანდათანობით დომინანტური პოზიციები დაიჭირა მათემატიკის რიცხვითმა, მეთოდებმა, როგორებიც არის სასაზღვრო ელემენტების მეთოდი და სასრული ელემენტების მეთოდი. ეს უკანასკნელი დღეს წარმოადგენს ძირითად და, ფაქტიურად, ერთადერთ ზუსტ და საიმედო სანგარიშო მეთოდს.

მიუხედავად იმისა, რომ სასრული ელემენტების მეთოდი ეფუძნება ვარიაციულ მიღვომას, მისი უდიდესი უპირატესობა არის ის, რომ მისი საშუალებით შესაძლებელია გაანგარიშდეს კაშხალი, მისი ფუძე და წყალსაცავი, როგორც ერთიანი სისტემა. ამ მეთოდისთვის არ არის პრობლემა მასალის არაერთგვაროვნება, ანიზოტროპულობა, აგების თანმიმდევრობის გათვალისწინება, ფიზიკური არაწრფივობა, ბზარწარმოქმნა, ფილტრაცია მოცულობითი ფორმულირება და სხვ.

კაშხლების სასრული ელემენტებით ანგარიშების პიონერები იყვნენ პროფ. ო. ზინკევიჩი, პროფ. რ. კლაფი, პროფ. ე. უილსონი, პროფ. ლიამ ფინი და სხვ. მათი დვაწლი უდიდესია კაშხლების ანალიზის დღევანდელი

მაღალი დონის მიღწევაში. საქართველოში აღნიშნულმა მეთოდმა კაშხლების ანგარიშებში ფეხი მოიკიდა 70-ანი წლებიდან (ა. მოწონელიძე, მ. ყალაბეგიშვილი, ბ.აბულაძე).

სადისერტაციო ნაშრომი ეხება არსებული და “გადაღლილი” ბეტონის გრავიტაციული კაშხლების დაძაბულ-დეფორმირებული მდგომარეობის ანგარიშს ორი მნიშვნელოვანი ფაქტორის – მასალის (ბეტონის) ასაკისა და ნელი სტატიკური ციკლური დატვირთვების გათვალისწინებით. ამ უკანასკნელში იგულისხმება წყალსაცავის ავსება-დაცლის ციკლები, რომელთა რაოდენობაც რეგულირების სახეზეა დამოკიდებული. ამ ფაქტორების გათვალისწინება საშუალებას იძლევა დადგინდეს ნაგებობის სიმტკიცის რესურსები.

ნაშრომი წარმოდგენილია 131 გვერდზე და შედგება შესავლის, ოთხი თავის, დასკვნებისა და ციტირებული ლიტერატურის სიისგან. ტექსტი ჩართულია 76 ნახაზი და 18 ცხრილი.

## 1. ბრავიტაციული კაშხლების დაპაპულ-დეფორმირებული მდგომარეობის საპაპულო მეთოდების რეტროსეპტული მიმოხილვა

### 1.1. კლასიკური ანალიზური მეთოდები

ბეტონის კაშხლების დაძაბულ-დეფორმირებული მდგომარეობის ყველაზე ადრეული ანალიზური საანგარიშო მეთოდი ეფუძნება დაშვებას, რომლის თანახმადაც კაშხალი წარმოდგენს კლდოვან ფუძეში ხისტად ჩამაგრებულ ძელს, რომელიც განიცდის ორი სახის დეფორმაციას ბრტყელი ამოცანის ფარგლებში: გაჭიმვა-კუმშვის და დუნცის. ეს მეთოდი ჩვენში ცნობილია სამი დასახელებით: მასალათა გამძლეობის მეთოდი, არათანაბარი კუმშვის მეთოდი და ელემენტარული მეთოდი [1]. ინგლისურენოვან ლიტერატურაში მას მოიხსენიებენ როგორც გრავიტაციულ მეთოდს.



ამ მეთოდის მიხედვით განიხილება კაშხლის პორიზონტალური კვეთები (ნახ. 1.1) და იანგარიშება ვერტიკალური ნორმალური ძაბვები  $\sigma_y$  სადაწნეო და უდაწნეო წახნაგებზე შემდეგი გამოსახულებიდან:

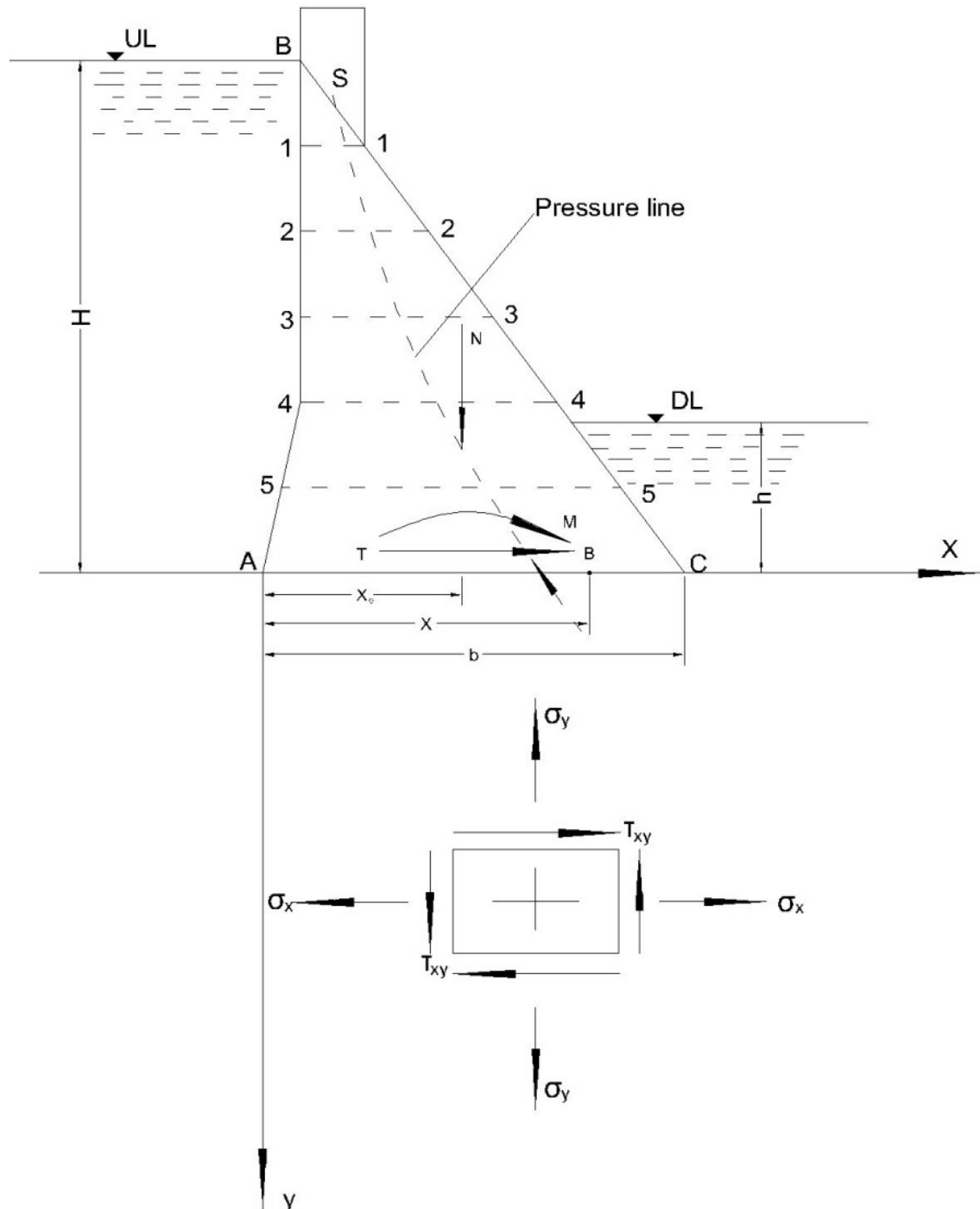
$$\sigma_y = \frac{N}{F} \mp \frac{M}{W} \quad (1.1)$$

სადაც  $N$  არის განსახილველი კვეთის ზემოთ მოქმედი ყველა ვერტიკალური ძალის ჯამი;  $F$  - განსახილველი კვეთის ფართობი ( $F = b^*l$ ,  $b$  - სექციის სიგანე);  $M$  - განსახილველი კვეთის ზემოთ მოქმედი ყველა ძალის მღენავი მომენტის ჯამი კვეთის სიმძიმის ცენტრის მიმართ;  $W$  - კვეთის წინაღობის მომენტი ( $W = \frac{b^2}{6}$ ).

$\sigma_y$  ძაბვის განსაზღვრის შემდეგ იანგარიშება პორიზონტალური ნორმალური ძაბვა  $\sigma_x$  და მხები  $\tau$  ძაბვები განსახილველი წერტილის დონეზე ელემენტარული პრიზმის ამოჭრისა და მისი წონასწორობის პირობების განხილვის შედეგად. ამის შემდეგ ცნობილი ფორმულებით იანგარიშება მთავარი ძაბვები და მათი მიმართულებები იგივე წერტილებში.

აღსანიშნავია ის, რომ აღწერილი მეთოდი დღემდე წარმატებით გამოიყენება დაბალი კაშხლების გაანგარიშებისა. ამ მეთოდს აქვს შედდეგი უარყოფითი მხარეები:

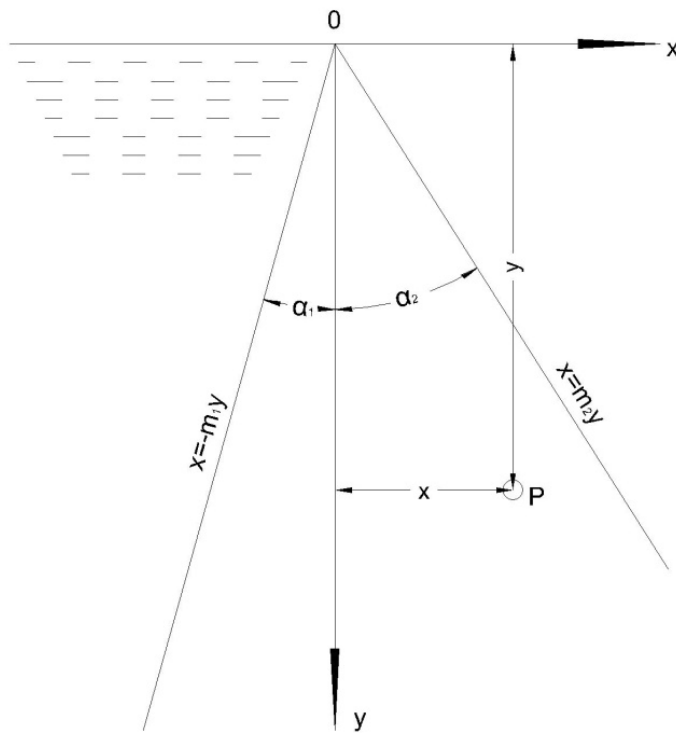
1. მას არ შეუძლია ნაგებობის დაძაბულ-დეფორმირებულ მდგომარეობაზე ფუძის გავლენის მხედველობაში მიღება. ეს გავლენა კი მნიშვნელოვანია ფუძიდან დაახლოებით  $1/3$  –  $1/4$  სიმაღლეზ;



ნახ. 1.1: არათანაბარი კუმშვის მეთოდით გრაფიტაციული კაშხლის საანგარიშო სქემა.

2. მას არ შეუძლია ძაბვების განსაზღვრა კაშხლის ტანზი.  
იგულისხმება, რომ ძაბვები მასში ნაწილდება სწორი ხაზის კანონით.

ელემენტარული მეთოდის პარალელურად დამუშავდა ე.წ. დრეკადობის თეორიის მეთოდი, რომელიც ამოცანას განიხილავს ბრტყელი დეფორმაციის ფარგლებში [1]. ნაგებობაზე მოქმედებს საკუთარი წონა და პიდროსტატიკური დაწნევა. განიხილება უსასრულო სიგრძის სამკუთხა პროფილე (ნახ. 1.2). ძაბვები გამოისახება როგორც კოორდინატების წრფივი ფუნქციები შემდეგი სახით:



ნახ. 1.2: დრეკადობის თეორიის მეთოდით გრავიტაციული კაშხლის საანგარიშო ხედი.

$$\begin{aligned}\sigma_x &= a_1x + b_1y \\ \sigma_y &= a_2x + b_2y \\ \tau &= a_3x + b_3y\end{aligned}\tag{1.2}$$

$a$  და  $b$  კოეფიციენტები განისაზღვრებიან სასაზღვრო პირობებიდან კაშხლის წახნაგებზე (წონასწორობის პირობები). ისინი არიან ფუნქციები ბეტონისა და წყლის მოცულობითი წონების, აგრეთვე სადაწნეო და უდაწნეო წახნაგების დახრების  $\gamma, \gamma_1, m_1$  და  $m_2$ :

$$(\sigma_x, \sigma_y, \tau) = f(\gamma, \gamma_1, m_1, m_2)\tag{1.3}$$

ძაბვის კომპონენტების განსაზღვრის შემდეგ გაიანგარიშება მთავარი ძაბვები და მათი მიმართულებები განსახილველი კვეთის ნებისმიერ წერტილში.

## 1.2. საკონტრაქტო ამოცანები - კოჭური მეთოდი და ნახევრად ანალიზური მეთოდი

კლასიკური ანალიზური მეთოდები ვერ ითვალისწინებენ ფუძის გავლენას კაშხლის დაძაბულ-დეფორმირებულ მდგომარეობაზე. კოჭური მეთოდი, რომელიც მიეცუთვნება ე.წ. საკონტრაქტო ამოცანების კლასს, გარკვეულწილად ასწორებს ამ ხარვეზს და იძლევა შესაძლებლობას განისაზღვროს გადაადგილებები, დეფორმაციები და ძაბვები კაშხლისა და კლდოვანი ფუძის საკონტრაქტო ზედაპირზე [2].

კოჭური მეთოდის მიხედვით პირველ ეტაპზე გაიანგარიშება ფუძეში ხისტად ჩამაგრებული სამკუთხა პროფილის მქონე კაშხალი. იხსნება კაშხლის გაღუნული დერძის დიფერენციალური განტოლება

$$\frac{E_c * I(y)}{1 - \nu_c^2} * \frac{d^2 u}{dy^2} = -M(y),\tag{1.4}$$

სადაც  $E_c$  და  $\nu_c$  შესაბამისად, კაშხლის მასალის (ბეტონი) დრეკადობის მოდული და პუასონის კოეფიციენტია;  $I(y)$  - კაშხლის განსახილები ჰორიზონტალური კვეთის ინერციის მომენტი, მისი სიმძიმის ცენტრზე გამავალი დერძის მიმართ;  $M(y)$  - მღუნავი მომენტი კაშხლის საკუთარი წონისა და ჰიდროსტატიკური წნევისაგან კვეთის სიმძიმის ცენტრის მიმართ;  $u$  - კაშხლის კვეთების სიმძიმის ცენტრების ჰორიზონტალური გადაადგილებები.

ზემოდ მოყვანილი დიფერენციალური განტოლებიდან განისაზღვრება  $\frac{d^2u}{dy^2}$

შემდეგ ძაბვათა წრფივი განაწილების კანონიდან გამომდინარე განისაზღვრება ძაბვის კომპონენტები. ვიცით რა ძაბვათა კომპონენტების მნიშვნელობანი, ფარდობითი დეფორმაციებისათვის პუკის განზოგადოებული კანონის და კოშის განტოლებების გამოყენებით ვპოულობთ კაშხლის დერძის წერტილების გადაადგილებათა კომპონენტებს  $U_d$  და  $V_d$ .

ანგარიშების მეორე ეტაპზე საკონტაქტო ზედაპირზე სამიებელი  $\sigma_y$  და  $\tau$  რეაქტიული ძაბვები განისაზღვრება წონასწორობისა და აგრეთვე იმ პირობებიდან, რომლებიც გამოისახებიან იგივეობებით:

$$\begin{aligned} U_d &\equiv U_f \\ V_d &\equiv V_f \end{aligned} \tag{1.5}$$

სადაც  $U_f$  და  $V_f$  შესაბამისად, ფუძის ზედაპირის წერტილების ჰორიზონტალური და ვერტიკალური გადაადგილებებია, რომლებიც ჩაიწერება [3]-ში მოყვანილი კლასიკური ნახევარსიბრტყის ამოცანის ფორმით და ჩებისევის პოლინომების გამოყენებით [2]. გამოსახულებიდან (1.5) და წონასწორობის პირობებიდან განისაზღვრებიან უცნობი კოეფიციენტები.

გვეცოდინება რა კოეფიციენტთა მნიშვნელობები,  $\sigma_y$  და  $\tau$   
კონტაქტური ძაბვები განისაზღვრება შემდეგი ფორმულებით:

$$\sigma_y = \frac{1}{\sqrt{1-x_1^2}} [A_0 + A_1 x_1 + A_2 (2x_1^2 - 1)] \quad (1.6)$$

$$\tau = \frac{1}{\sqrt{1-x_1^2}} [B_0 + B_1 x_1 + B_2 (2x_1^2 - 1)] \quad (1.7)$$

სადაც  $A_0, A_1, A_2, B_0, B_1$  და  $B_2$  გამოსახულებიდან (1.5) და წონასწორობის პირობებიდან განსაზღვრული კოეფიციენტებია.

საკონტაქტო ამოცანების კლასს შეიძლება მივაკუთვნოთ ე.წ.  
ნახევრადანალიზური მეთოდიც [4]. ამ მეთოდის არსი იმაში მდგომარეობს, რომ საანგარიშო სქემიდან “კაშხალი-ფუძე” ვარდება ფუძე და მისი გავლენა კაშხლის დაძაბულ-დეფორმირებულ მდგომარეობაზე იცვლება გარკვეული კანონით განაწილებული ძაბვებით, რომლებიც კაშხლის ძირში მიიღება როგორც სასაზღვრო პირობები და კაშხალი იანგარიშება სასრული ელემენტების მეთოდით. ამოცანა ორ ეტაპად იხსნება. პირველ ეტაპზე კოჭური მეთოდით იანგარიშება ნორმალური ძაბვები საკონტაქტო ზედაპირზე, ხოლო მეორე ეტაპზე იანგარიშება უშუალოდ კაშხალი სასრული ელემენტების მეთოდით.

### 1.3. სასრული ელემენტების მეთოდით გრავიტაციული კაშხლების სიმტკიცეზე ანგარიში პორიზონტალური შრეებით თანდათანობითი აგების გათვალისწინებით

სასრული ელემენტების მეთოდის ერთ-ერთი უმნიშვნელოვანისი უპირატესობა გამოიხატება იმაში, რომ იტერაციული ციკლების

საშუალებით შესაძლებელია მასალების მექანიკური მახასიათებლების ცვლილებების გათვალისწინება დაძაბულ-დეფორმირებული მდგომარეობის მიხედვით. ფაქტიურად, ამ შემთხვევაში, საანგარიშო სისტემა განიხილება როგორც არაწრფივი დრეკადი არე. სემ-ის ამ უპირატესობაზე დაყრდნობით შესაძლებელია კაშხალი გაანგარიშებული იქნას მისი თანდათანობით, პორიზონტალურ შრეებად აგების, ანუ მშენებლობის გრაფიკის და პროცესის მხედველობაში მიღებით [5]. ანგარიშებისადმი ასეთი მიდგომა საშუალებას იძლევა გათვალისწინებული იქნას აგების რეალური პროცესი და მისი გავლენა დასრულებული კაშხლის ჩამოყალიბებულ დაძაბულ-დეფორმირებულ მდგომარეობაზე. გარდა ამისა, ეს მიდგომა განსაკუთრებით მნიშვნელოვანია დატკეპნილბეტონიანი კაშხლების გაანგარიშებისას, რადგან ის სრულად შეესაბამება ამ ტიპის კაშხლების ფენობრივდ დატკეპნის სქემას.

ამ მეთოდის რეალიზებისთვის აუცილებელია ბეტონის კუმშვის  $\sigma - \varepsilon$  დიაგრამის არსებობა და მისი წარმოდგენა წრფივად ტეხილი მრუდის სახით თითოეული ტეხილისათვის (მონაკვეთისთვის) დრეგადობის მოდულის  $E_i$  ( $i = 1, 2, 3, \dots, k$ ) მუდმივი მნიშვნელობის მინიჭებით (ნახ. 1.3).

ზემოდებულიდან გამომდინარე  $E_i$ -ის ცვლილება შეიძლება წარმოდგენილი იქნა შემდეგი ხარისხობრივი დამოკიდებულებით:

$$E_i = E_{in} \left( \frac{\sigma_0}{\sigma_i} \right)^{n_i} \quad (1.8)$$

სადაც:

$E_{in}$  - საწყისი დრეკადობის მოდული

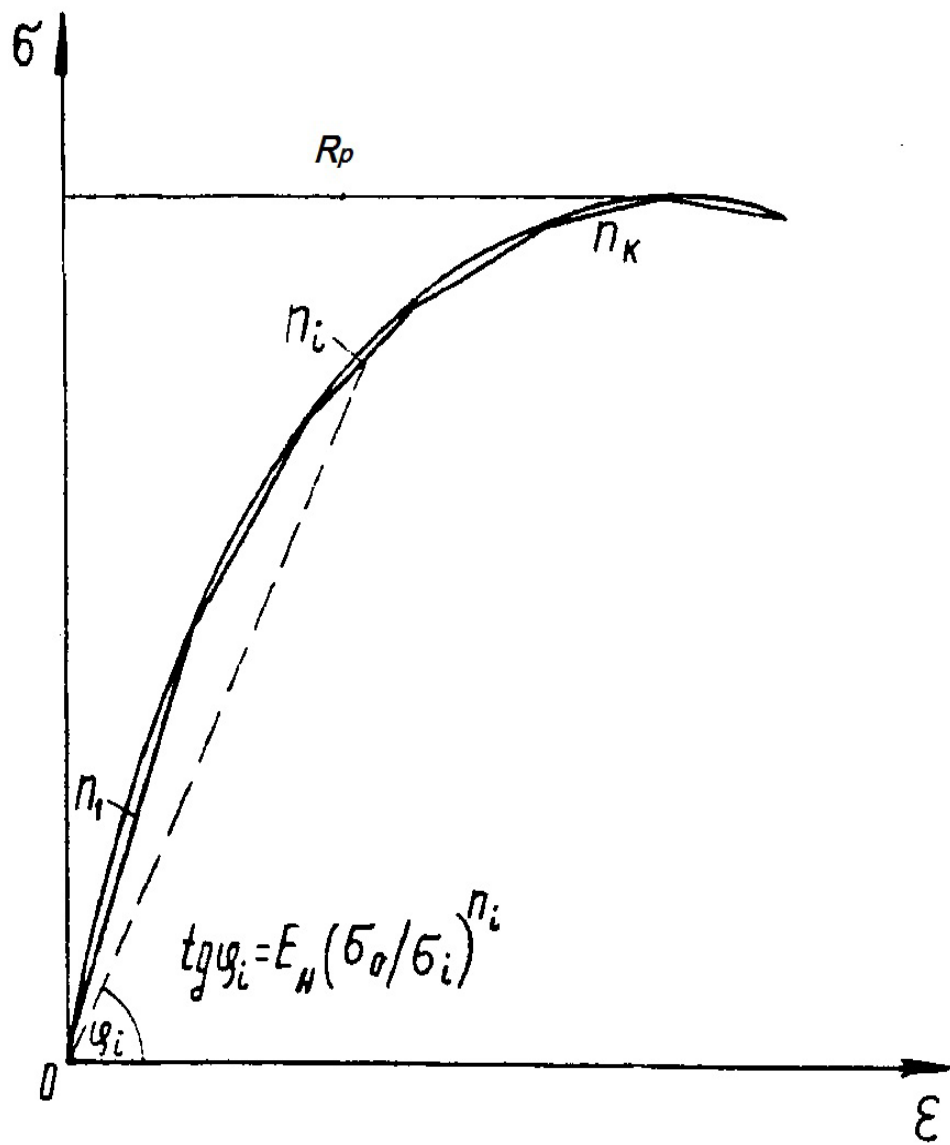
$\sigma_0 = 1$  მპა - ფორმალური სიდიდე

$\sigma_i$  - მაქსიმალური მკუმშავი მთავარი ძაბვა, რომელიც შეესაბამება  $i$ -ური

მონაკვეთის ცენტრს

$n_i$  -  $i$ -ური მონაკვეთის სიმრუდის მახასიათებელი ( $0 < n_i < 1$ ).

წრფივად ტეხილი დიაგრამის ინტერპოლირება  $S(x)$  სპლაინ-ფუნქციის საშუალებით [6] ძალიან მოხახერებებით სასრულელემენტიან სქემაში იტერაციული ანგარიშებისას [7].



ნახ.1.3: ბეტონის კუმულის პირობითი დიაგრამის წარმოდგენა წრფივად ტეხილი მრუდის სახით.

გრავიტაციული კაშხლების დაძაბულ-დეფორმირებული მდგომარეობის ანგარიშის მეთოდიკა პირდაპირ არის დაკავშირებული ამოცანის ფიზიკურად არაწრფივ ფორმულირებასთან, რაც გულისხმობს მიღებული შედეგების სუპერპოზიციას (პირდაპირ დაჯამებას).

ანგარიშების საანგარიშო სქემა მოცემულია ნახ. 1.4-ზე, ხოლო მათი თანმიმდევრობა კი ასეთია. ბეტონის პირველი ფენის დადებამდე, კლდოვან ფუძეში უკვე ჩამოყალიბებულია ისტორიული დაძაბულ-დეფორმირებული მდგომარეობა (ნახ. 1.4a). ეს მდგომარეობა შეიძლება გამოისახოს  $\{\sigma_0\}$  მატრიცა-ვექტორის საშუალებით. პირველი ფენის დადების შემდეგ (ნახ. 1.4b), ფუძეში ჩამოყალიბდება  $\{\Delta\sigma_1\}$  ძაბვები. მეორე ფენის პირველზე დადების შემდეგ, ანალოგიურად მოხდება ძაბვების გადანაწილება, როგორც ეს მოხდა პირველი ფენის დადების შემდეგ და ა.შ. ბოლო ფენის დადების შემდეგ ჩამოყალიბდება სისტემა “კაშხალი – ფუძის” საბოლოო დაძაბულ-დეფორმირებული მდგომარეობა. სწორედ კუბური სპლაინ-ფუნქციით ინტერპოლირებული ბეტონის გუმშვის დიაგრამ ზუსტად მიესადაგება ზემოდ აღწერილ საანგარიშო სქემას. მისი საშუალებით ანგარიშების ყველა ეტაპზე ზუსტდება სიხისტის განზოგადოებული მატრიცა, რომელიც სასრული ელემენტების მეთოდის განმსაზღვრელი წევრია.

რასაკვირველია ყოველი ახალი ფენის დადების შემდეგ საანგარიშო სქემის კვანძების კოორდინატები იცვლება შემდეგი კანონზომიერებით:

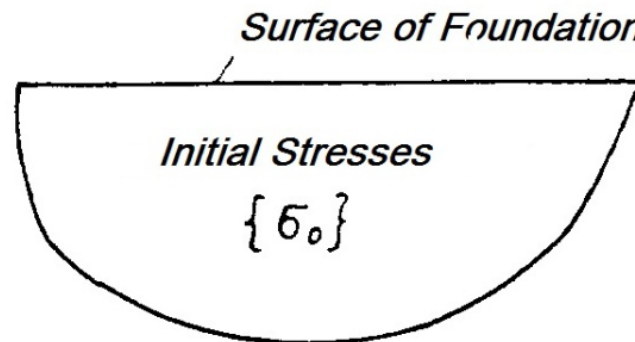
$$\begin{aligned} x_i &= x_{i-1} + \Delta x_{i-1} \\ y_i &= y_{i-1} + \Delta y_{i-1} \end{aligned} \tag{1.9}$$

სადაც  $x_i, y_i$  - კვანძების კოორდინატები კაშხლის აგების  $i$ -ურ ეტაპზ;

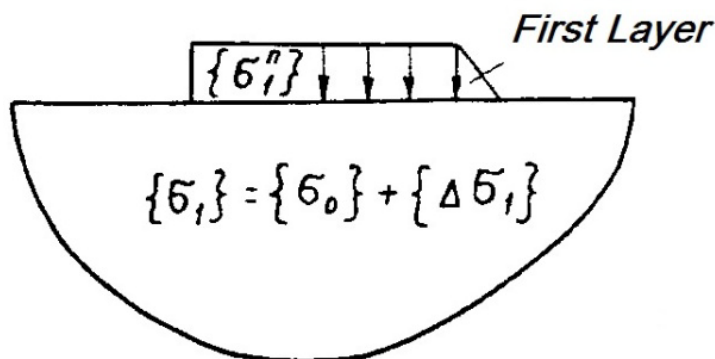
$$\begin{aligned} \Delta x_{i-1} &= u_{i-1} \\ \Delta y_{i-1} &= v_{i-1} \end{aligned} \tag{1.10}$$



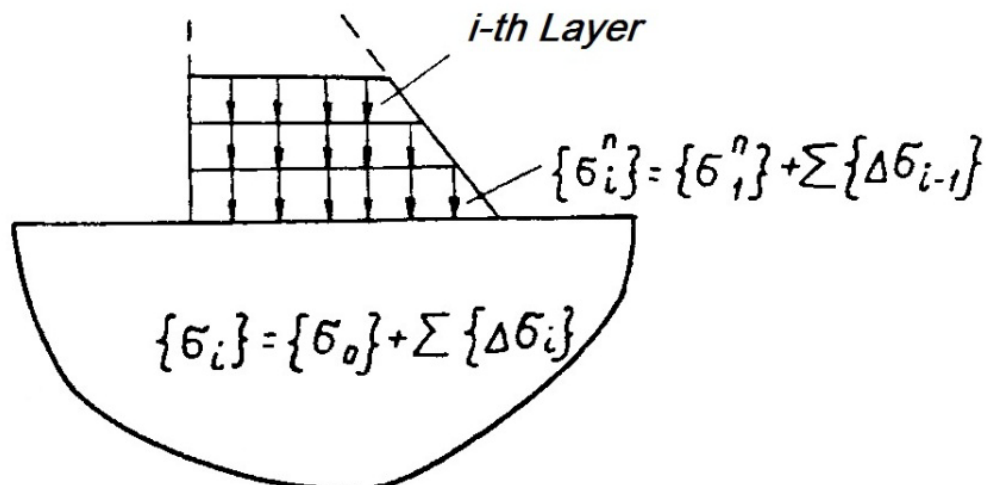
a)



b)



c)



ნახ. 1.4: გრავიტაციული კაშხლის საანგარიშო სქემა ფენობრივად აგების მხედველობაში  
მიღებით.

სადაც  $|u_{i-1}, v_{i-1}|$  არის კვანძების გადაადგილებები სასრული ელემენტების განტოლების ამოხსნის შედეგად მშენებლობის (i-1) ეტაპზე. ანგარიშების საწყის ეტაპზე

$$\Delta x_{i-1} = \Delta y_{i-1} = 0$$

ზემოდმოყვანილი სქემის მიხედვით მიღებული შედეგები შეიძლება გაანალიზდეს პირველი ჯგუფის ზღვრული მდგომარეობის მეთოდით.

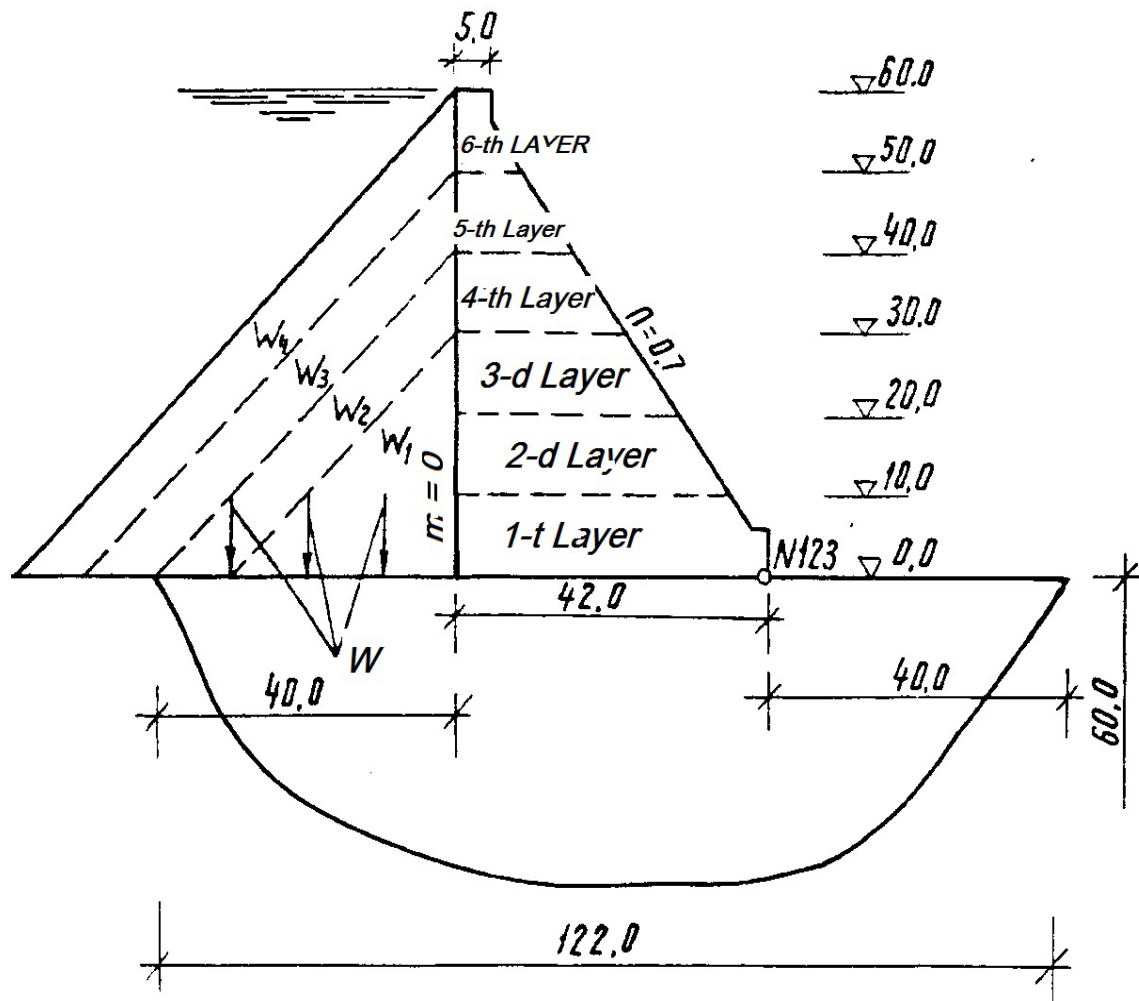
ქვემოთ მოყვანილია სისტემა “პირობითი გრავიტაციული კაშხალი – ერთგვაროვანი კლდოვანი ფუძის” აღნიშნული მიღგომით გაანგარიშების შედეგები.

სანგარიშო სქემა დაყოფილი არის 411 სამკუთხოვან ელემენტად, რომლებიც შეერთებულია 243 კვანძში. საანგარიშო სქემა მოცემულია ნახ. 1.5 – ზე.

სისტემის მექანიკური მახასიათებლები შემდეგია: ფუძის დრეკადობის მოდული  $E_f = 8250$  მპა, პუასონის კოეფიციენტი  $\nu_f = 0.18$ . ბეტონის საწყისი დრეკადობის მოდული  $E_{in.c} = 25000$  მპა, პუასონის კოეფიციენტი  $\nu_c = 0.17$ .

ჩაითვალა, რომ კაშხალი შენდება ექვს ფენად. განხილული იქნა ძალოვანი ფაქტორების ზემოქმედების სამი შემთხვევა:

1. კაშხალზე მოქმედებს ფენების დადების შედეგად თანდათანობით ზრდადი საკუთარი წონა;
2. კაშხალზე მოქმედებს ფენების დადების შედეგად თანდათანობით ზრდადი საკუთარი წონა ჰიდროსტატიკური დაწნევა სადაწნეო წახნაგზე კაშხლის სიმაღლის ნახევრიდან;
3. კაშხალზე მოქმედებს ფენების დადების შედეგად თანდათანობით ზრდადი საკუთარი წონა, ჰიდროსტატიკური დაწნევა სადაწნეო წახნაგზე კაშხლის სიმაღლის ნახევრიდან და ვერტიკალური ჰიდროსტატიკური დაწნევა წყალსაცავის ფუძეზე.



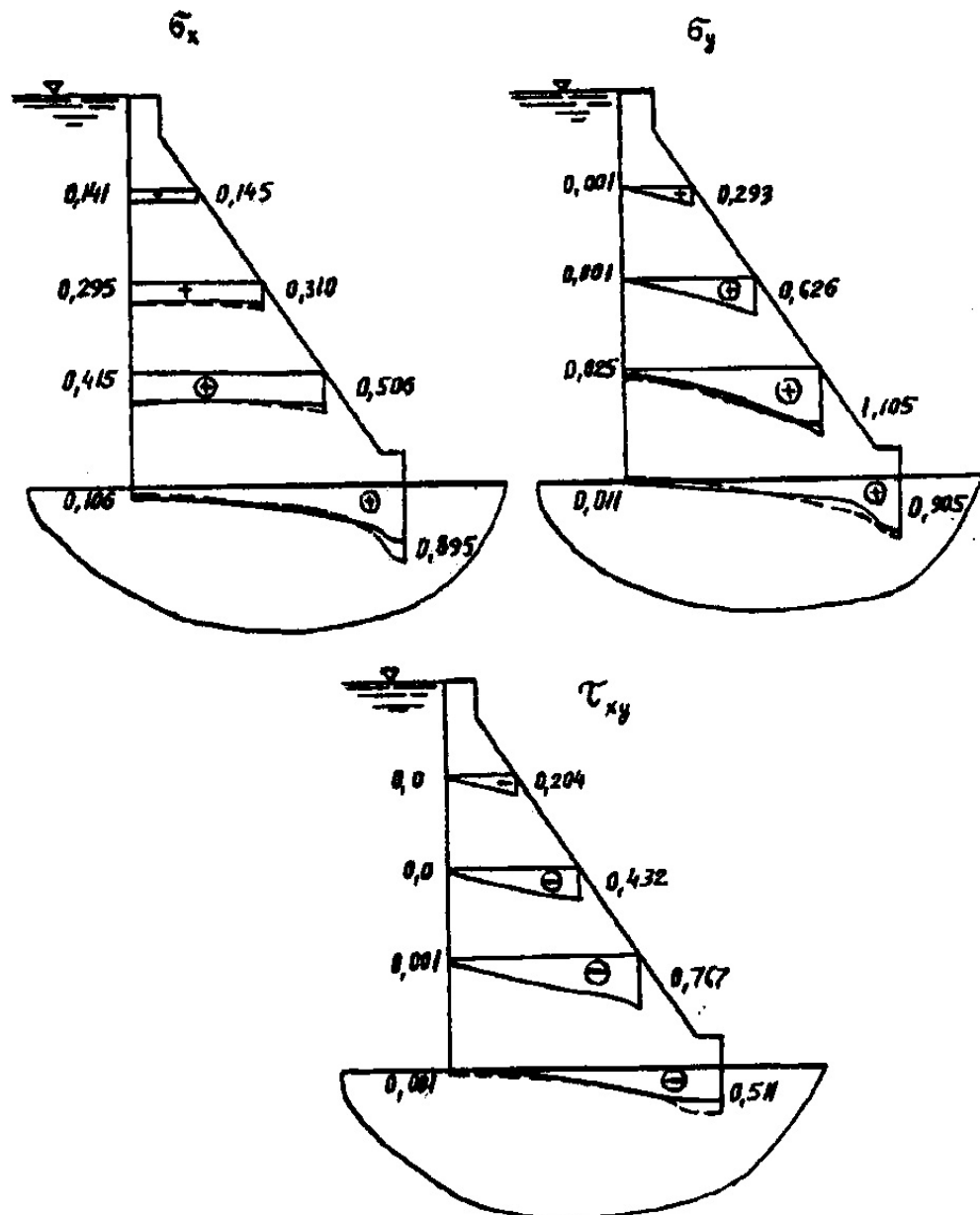
ნახ. 1.5: სისტემა “პირობითი გრავიტაციული კაშხალი – ერთგვაროვანი კლდოვანი ფუძის” სანგარიშო სქემა ფენობრივი აგების მხედველობაში მიღებით.

ნახ. 1.6 – ზე მოცემულია მოცემულია  $\sigma_x, \sigma_y$  და  $\tau$  ძაბვების განაწილების ეპიურები დასრულებული მშენებლობის შემთხვევაში, როდესაც კაშხალზე მოქმედებს მხოლოდ საკუთარი წონა და პიდროსტატიკური დაწნევა სადაწნეო წახნაგზე.

ნახ. 1.7. – ზე მოცემულია  $\sigma_y$  ძაბვების განაწილების ეპიურები პორიზონტალურ კვეთებში მესამე სანგარიშო შემთხვევის დროს



0 1 2 3 MPa



ნახ. 1.6: ძაბვების განაწილების ეპიზოდი პორიზონტალურ კვეთებში.



- აგების თანმიმდევრობის გაუთვალისწინებლად;
- აგების თანმიმდევრობის გათვალისწინებით.

დამატებით მოქმედებს ვერტიკალური პიდროსტატიკური წევა  
წყალსაცავის ფუძეზე.

როგორც შედეგების ანალიზმა გვიჩვენა, წყალსაცავის ფუძეზე  
ვერტიკალური პიდროსტატიკური დაწნევა გარკვეულწილად ამსუბუქებს  
სადაწნეო წახნაგის მუშაობის პირობებს და პრაქტიკულად გამორიცხავს  
გამჭიმავი ძაბვების წარმოშობას, მაშინ როდესაც უდაწნეო წახნაგზე  
იკვეთება მკუმშავი ძაბვების შემცირების ტენდენცია.

ცნობილია, რომ კაშხლის სიმტკიცის შესაფასებლად გამოიყენება ე.წ.  
უსაფრთხოების განზოგადოებული კოეფიციენტი  $K_g^r$ . ის წარმოადგენს  
რღვევისწინა ძალოვანი ფაქტორის (მაგალითად, მთავარი ძაბვა)  $N_f$   
ფარდობას დასაშვებ ძალოვან ფაქტორთან  $[N]$ .

$$K_g^r = \frac{N_{m.f.}}{[N]} \quad (1.11)$$

ეს გამოსახულება სრულად ვერ აღწერს კაშხლის საიმედობას. უფრო  
მიზანშეწონილია შემდეგი ფორმულის გამოყენება:

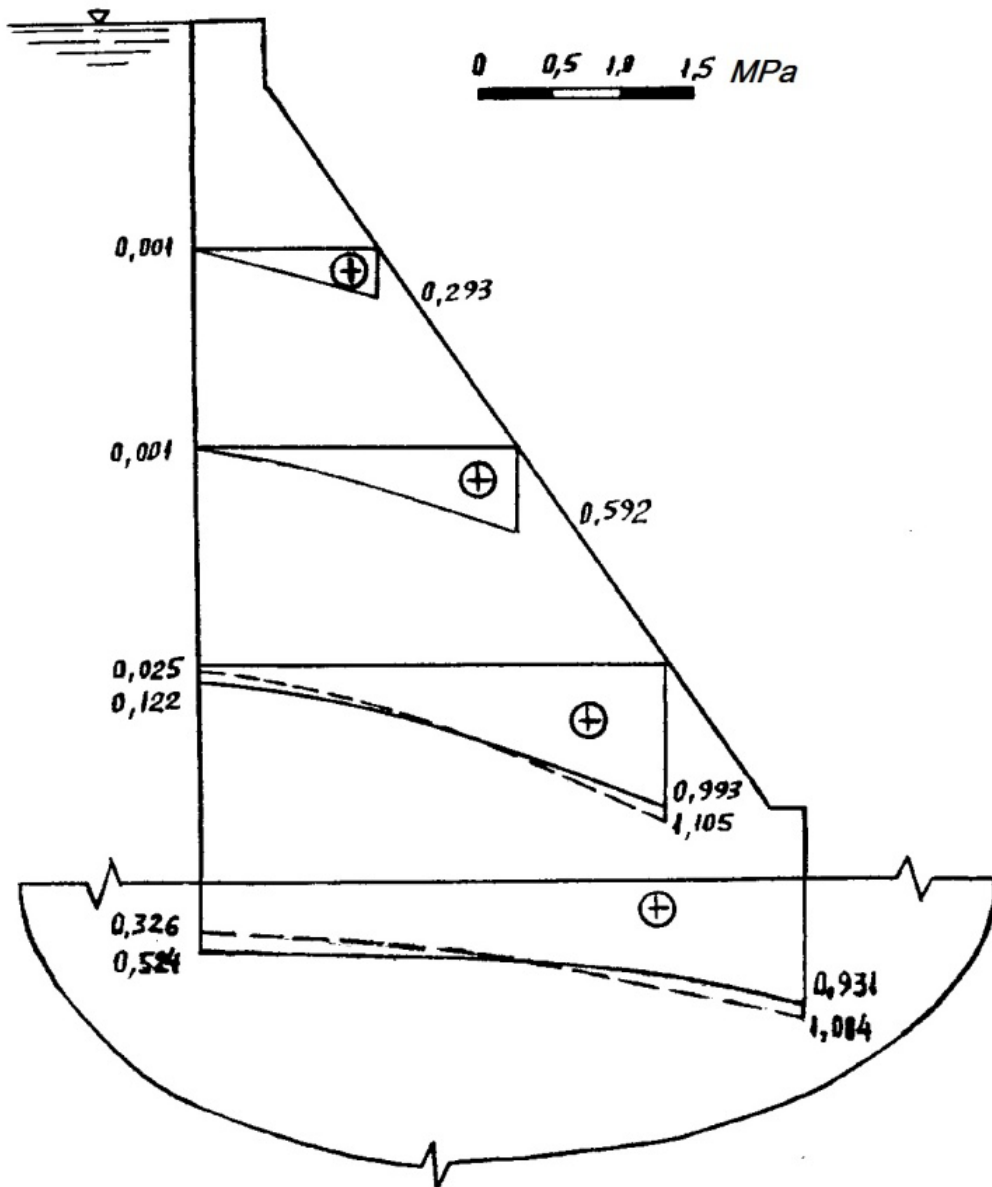
$$\sigma_{1av}^p = \frac{\Sigma \sigma_1^p}{n_1} \quad (1.12)$$

სადაც:

$\Sigma \sigma_1^p$  - საანგარიშო სქემაში შემავალი კაშხლის ყველა საკვანძო წერტილში  
მთავარი მკუმშავი ძაბვების ჯამი;

$n_1$  - იმ კვანძების რაოდენობა, სადაც მხოლოდ მკუმშავი  $\sigma_1^p$  ძაბვებია  
დაფიქსირებული.

კაშხლის საპროექტო ვარიანტის ანგარიშის შემდეგ იანგარიშება მისი  
უფრო ეკონომიკური (შევიწროებული) პროფილები მანმადე, სანამ  $\sigma_1$  არ  
გაუტოლდება  $R_p$  - ს. ამ შემთხვევაში იანგარიშება მთავარი მკუმშავი  
ძაბვების საშუალო მნიშვნელობა:



*ნახ. 17:  $\sigma_y$  ძაბვების განაწილების გაიურები პორიზონტალურ ძვეთებში.*

- წყალსაცაის ფსკერზე ვერტიკალური პიდროსტატიკური დაწნევის გათვალისწინებით;
- ამ დაწნევის გაუთვალისწინებლად.



$$\sigma_{1av} = \frac{\Sigma \sigma_1}{n_2} \quad (1.13)$$

სადაც  $\Sigma \sigma_1$  - კაშხლის გკონომიკურ პროფილში მთავარი მკუმშავი ძაბვების ჯამი;

$n_2$  - იმ კვანძების რაოდენობა, რომლებშიც ფიქსირდება  $\sigma_1$  მკუმშავი ძაბვები.

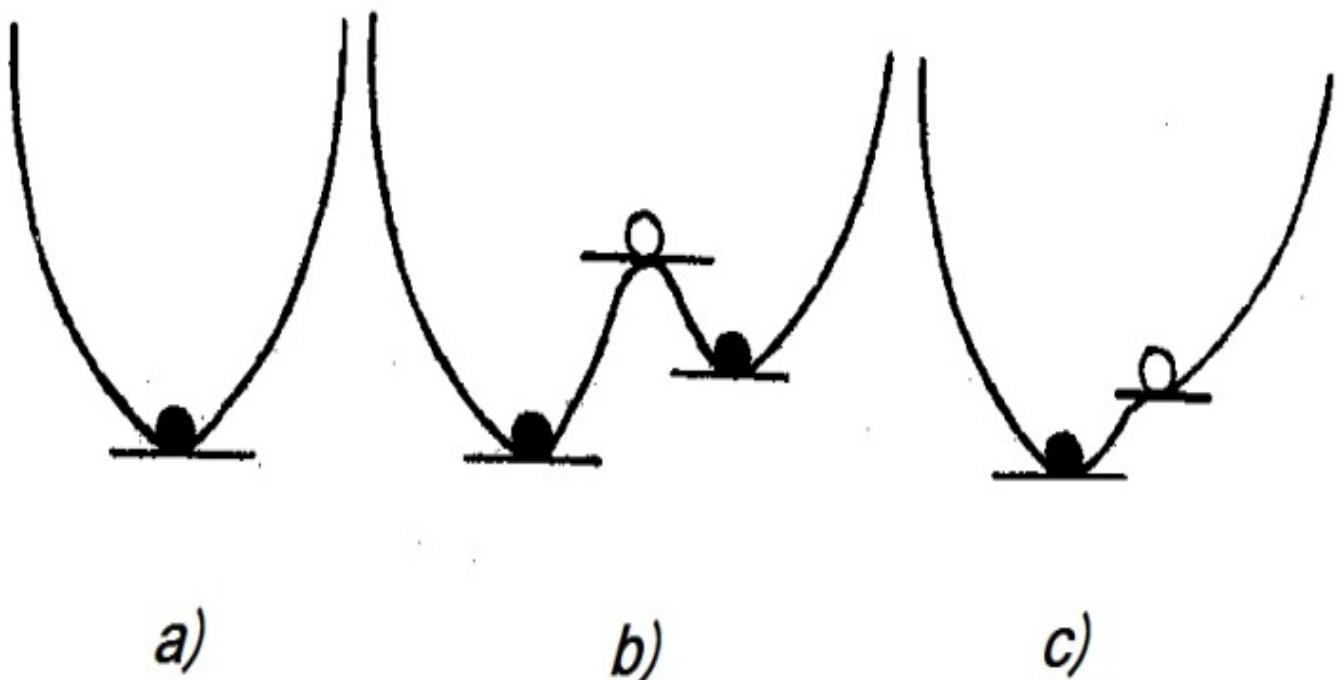
გვაძვს რა  $\sigma_{1av}$  და  $\sigma_1^p$  მნიშვნელობები, უსაფრთხოების კოეფიციენტი შეიძლება განგარიშდეს შემდეგი გამოსახულებიდან:

$$K_l = \frac{\sigma_{1av}}{\sigma_1^p} \quad (1.14)$$

#### 1.4. გრავიტაციული კაშხლების მდგრადობის და სიმტკიცის ანალიზი კატასტროფების თეორიის პოზიციებიდან

ტრადიციული, დეტერმინისტული მიდგომის თანახმად, იმისათვის, რომ ნაგებობებში დავინახოთ მიმდინარე პროცესები, საჭიროა პირველი ან მეორე რიგის დიფერენციალური განტოლებების სისტემების ამოხსნა. მიუხედავად ამისა, დაძაბულ-დეფორმირებული მდგომარეობის ცვლილებების დინამიკური პროცესები ხშირად ნახტომისებურად ვთარდება. ნახტომები კი ხდება ერთი თვისობრივი მდგომარეობიდან მეორეში გადასვლის დროს. მაგალითად, კაშხლის მდგრადი მდგომარეობიდან მდგრადობის დაკარგვა, სტაბილური დაძაბული მდგომარეობიდან რღვევის ფაზაში გადასვლა და ა.შ. თვისობრივი მდგომარეობის ამ უეცარ ცვლილებებს კარგად აღწერს მათემატიკური მოდელირების ერთ-ერთი საინტერესო ფორმა – კატასტროფების თეორია. მისი არსი შეიძლება მოკლედ შემდეგნაირად ავხსნათ ნახ. 1.8-ის მიხედვით. ამ ნახაზიდან ჩანს, რომ სისტემის სტაბილური წონასწორობა შეესაბამევა რადაც  $V(x)$  ფუნქციის მინიმუმებს, ხოლო არასტაბილური წონასწორობა -

$V(x)$  ფუნქციის მაქსიმუმებს. სწორედ ამ უკანასკნელი დარღვევის შემთხვევაში ხდება ე.წ. “კატასტროფა”, ანუ ერთი თვისობრივი მდგომარეობიდან მეორეში გადასვლა.



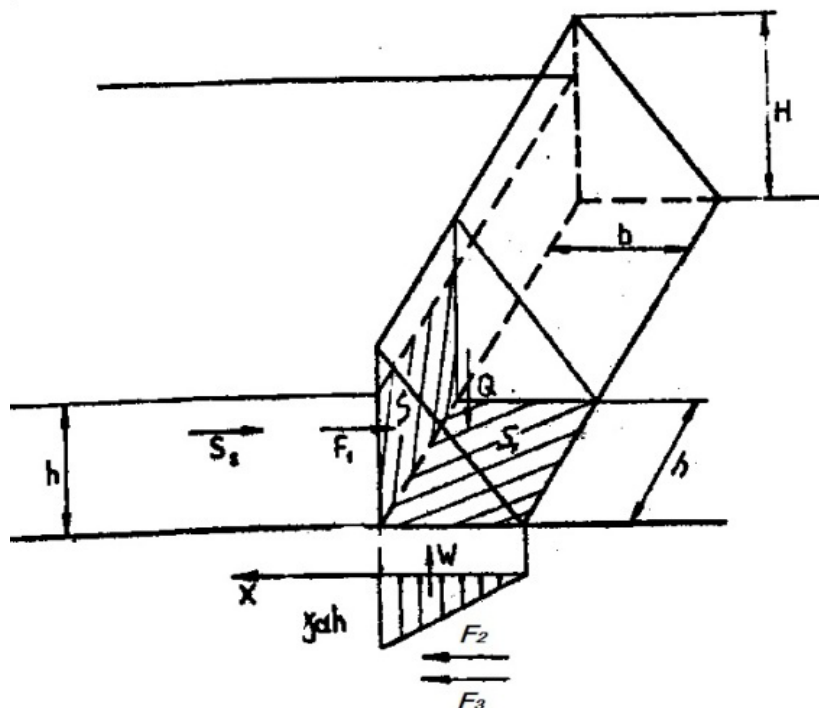
ნახ. 1.8: სისტემის სტაბილური წონასწორობის სქემა.

გრავიტაციული კაშხლების მდგრადობის ანალიზი კატასტროფების თეორიაზე დაყრდნობით, მოცემულია [8]-ში.

განვიხილოთ გრავიტაციული კაშხლის მდგრადობა ჰიდროსტატიკური დაწნევისა და სეისმური ზემოქმედების შემთხვევაში. დავუშვათ ორი შესაძლო ვერსია აღნიშნული პრობლების ამოსახსნელად.

პირველ ვერსიაში დავუშვათ, რომ უნდა შევარჩიოთ კაშხლის ორი პარამეტრიც: სიგანე ფუძეში (b) და სიმაღლე ( $H$ ), რომლებმაც უნდა უზრუნველყონ კაშხლის მდგრადობა ავსებული წყალსაცავის შემთხვევაში სეისმური ზემოქმედების დროს. ამ შემთხვევაში

მდგრადობის დაკარგვად უნდა ჩავთვალოთ წყალსაცავში წყლის  $h$  სიღრმის ნახტომისებრი ცვლილება. დავუშვათ  $h$  არის ფუძის სიგანის ნაწილი (ნახ. 1.9)



ნახ. 1.9: კაშხლის რღვევის სქემა ნახტომისებრი სქემა წყლის  $h$  სიღრმის ნახტომისებრი ცვლილებისას.

პიდროსტატიკური წნევის ინტენსივობა არის

$$P(h) = \gamma h, \quad (1.15)$$

სადაც  $\gamma$  არის წყლის მოცულობითი წონა.

პიდროსტატიკური დაწნევა სადაწნეო წახნაგის გარკვეულ  $S$  ფართზე არის:

$$F_1 = \frac{2}{3} \gamma h^3 S \quad (1.16)$$

შეჭიდულობის ძალა არის:

$$F_2 = cS_p = cbh \quad (1.17)$$

ხახუნის ძალა:

$$F_3 = f(Q - W) \quad (1.18)$$

სადაც  $Q$  არის კაშხლის წონა

$$Q = \gamma_1 V = 0.5\gamma_1 bHh \quad (1.19)$$

$\gamma_1$  არის ბეტონის ხელის წონა,  $W$  - ფილტრაციული დაწევა კაშხლის ფუძეზე

$$W = 0.5\gamma\alpha bh^2 \quad (1.20)$$

$V$  არის კაშხლის ნაწილის მოცულობა ( $h$  სიგანის ფარგლებში);  $\alpha$  - ფილტრაციული წევის შემამცირებელი კოეფიციენტი. აქედან გამომდინარე, ხახუნის ძალა ტოლი იქნება:

$$F_3 = f(0.5\gamma_1 bHh - 0.5\gamma\alpha bh^2) \quad (1.21)$$

პირველი მიახლოებით, სეისმომედეგობის სტატიკური თეორიის მიხედვით, სეისმური ძალის სიდიდე გამოისახება შემდეგნაირად:

$$S_s = K_s Q \quad (1.22)$$

სადაც  $K_s$  არის სეისმურობის კოეფიციენტი.

სისტემის პოტენციალური ენერგიის კრიტიკული წერტილების ზედაპირის განტოლება ჩაიწერება შემდეგნაირად:

$$F_1 - (F_2 + F_3) + S_s = 0 \quad (1.23)$$

ან შემდეგნაირად:



$$h^3 + \frac{3}{4} f\alpha b h^2 - \frac{3}{4} \frac{2c + f\gamma_1 H}{\gamma} b h + \frac{3}{2} \frac{k_s Q}{\gamma} = 0 \quad (1.24)$$

დავუშვათ, რომ

$$P_1 = \frac{3}{4} f\alpha b; \quad P_2 = -\frac{3}{4} \frac{2c + f\gamma_1 H}{\gamma} b \quad \text{და} \quad P_3 = \frac{3}{4} \frac{k_s Q}{\gamma}$$

მაშინ განტოლება (1.24) მიიღებს შემდეგ ფორმას:

$$h^3 + P_1 h^2 + P_2 h + P_3 = 0 \quad (1.25)$$

ეს განტოლება არ არის მდგრადი  $P_1 h^2$  წევრის გამო.

გამოვიყენოთ ახალი კოორდინატთა სისტემა და დავუშვათ, რომ

$$h = y - \frac{P_1}{3}. \quad \text{მაშინ განტოლება (1.25)-ს ექნება შემდეგი სახე:}$$

$$y^3 + (P_2 - \frac{1}{3} P_1^2) y + (P_3 - \frac{P_1 P_2}{3} + \frac{2}{27} P_1^3) = 0 \quad (1.26)$$

ჩავსვათ

$$c_1 = P_2 - \frac{1}{3} P_1^2 \quad \text{და} \quad c_2 = (P_3 - \frac{P_1 P_2}{3} + \frac{2}{27} P_1^3),$$

მაშინ განტოლება (1.26) მიიღებს შემდეგ ფორმას:

$$y^3 + c_1 y + c_2 = 0 \quad (1.27)$$

ეს განტოლება მდგრადია და ამიტომ კატასტროფების ჯგუფის განტოლება იქნება:

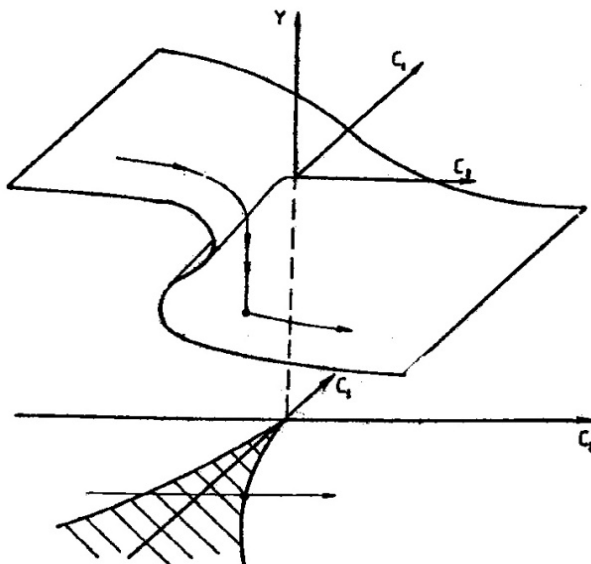
$$4c_1^3 + 27c_2^2 = 0 \quad (1.28)$$

რადგანაც  $c_2$  შეიცავს  $P_3$ -ს მუდმივ მნიშვნელობას, სეისმური დატვირთვების ცვალებადობა იწვევს მხოლოდ  $c_2$ -ის ცვალებადობას. თუ ეს ცვლილება ისეთია, რომ ფაზის ტრაექტორია კვეთს დაშტრიხულ ფართს (ნახ. 1.10) შიგნიდან გარეთ, მოხდება ნახტომი სისტემაში, რომელიც შეესაბამება  $c_2$ -ის ცვლილებას ზემოდან ქვედა (ნულოვან) დონეზე, ე.ი. მოხდება კაშხლის ძვრა ფუძეში.

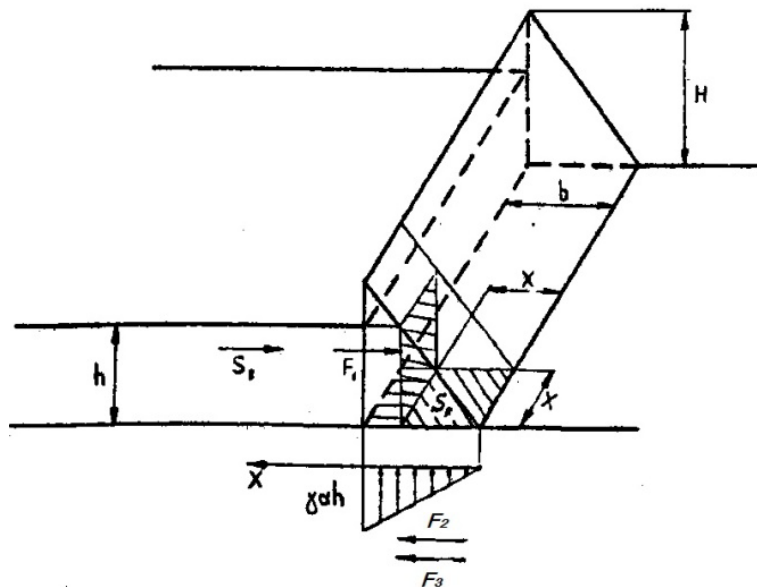
მეორე ვერსიაში დაშვებულია, რომ წყლის სიდრომე  $h$  არის კონტროლირებადი პარამეტრიც.  $H$  და  $b$  არის მუდმივი სიდიდეები. ამოცანის ამოხსნის მიზანია დავადგინოთ  $h$  -ის და სეისმური ძალის რა სიდიდეების დროს გაჩნდება ბზარი ფუძეში.

ვუშვებთ, რომ პირველი ბზარი გაჩენა შეესაბამება  $x$  სიდიდეების ნახტომს ზემოდან ქვედა (ნულოვან) დონეზე.

დაგუშვათ, რომ ბზარის სიგანე ტოლია ( $b-x$ ) -ის (ნახ. 1.11)



ნახ. 1.10: ნახტომის სექმა სისტემაში – ფაზის ტრაექტორია კვეთს დაშტრიხულ ფართს.



ნახ. 1.11: ძარის გამონის სექტა კაშხლის ფუძე.

დავუშვათ, რომ წყლის სიღრმე არის  $h$  და  $x*x$  - კაშხლის ფუძის ფართობის ნაწილი. პიდროსტატიკური დაწნევა სადაწნეო წახნაგზე გოლია:

$$F_1 = \frac{1}{2} \gamma h^2 x \quad (1.29)$$

შეჭიდულობის ძალა არის:

$$F_2 = cx^2 \quad (1.30)$$

ფილტრაციული დაწნევა გოლია:

$$W(x) = \int_0^x \frac{\gamma \alpha h}{b} x * 2x dx = \frac{2}{3} \frac{\gamma \alpha h}{b} x^3 \quad (1.31)$$

კაშხლის წონა  $h$  -ის ფარგლებში გოლია:

$$Q = \frac{1}{2} \gamma_1 h x^2 \quad (1.32)$$



ხახუნის ძალა ტოლია:

$$F_3 = f(Q - W) = \frac{1}{2} f \gamma_1 h x^2 - \frac{2}{3} \frac{\gamma \alpha h}{b} f x^3 \quad (1.33)$$

სეისმური ზალის სიდიდე განისაზღვრება (1.22) გამოსახულებიდან. აქედან გამომდინარე, პრიტიპული წერტილების პოტენციური ენერგიის ზედაპირის განტოლება აქვს შემდეგი ფორმა:

$$F_1 - (F_2 + F_3) + S_s = 0 \quad (1.34)$$

ას

$$x^3 - \frac{3(2c + f\gamma_1 h)b}{4\gamma\alpha hf} x^2 + \frac{3}{4} \frac{bh}{\alpha f} x + \frac{3}{2} \frac{bk_s Q}{\gamma\alpha hf} = 0 \quad (1.35)$$

დავუშვათ, რომ

$$P_1 = -\frac{3(2c + f\gamma_1 h)b}{4\gamma\alpha hf}; P_2 = \frac{3}{4} \frac{bh}{\alpha f} \quad \text{და} \quad P_3 = \frac{3}{2} \frac{bk_s Q}{\gamma\alpha hf} = 0$$

მაშინ (1.26) განტოლებას ექნება შემდეგი სახე:

$$x^3 + P_1 x^2 + P_2 x + P_3 = 0 \quad (1.36)$$

გადავწეროთ (1.36) გამოსახულება ახალ საკოორდინატო სისტემაში:

$$y^3 + (P_2 - \frac{1}{3} P_1^2) y + (P_3 + \frac{P_1 P_2}{3} + \frac{2}{27} P_1^3) = 0 \quad (1.37)$$

დავუშვათ, რომ

$$c_1 = P_2 - \frac{1}{3} P_1^2 \quad \text{და} \quad c_2 = P_3 + \frac{P_1 P_2}{3} + \frac{2}{27} P_1^3$$

მაშინ განტოლება (1.37) მიიღებს შემდეგ ფორმას:

$$y^3 + c_1 y + c_2 = 0 \quad (1.38)$$

ამ ზედაპირის პროექცია ან კატასტროფების კომპლექტის განტოლება იქნება:

$$4c_1^3 + 27c_2^2 = 0 \quad (1.39)$$

ამ შემთხვევაში შეგვიძლია განვსაზღროთ  $k_s Q$  და  $h$ -ის ის მნიშვნელობები, რომლის დროსაც კაშხალს მოუვა ავარია.

კატასტროფების თეორიის დამახასიათებელია ის, რომ არ არის საჭირო განტოლებების ამოხსნა. აუცილებელია მხოლოდ პარტამეტრების ცვლილებების დიაპაზონის დადგენა.



## 2. არსებული ბეტონის კაშხლების კომპლექსური რეტროსპექტული სტატიკური ანალიზის მეთოდიკა

არსებული და დიდი ხნის ექსპლუატაციაში მყოფი ბეტონის კაშხლების დაძაბულ-დეფორმირებული მდგომარეობის ზუსტი ანგარიშისას მხედველობაში უნდა იქნას მიღებული მისი ექსპლოატაციის ისტორია. ქვემოთ მოყვანილია ექსპლოატაციაში მყოფი ძველი გრავიტაციული კაშხალების კომპლექსური რეტროსპექტული ანგარიშის მეთოდიკა, რომელშიც არის მცდელობა მაქსიმალურად დაახლოვოს კაშხლისა და მისი მასალის მოდელები ექსპლოატაციის რეალურ პირობებთან. შემოთავაზებული მეთოდიკა შედგება შემდეგი ეტაპებისგან:

- ა) ბეტონის არაწრფივი დრეკადი რდვევის განმსაზღვრელი მოდელის შერჩევა ბრტყელი დეფორმაციის პირობებისათვის;
- ბ) საკონტაქტო ზონის განმსაზღვრელი მოდელის შერჩევა;
- გ) ცოცვადობის დეფორმაციების ანგარიში ბოლცმან-გოლტერას წრფივი შთამომავლობითი ცოცვადობის თეორიისა და მოდიფიცირებული არაწრფივი დრეკადი რდვევის მოდელის ბაზაზე;
- დ) კაშხალის ტანში ბზარის გაჩენისა და გავრცელების ანალიზი დისკრეტულბზარებიანი მოდელისა და ბეტონის რდვევის კრიტერიუმის გამოყენებით;
- ე) კაშხალის არსებული მდგომარეობის ანგარიში რეტროსპექტული ანალიზის შედეგად ნაგებობისა და მასალის მოდიფიცირებული მოდელის გათვალისწინებით (მაგ. ბზარის გაჩენა);

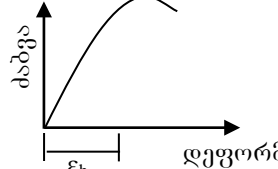
ამ მეთოდიკის ძირითადი პრინციპები აღწერილია [9]-ში. ქვემოთ მოყვანილია მეთოდიკის არსი. ამ მეთოდიკის პრინციპებს ეყრდნობა ჩვენს მიერ დამუშავებული საკითხები - სტატიკური ციკლური დატვირთვების

და ბეტონის ასაკის გავლენა კაშხლის სიმტკიცეზე, რომლებიც შემდეგ თავისუბის განხილული.

## 2.1. მეთოდიკის რეალიზების თანმიმდევრობა

მეთოდიკის რეალიზების თანმიმდევრობა მოცემულია ცხრილ 2.1 - ში

ცხრილი 2.1: მეთოდიკის რეალიზების თანმიმდევრობა.

დეფორმაციის სახეობა	რეტროსპექტული ანალიზი	არსებული მდგომარეობის ანალიზი
	წარსული მუშაობა არსებ. მდგომ. დეფორმ. ციკლ.რიცხ. 0 n n+1 0 t <sub>0</sub> -1 t <sub>0</sub> დრო წარსული არსებ. მომავალი პერიოდი	წარსული მუშაობა არსებ. მდგომ. დეფორმ. ციკლ.რიცხ. 0 n n+1 0 t <sub>0</sub> -1 t <sub>0</sub> დრო წარსული არსებ. მომავალი პერიოდი
	ანალიზის ეტაპი	ანალიზის ეტაპი
ბეტონის დრენაჟის დეფორმაციის პირობებში	<p><b>1. ეტაპი R-1<sup>(1)</sup></b></p> <p>საწყისი მონაც.: ბეტონის და ინტერფეისების სიხისტე და სიმტკიცე</p> <p><b>ანალიზის მეთოდი:</b> ბეტონის არაწრფ. დრენაჟის რღვევის მოდელი. რღვევის მოდელი ინტერფეისისათვის</p>  <p><b>შედეგი:</b> კაშხლის საწყისი დღმ - (σ, ε)<sub>Initial</sub>.</p>	<p><b>5. ეტაპი P-2<sup>(2)</sup></b></p> <p>საწყისი მონაც.: ბეტონის მოდიფიცირებული სიხისტე და სიმტკიცე (ეტაპიდან R-4); კაშხლის მოდიფიცირებული დღმ - (σ, ε)<sub>Modified</sub> (ეტაპიდან P-1).</p> <p><b>ანალიზის მეთოდი:</b> ცოცვადობის <math>\epsilon_c</math> დეფ-ის ანალიზი მოდიფ-ლი ბოლცმან-გოლტერას თეორიით. მოდიფ-ლი არაწრფ. დრენაჟი რღვევის მოდელი კაშხლის ბეტონისთვის.</p> <p><b>შედეგი:</b> ბეტონის მოდიფიცირებული სიხისტე და სიმტკიცე; კაშხლის მოდიფიცირებული დღმ - (σ, ε)<sub>Modified</sub>.</p>



<p><b>ცოცხადობის დეფორმაცია</b></p>	<p><b>2. ეტაპი R-2<sup>(1)</sup></b></p> <p>საწყისი მონაც.: ბეტონის საწყისი სიხისტე და სიმტკიცე (ეტაპიდან R-1); კაშხლის საწყისი დღმ - <math>(\sigma, \varepsilon)_{\text{Initial}}</math>. (ეტაპიდან R-1).</p> <p><b>ანალიზის მეთოდი:</b> ცოცხადობის <math>\varepsilon_{cr}</math> დეფორმაციის ანალიზი მოდიფ-ლი ბოლცმან-გლებერას თეორიით. მოდიფ-ლი არაწრფულებადი რღვევის მოდელი კაშხლის ბეტონისთვის.</p> <p><b>შედეგი:</b> ბეტონის მოდიფიცირებული სიხისტე და სიმტკიცე; კაშხლის მოდიფიცირებული დღმ - <math>(\sigma, \varepsilon)_{\text{Modified}}</math>.</p>	<p><b>6. ეტაპი P-3<sup>(2)</sup></b></p> <p>საწყისი მონაც.: ბეტონის მოდიფიცირებული სიხისტე და სიმტკიცე (ეტაპიდან P-2); კაშხლის მოდიფიცირებული დღმ - <math>(\sigma, \varepsilon)_{\text{Modified}}</math> (ეტაპიდან P-2).</p> <p><b>ანალიზის მეთოდი:</b> კაშხლის რღვევის კრიტერ. ბრტყ. დეფ-ის პირობებში; ინტერფეისის რგვევის კრიტერ. დისკრეტული რგვევის მოდელი; ფორმული წნევების მომატება ბზარებში.</p> <p><b>შედეგი:</b> ბზარის გაჩენა და გავრცელება ბეტონში და/ან ინტერფეისში; კაშხლის მოდიფიცირებული დღმ - <math>(\sigma, \varepsilon)_{\text{Modified}}</math>.</p>
<p><b>ბზარის წარმოქმნა და გავრცელება</b></p>	<p><b>3. ეტაპი R-3<sup>(1)</sup></b></p> <p>საწყისი მონაც.: ბეტონის მოდიფიცირებული სიხისტე და სიმტკიცე (ეტაპიდან R-2); კაშხლის მოდიფიცირებული დღმ - <math>(\sigma, \varepsilon)_{\text{Modified}}</math> (ეტაპიდან R-2).</p> <p><b>ანალიზის მეთოდი:</b> კაშხლის რგვევის კრიტერ. ბრტყ. დეფ-ის პირობებში; ინტერფეისის რგვევის კრიტერ. დისკრეტული რგვევის მოდელი; ფორმული წნევების მომატება ბზარებში.</p> <p><b>შედეგი:</b> ბზარის გაჩენა და გავრცელება ბეტონში და/ან ინტერფეისში; კაშხლის მოდიფიცირებული დღმ - <math>(\sigma, \varepsilon)_{\text{Modified}}</math>.</p>	

<sup>(1)</sup> **R** = რეტროსპექტული ანალიზი; <sup>(2)</sup> **P** = არსებული მდგომარეობის ანალიზი;

### 2.1.1. ეტაპი R-1: ბეტონის მოდელი პრტყელი დეფორმაციის ამოცანებისათვის

გრავიტაციული კაშხლის მუშაობის შეფასება უნდა მოხდეს ბრტყელ დეფორმაციათა ამოცანების ფარგლებში.

ჩვენს მიერ წარმოდგენილი კაშხლის კონსტიტუციური მოდელი ეყრდნობა პიპოდრეგად (არაწრფივი დრეკადი რდგევა) ფორმულირებას. ეს მოდელი კარგად აღწერს მიმდევრობითად შეუქცევად ძაბვა-დეფორმაციის დამოკიდებულებას.

ამ მიდგომის მთავარი უპირატესობა გამოიხატება იმაში, რომ ის მარტივად მიესადაგება რიცხვით ანალიზს და ანალიზისთვის აუცილებელი მონაცემები თავისუფლად შეიძლება მივიღოთ ბეტონის ნიმუშის ერთდერმა კუმშვაზე გამოცდიდან. აღნიშნულ მოდელს შეუძლია გაითვალისწინოს ძაბვა-დეფორმაციების დამოკიდებულება პიკურ ძაბვებამდეც კი, ანუ გაითვალისწინოს პლასტიკური მოცულობითი ზრდა კუმშვის დროს (დილატანსია), რომელიც დამახასიათებელია ბეტონისთვის რდგევის წინა ეტაპზე.

კონსტიტუციური მოდელი იყენებს ბეტონის რდგევის კრიტერიუმებს ბრტყელი დეფორმაციების და ბრტყელი დაძაბული მდგომარეობის ამოცანებისთვის.

შემოთავაზებული მოდელი ბეტონის ორდერძოვან ძაბვა-დეფორმაციების დამოკიდებულებას ცვლის ერთდერძა ძაბვა-დეფორმაციების დამოკიდებულებით. ამ მიდგომის მიხედვით დეფორმაციის ნაზრდის სიდიდე თითოეული მთავარი მიმართულებისათვის იანგარიშება მთავარი ძაბვის ნაზრდის მიხედვით იმავე მიმართულებით.

#### • ბეტონის ერთდერძა მუშაობა

ბეტონის, როგორც სამშენებლო მასალის, მუშაობა უშუალოდ არის დამოკიდებული მის არსებულ დაძაბულ მდგომარეობაზე. ამის უმარტივესი მაგალითია ბეტონის ერთდერძა მუშაობა. რაც უფრო ზოგადი ხდება ძაბვითი მდგომარეობა (ორდერძა ან სამღერძა), მასალის მოქმედება უფრო რთულდება. მიუხედავად ამისა, ბეტონის ერთდერძა მუშაობა შეიძლება



გამოყენებული იქნას უფრო რთული მოდელების საფუძვლად, რომლებიც აღწერენ ნაგებობის უფრო რთულ მუშაობას.

რადგანაც ბეტონის მუშაობა დამოკიდებულია მრავალ ფაქტორზე (როგორებიცაა კომპონენტების პროპორცია, შემავსებლების მახასიათებლები, მოდებული დატვირთვის სახეზე და ა.შ.), ძალიან რთულია მოინახოს ერთი განსაკუთრებული ანალიზური დამოკიდებულება, რომელიც აღწერდა ძაბვა-დეფორმაციების მრუდებს, რომელიც ზუსტად აღწერდა ყველა ტიპის ბეტონის მუშაობას. მიუხედავად ამისა, ქვემოთ მოყვანილი გამოსახულებას შეუძლია საკმაოდ ზუსტად აღწეროს ზოგადად ბეტონის ძაბვა-დეფორმაციების მრუდები.

$$\frac{\sigma}{\sigma_c} = \frac{\frac{E_0}{E_c} \frac{\varepsilon}{\varepsilon_c}}{1 + \left( \frac{E_0}{E_c} - 2 \right) \frac{\varepsilon}{\varepsilon_c} + \left( \frac{\varepsilon}{\varepsilon_c} \right)^2} \quad (2.1)$$

სადაც:

$E_0$  არის ბეტონის საწყისი დრეკადობის მოდული;

$E_c$  - ბეტონის მკვეთი დრეკადობის მოდული პიკური ძაბვის დროს;

$\sigma$  და  $\varepsilon$  - შესაბამისად, მაქსიმალური მკუმშავი ძაბვა და შესაბამისი დეფორმაცია.

იმისათვის, რომ დადგინდეს დრეკადობის მხები მოდული ძაბვა-დეფორმაციების მრუდის ნებისმიერ წერტილში, მოსახერხებელია ე.წ. არაწრფივობის  $\beta$  ინდუქსის გამოყენება, რომელიც აღწერს ძაბვა-დეფორმაციების მრუდის იმ წერტილს, რომელიც შეესაბამისება ბეტონის მაქსიმალურ მკუმშავ ძაბვას და იანგარიშება როგორც:

$$\beta = \frac{\sigma}{\sigma_c} \quad (2.2)$$



ავლიშნოთ  $A = E_0/E_c$  და მივიღოთ მხედველობაში ის, რომ  $\varepsilon_c = \sigma_c/E_c$  და  $\varepsilon = \sigma/E_s$  (სადაც  $E_s$  არის ბეტონის მკვეთი დრეკადობის მოდული  $\sigma$  ძაბვის დროს).  $E_s$  – ის გამოსახულება ჩაიწერება შემდეგნაირად:

$$E_s = E_c(A_I + \sqrt{A_I^2 - \beta^2}) \quad (2.3)$$

სადაც

$$A_I = \frac{A - \beta(A - 2)}{2} \quad (2.4)$$

შეიძლება ვაჩვენოთ, რომ ძაბვა-დეფორმაციების მრუდის ნებისმიერ წერტილში მხებ  $E_t$  და მკვეთ  $E_s$  დრეკადობის მოდულებს შორის მართებულია შემდეგი დამოკიდებულება:

$$E_t = \frac{E_s^2}{E_s - \frac{\partial E_s}{\partial \sigma} \sigma} \quad (2.5)$$

განტოლებები (2.2) - (2.4) გამოსახულება (2.5) – თან ერთად გამოიყენება დრეკადობის მხები მოდულის შემდეგი გამოსახულების მიღებისათვის:

$$E_t = \frac{2E_s \left( \frac{E_s}{E_c} - A_I \right)}{A} \quad (2.6)$$

- ბეტონის ორდერძა მუშაობა

შემდგომში, განტოლება (2.1) გამოყენებული იქნება ბეტონის მუშაობის აღწერისას ორდერძა ძაბვით მდგომარეობაში. კერძოდ, დრეკადი, ერთგვაროვანი და ორთოტროპული მასალისთვის, ძაბვა-დეფორმაციების დამოკიდებულება დიფერენციალურ ფორმაში, მთავარი ძაბვების გამოყენებით, მიიღებს შემდეგ სახეს:



$$\begin{Bmatrix} d\epsilon_1 \\ d\epsilon_2 \end{Bmatrix} = \begin{bmatrix} \frac{1}{E_{t1}} & -\frac{\nu_t}{\sqrt{E_{t1}E_{t2}}} \\ -\frac{\nu_t}{\sqrt{E_{t1}E_{t2}}} & \frac{1}{E_{t2}} \end{bmatrix} \begin{Bmatrix} d\sigma_1 \\ d\sigma_2 \end{Bmatrix} \quad (2.7)$$

სადაც

ν<sub>t</sub> არის პუასონის კოეფიციენტი:

$$\nu_t = \sqrt{\nu_{t1}\nu_{t2}} \quad (2.8)$$

იმისათვის, რომ განვსაზღროთ დრეკადობის მხები მოდულები  $E_{t1}$  და  $E_{t2}$  მთავარი ძაბვების მიმართულებებით,  $\beta$  პარამატრი, რომელიც შეესაბამება ერთდერძა კუმშვას, უნდა განზოგადდეს ორდერძა დაძაბულ მდგომარეობისთვის  $\beta_i$  ( $i=1,2$ ):

$$\beta_i = \frac{\sigma_i}{\sigma_{ci}} \quad (2.9)$$

სადაც ინდექსი  $i$  აღნიშნავს  $\sigma$  და  $\sigma$  მთავარი ძაბვების მიმართულებებს და ზღვრულ  $\sigma_{ci}$  ძაბვებს. ამის გარდა, (2.6) დამოკიდებულება შეიძლება მოდიფიცირდეს დრეკადობის მხები მოდულის  $E_{ti}$  ( $i=1,2$ ) განსასაზღვრავად მთავარი ძაბვების მიმართულებებით:

$$E_{ti} = \frac{2E_{si}(\frac{E_{si}}{E_{ci}} - A_{li})}{A_i} \quad (2.10)$$

სადაც

$$E_{si} = E_{ci}(A_{li} + \sqrt{A_{li}^2 - \beta_i^2}) \quad (2.11)$$



$$A_{li} = \frac{A_i - \beta_i(A_i - 2)}{2} \quad (2.12)$$

$$A_i = \frac{E_{0i}}{E_{ci}} \quad (2.13)$$

$$E_{ci} = \frac{\sigma_{ci}}{\varepsilon_{ci}} \quad (2.14)$$

ამის შემდეგ, (2.10) – (2.14) განტოლებების პარამეტრები გაიანგარიშება ბეტონის დაძაბული მდგომარეობის შემდეგი ფორმებისათვის: კუმშვა – კუმშვა (CC), გაჭიმვა – კუმშვა (TC) და გაჭიმვა – გაჭიმვა (TT). მაქსიმალური მკუმშვი ძაბვების მნიშვნელობები გაიანგარიშება [8] – ს მიხედვით.

- ბეტონის კონსტიტუციური კანონის მოდიფიცირება ბრტყელი დეფორმაციის პირობებში დეფორმაციის ამოცანებისთვის

თუ გავითვალისწინებთ იმას, რომ ბრტყელი დეფორმაციის პირობებში ბეტონის გამოცდის მონაცემები პრაქტიკურად არ არსებობს, ზოგიერთი იყენებს ბეტონის სამღერძა გამოცდის მონაცემებს და დაჰყავს ის ორდერმა კუმშვაზე [10]. ჩვენ ვიყენებთ რდვევის თთხბარამეტრიან კრიტერიუმს, რომელიც შემდეგნაირად გამოისახება [11]:

$$a \frac{J_{2p}}{\sigma_c^2} - b \frac{\sqrt{J_{2p}}}{\sigma_c} - c \frac{\sigma_{1p}}{\sigma_c} - d \frac{I_{1p}}{\sigma_c} - I = 0 \quad (2.15)$$

## სადაც

$$I_{1p} = \sigma_{1p} + \sigma_{2p} + \sigma_{3p} \quad (2.16)$$

$$J_{2p} = \frac{1}{6} \left[ (\sigma_{1p} - \sigma_{2p})^2 + (\sigma_{2p} - \sigma_{3p})^2 + (\sigma_{3p} - \sigma_{1p})^2 \right] \quad (2.17)$$



ამ გამოსახულებებში  $\sigma_{1p} \geq \sigma_{2p} \geq \sigma_{3p}$  არიან პიკური მდგომარეობის შესაბამისი მთავარი ძაბვები,  $\sigma_c$  - ბეტონის ერთლერძა სიმტკიცე კუმშვაზე და  $a, b, c, d$  პარამეტრები, რომლებიც განისაზღვრებიან ექსპერიმენტალურად.

არაწრფივობის ინდექსი, რომელიც ზემოდ არის აღწერილი, მიყვანილია მოცულობითი ამოცანების კლასებისთვის შემდეგი ფორმით:

$$\beta = \frac{\sigma_i}{\sigma_{ip}} \quad (i=1,2,3) \quad (2.18)$$

სადაც  $\sigma_{ip}$  ( $i=1,2,3$ ) არის პიკური ძაბვის ვექტორის შესაბამისი კომპონენტები.

ზოგადი დამოკიდებულება მკვეთი ძაბვა-დეფორმაციების დამოკიდებულებების ტრანსგრასალურად იზოტროპული (ორთოტროპული) მასალებისათვის მთავარ ძაბვებში ჩაიწერება შემდეგნაირად [12]:

$$\begin{Bmatrix} \varepsilon_1 \\ \varepsilon_2 \\ \varepsilon_3 \end{Bmatrix} = \begin{bmatrix} \frac{1}{E_1} & \frac{-\nu_2}{E_2} & \frac{-\nu_1}{E_1} \\ \frac{-\nu_2}{E_2} & \frac{1}{E_2} & \frac{-\nu_2}{E_2} \\ \frac{-\nu_1}{E_1} & \frac{-\nu_2}{E_2} & \frac{1}{E_1} \end{bmatrix} \begin{Bmatrix} \sigma_1 \\ \sigma_2 \\ \sigma_3 \end{Bmatrix} \quad (2.19)$$

ბრტყელი დეფორმაციების ამოცანებისთვის ამ გამოსახულებაში  $\varepsilon_3=0$ . ამ შემთხვევაში (2.19) განტოლების დიფერენციალური ფორმა აღწერს მხებ ძაბვა-დეფორმაციების დამოკიდებულებას ბრტყელი დეფორმაციებისთვის. ამ შემთხვევაში ჩაითვლება, რომ მასალის მექანიკური მახასიათებლები  $E_i$  და  $\nu_i$  ( $i=1,2$ ) ჩაინაცვლებიან შესაბამისი  $E_{ti}$  and  $\nu_{ti}$  ( $i=1,2$ ) მნიშვნელობებით. განტოლება (2.18)-დან განისაზღვრება  $\sigma_{ip}$  [13]:

$$\sigma_{ip} = \frac{\sigma_i}{\beta} \quad (i=1,2,3) \quad (2.20)$$

თუ ჩავსვათ (2.20) გამოსახულებას (2.15)-ში მივიღებთ:

$$a \frac{J_2}{\beta^2 \sigma_c^2} - b \frac{\sqrt{J_2}}{\beta \sigma_c} - c \frac{\sigma_I}{\beta \sigma_c} - d \frac{I_I}{\beta \sigma_c} - 1 = 0 \quad (2.21)$$

საიდანაც შეიძლება მივიღოთ შემდეგი გამოსახულება  $\beta$ -ს განსაზღვრისათვის:

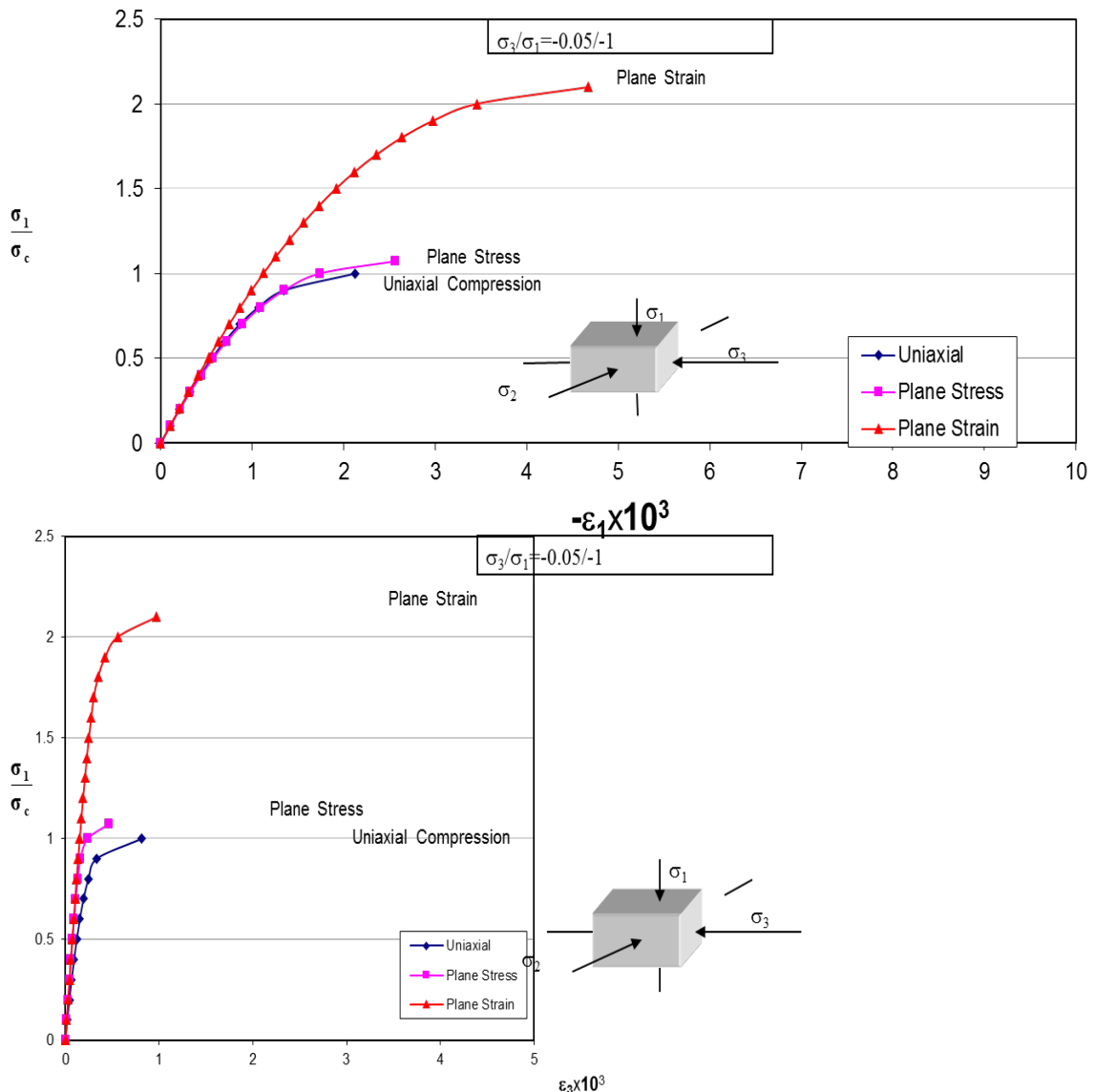
$$\beta^2 + \frac{b \sqrt{J_2} + c \sigma_I + d I_I}{\sigma_c} - a \frac{J_2}{\sigma_c^2} = 0 \quad (2.21)$$

- **ანალიზის შედეგები**

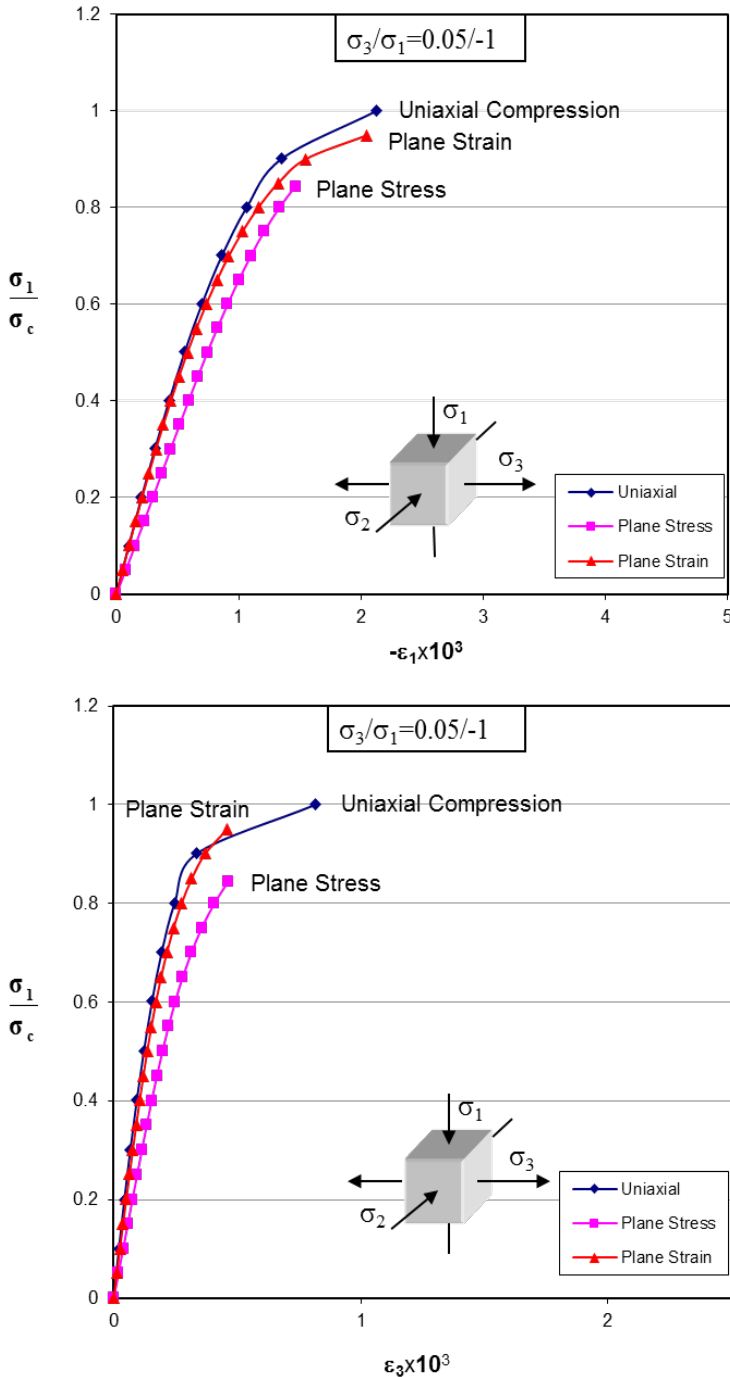
ანალიზი დაიწყო ძაბვების კუმულა-კუმულის ფორმით, როდესაც  $\alpha = \sigma_I / \sigma_I = 0.05$  (ნახ. 2.1). ამ ნახაზიდან ჩანს, რომ ბეტონის ძაბვა-დეფორმაციის მრუდი ბრტყელი დეფორმაციის შემთხვევაში ძალიან ახლოსაა ერთდერძიან კუმულის დიაგრამასთან, თუმცა სიმტკიცე კუმულაზე მნიშვნელოვნად იზრდება ბრტყელი დეფორმაციის შემთხვევაში, მაშინაც კი როდესაც  $\alpha$ -ს მნიშვნელობა დაბალია. კერძოდ, სიმტკიცე კუმულაზე თითქმის ორჯერ მეტია ერთდერძა კუმულის შესაბამის სიმტკიცეზე კუმულაზე.  $\alpha$ -ს მნიშვნელობის გაზრდის შედეგად  $\alpha = 0.10$  და  $\alpha = 0.15$ , სიდიდეები  $\alpha = 0.20$  და  $\alpha = 0.25$  მნიშვნელოვნად იზრდება. ანალიზის დროს ჩვენ უფრო მეტად არ გაგვიზრდია  $\alpha$ -ს მნიშვნელობა, რადგან გრავიტაციული კაშხლებისთვის ის იმყოფება 0 – 0,2 – 0,5 ფარგლებში ( $0.00 \leq \alpha \leq 0.20$ ).



უფრო მნიშვნელოვანი აღმოჩნდა გაჭიმვა-კუმშვის ფორმა, რადგან ასეთი ზონები შეიძლება გაჩნდეს გრავიტაციული კაშხლის სადაწნეო წახნაგზე. ნახ. 2.2 – დან ჩანს, რომ, როდესაც  $\alpha=-0.05$ , ბეტონის სიმტკიცე კუმშვაზე ბრტყელი დეფორმაციის პირობებში უფრო მაღალია, ვიდრე ბრტყელი დაძაბული მდგომარეობის დროს, თუმცა უფრო ნაკლებია ვიდრე ერთდერძა კუმშვის შემთხვევაში. შემდეგმა კვლევებმა აჩვენა, რომ ბეტონის სიმტკიცე კუმშვაზე ბრტყელი დეფორმაციის პირობებში მცირდება  $\alpha$ -ს მნიშვნელობის გაზრდით. მაგალითად, როდესაც  $\alpha=-0.10$ , ბეტონის სიმტკიცე კუმშვაზე ბრტყელი დეფორმაციის პირობებში თითქმის



ნახ. 2.1: ერთდენა კუმშვის, ბრტყელი დაბული და ბრტყელი დეფორმაციების პირობებში მიღებული შედეგების ურთიერთშედარება გაჭიმვა-კუმშვის ფარგლებში, როდესაც  $\alpha = \sigma_3/\sigma_1 = 0.05$ .



ნახ. 2.2: ერთდერძა პუმშვის, ბრტყელი დაბაბული და ბრტყელი დეფორმაციების პირობებში მიღებული შედეგების ურთიერთშედარება გაჭიმვა-პუმშვის ფარგლებში, როდესაც  $\alpha = \sigma_3/\sigma_1 = -0.05$ .

ტოლია ანალოგიური სიდიდეზე ბრტყელი დაძაბული მდგომარეობის დროს. როდესაც  $\alpha = -0.15$ , ბეტონის სიმტკიცე კუმშვაზე ბრტყელი დეფორმაციის პირობებში ნაკლებია ანალოგიური სიდიდეზე ბრტყელი დაძაბული მდგომარეობის დროს.

ანალიზიდან გამომდინარე დგინდება, რომ ბრტყელი დეფორმაცია აუარესებს ბეტონის მუშაობას გაჭიმვა-კუმშვის ზონაში გრავიტაციული კაშხლის სადაწნეო წახნაგის სიახლოვეს, სადაც მოსალოდნელია გამჭიმავი ბზარების წარმოშობა და გავრცელება კაშხლის ტანში. აქედან გამომდინარე, აუცილებელია გრავიტაციული კაშხლების ანგარიში ბრტყელი დეფორმაციების პირობებში, რათა მოხდეს ბზარის შესაძლო წარმოშობის სწორი განსაზღვრა.

### 2.1.2. ეტაპი R-1: კონსტიტუციური მოდელი ინტერფეისებისათვის (საკონტაქტო ზედაპირებისათვის)

ფუძის გავლენას შესწავლას კაშხლის დაძაბულ-დეფორმირებულ მდგომარეობაზე დიდი პრაქტიკული მნიშვნელობა აქვს, რადგანაც ეს გავლენა ვრცელდება ფუძიდან კაშხლის სიმაღლის თითქმის ერთ მესამედზე. კლასიკურ სასრული ელემენტების ანგარიშში ფუძე და კაშხალი ერთიან საანგარიშო სისტემაში განიხილება. ეს მოდელი არც ისე ზუსტად აღწერს იმ პროცესებს, რომლებიც საკონტაქტო ზედაპირზე ხდება, ანუ არ ხდება საკონტაქტო ზედაპირზე ურთიერთმიმართ გადადგილებების დაფიქსირება, რადგან ეს კონტაქტი სისტად ჩამაგრებული სქემის ტოლფასია. ამ პრობლემის გადასაჭრელად საჭიროა დამოდელირდეს უშუალოდ ინტერფეისი. ამისათვის გამოიყენება სპეციალური საკონტაქტო ელემენტები, რომლებიც ანალოგიური ელემენტები შეიძლება გამოყენებული იქნას არა მარტო კაშხლისა და

ფუძის საკონტაქტო ზედაპირზე, არამედ კაშხლის დასხმულ ფენებს შორის კონტაქტის დასამოდელირებლად.

ზოგადად, ინტერფეისის მუშაობა მისი მოსაზღვრე მასალების თვისებებზეა დამოკიდებული. ინტერფეისის მუშაობა არაწრფივია, ამიტომ აუცილებელია ისეთი მოდელის დამუშავება, რომელიც ამ არაწრფივობას აღწერს.

კონსტიტუციური დამოკიდებულება ინტერფეისებისათვის ეფუძნება პიპლრეკად (არაწრფივი დრეკადი რღვევა) მოდელს. ამ მიღვომის საშუალებით შესაძლებელია ძვრის ცდებიდან მიღებული მხები ძაბვების – ფარდობითი გადაადგილებების მრუდის სიმულირება პიკურ მხებ ძაბვებამდეც კი, რომლის დროსაც წარმოიშობა დილატაციის ეფექტი კვანძებს შორის.

ინტერფეისის ელემენტების არაწრფივი დამოკიდებულება შეიძლება ჩაიწეროს დიფერენციალური ფორმით:

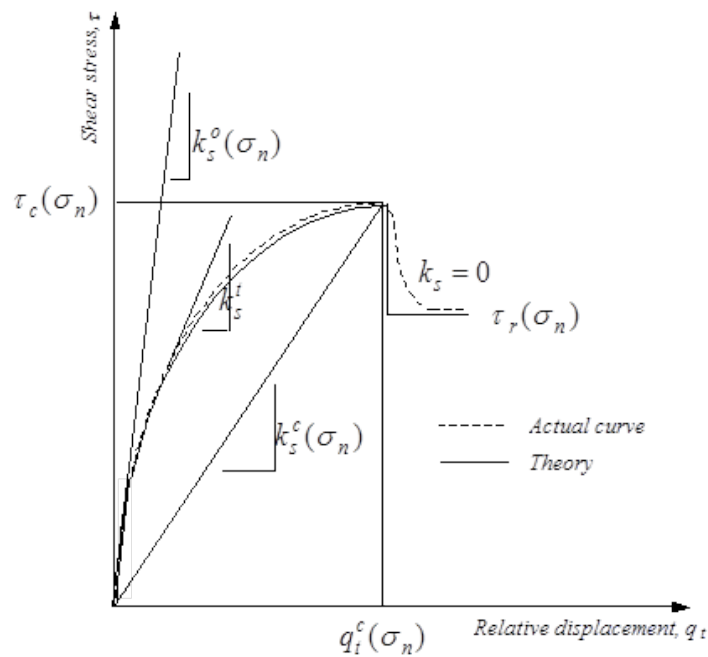
$$\begin{bmatrix} \partial\sigma_t \\ \partial\sigma_n \end{bmatrix} = \begin{bmatrix} k_s^t & 0 \\ 0 & k_n^t \end{bmatrix} \begin{bmatrix} \partial q_t \\ \partial q_n \end{bmatrix} \quad (2.22)$$

სადაც  $k_s^t$  და  $k_n^t$  არის ინტერფეისის სიხისტის მატრიცის მძვრელი და ნორმალური კომპონენტები და მათი მნიშვნელობები ზოგადად დამოკიდებულია არსებულ ძაბვით მდგომარეობაზე.

ქვემოთ მოყვანილია ძვრის ძაბვა-დეფორმაციების და ნორმალური ძაბვა-დეფორმაციების კონსტიტუციური დამოკიდებულებები.

- ძეგლი ძაბვა-დეფორმაციების მოდელი

ბეტონსა და კლდეს შორის ძვრაზე ტიპური ცდის შედეგები მოცემულია ნახ. 2.3 - ზე. ძვრის მოდული ძაბვითი მდგომარეობის ნებისმიერ საფეხურზე ( $\tau, \sigma_n$ ) ჩაიწერება შემდეგნაირად:



ნახ. 2.3: მხები ძაბვა-დეფორმაციების მოდელი ინტერფენსისათვის.

$$k_s^t = \frac{2k_s^s \left( \frac{k_s^s}{k_s^c} - A_l \right)}{A} \quad (2.23)$$

სადაც:

$$k_s^s = k_s^c (A_l + \sqrt{A_l^2 - \beta^2}) \quad (2.24)$$

$$k_s^c = \frac{k_s^0}{A} \quad (2.25)$$

$$A_l = \frac{A - \beta(A - 2)}{2} \quad (2.26)$$

ამ განტოლებებში შემავალი მხები ძაბვის პარამეტრი  $\beta_\tau$  ანალოგიურია არაწრფივობის  $\beta$  პარამეტრის და ის შემდეგნაირად ჩაიწერება:

$$\beta_\tau = \frac{\tau}{\tau_c} \quad (2.27)$$

სადაც  $\tau_c$  არის ინტერფეისის სიმტკიცე ძვრაზე. მოდელის უცნობი სიდიდეები, რომლებიც უნდა განისაზღვრონ, არიან: ძვრის სიხისტის საწყისი კოეფიციენტი  $k_s^0$ , ინტერფეისის სიმტკიცე ძვრაზე  $\tau_c$  და უგანზომილებო პარამეტრიც  $A$ , რომელიც ერთმანეთთან აკავშირებს საწყის ძვრის სიხისტეს და ძვრის სიხისტის მკვეთ მნიშვნელობას რღვევის მომქნები. ყველა ეს პარამეტრი დამოკიდებულია ნორმალ ძაბვებზე და შეიძლება განზოგადნენ ინტერფეისში ნორმალური ძაბვების მნიშვნელობებთან შესაბამისობაში, როგორც ქვემოთ არის აღწერილი.

ძვრაზე სიხისტის საწყისი კოეფიციენტის განზოგადება. როგორც ზემოდ იყო ნახსენები, ძვრის სიხისტის საწყისი  $k_s^0$  კოეფიციენტის მნიშვნელობა დამოკიდებულია ინტერფეისში ნორმალური  $\sigma_n$  ძაბვის მნიშვნელობაზე. კარჯანის (ინდოეთი) გრავიტაციული კაშხლის ფუძეში არსებული ბზარის ანალიზის საფუძველზე, ავტორებმა გამოიყენეს მოდელი, რომელიც შემდეგნაირად ასახავს  $k_s^0$ -ის და  $\sigma_n$ -ის ურთიერთკავშირს [14]:

$$k_s^0 = K \gamma_w \left( \frac{\sigma_n}{P_a} \right)^n \quad (2.28)$$

სადაც:

$K$  არის სიხისტის უგანზომილებო მაჩვენებელი;

$\gamma_w$  - წყლის ხვედრითი წონა;

$P_a$  - ატმოსფერული წნევა;

$n$  - ძვრაზე სიხისტის მაჩვენებელი.

უნდა აღინიშნოს, რომ (2.28) განტოლება არ არის მართებული იმ შემთხვევაში, როდესაც ნორმალური ძაბვა ნულის ტოლია ( $\sigma_n=0$ ). მიუხედავად იმისა, რომ ეს განტოლება ვარგისია გრუნტი-ნაგებობის ურთიერთობების ამოცანებში, ის ვერ აღწერს სრულად კლდესა და ბეტონს შორის, აგრეთვე ბეტონის ორ ფენას შორის კონტაქტებს. იმისათვის, რომ განტოლების ეს ნაკლი დაიძლიოს, საჭიროა (2.28) განტოლების მოდიფიცირება შემდეგი მარტივი გზით. დავუმატოთ განტოლების მარჯვენა მხარეს ინტერფეისში ძვრის სიხისტის საწყისი მნიშვნელობა, რომელიც შეესაბამება ნულოვან ნორმალურ ძაბვას, ე.ი.:

$$k_s^0 = \left( k_s^0 \right)^{\sigma_n=0} + a \left( \frac{\sigma_n}{P_a} \right)^n \quad (2.29)$$

სადაც:  $a=K\gamma_w$  არის სიხისტის პარამეტრი (გამოსახული იგივე განზომილებაში, რაც  $k_s^0$ ).

ზემოდმოყვანილი სახით განტოლება (2.29) გამოყენებული იქნა [15]-ში ბეტონისა და კლდის ინტერფეისის მუშაობის შესასწავლად.

$\left( k_s^0 \right)^{\sigma_n=0}$  -ის მნიშვნელობის დასადგენად საჭმარისია ძვრაზე კლასიკური ცდა ნულოვანი ნორმალური ძაბვების შემთხვევაში. პარამეტრი  $a$  შეიძლება ადვილად განისაზღვროს მხები ძაბვები-ფარდობითი გადაადგილებების მრუდებიდან, რომლებიც აგებულია ინტერფეისში ნორმალური ძაბვების სხვადასხვა მნიშვნელობების დროს. ხშირად მიიღება, რომ საწყისი ძვრის მნიშვნელობა წრფივად არის დამოკიდებული ნორმალური ძაბვის მნიშვნელობებზე, ანუ  $n=1$ .

ინტერფეისის ძვრაზე სიმტკიცის განზოგადება.  $\tau_c$  მხები ძაბვის პიკური მნიშვნელობა არის აგრეთვე ინტერფეისში ნორმალური ძაბვის ფუნქცია

ნახ. 2.3. მორი-კულონის კრიტერიუმის მიხედვით ის განისაზღვრება შემდეგნაირად:

$$\tau_c = c + \sigma_n \tan \phi \quad (2.30)$$

სადაც:

$c$  არის შეჭიდულობა;

$\phi$  - შინაგანი ხახუნის კუთხე (ეს პარამეტრები შეიძლება აგრეთვე განისაზღვროს უშაალოდ ძვრის ცდებიდან).

მას შემდეგ, რაც მიღწეული იქნება ძვრაზე სიმტკიცის ზღვრული მნიშვნელობა, მოხდება რღვევა ძვრაზე და  $k_s$  -ის მნიშვნელობა მიუახლოვდება ნულს. მიუხედავად ამისა, ინტერფეისში რჩება სიმტკიცის გარკვეული დონე ნახ. 2.3.

- ნორმალური ძაბვა-დეფორმაციების მოდელი

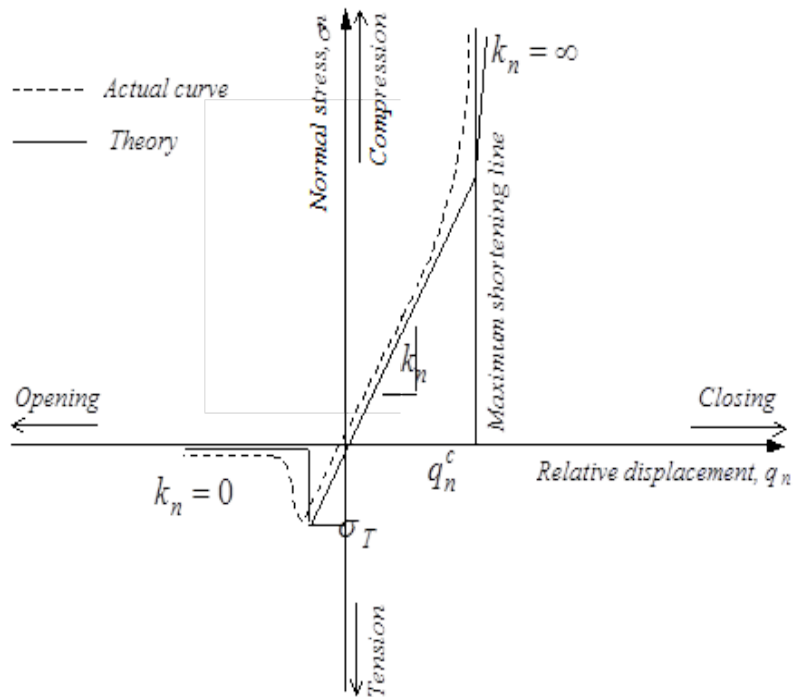
ნორმალური ძაბვა-დეფორმაციების მოდელი მოცემული ნახ. 2.4-ზე. ზოგადად, ნორმალური ძაბვა-დეფორმაციების დამოკიდებულება არაწრფივია (დაშტრიხული ზონა ნახ. 2. -ზე). მიუხედავად ამისა, უშვებენ, რომ ეს დამოკიდებულება ზღვრულ მკუმშავ და გამჭიმავ რღვევებს შორის არის წრფივი, ე.ო. ნორმალური სიხისტე ითვლება მუდმივ სიდიდედ:

$$k_n=const [16].$$

დაშვებულია, რომ ინტერფეისებს კაშხალსა და ფუძეს შორის, აგრეთვე კაშხლის დაგებულ ფენებს შორის, შეუძლია მიიღონ გარკვეული სიდიდის გამჭიმავი ძაბვები. მაგალითად, Upper Stillwater-ის დატკეპნილბეტონიანი გრავიტაციული კაშხალი დაპროექტებული იყო 1,24 მპა სიდიდის მინიმალურ სიმტკიცეზე გაჭიმვაზე ბეტონის ფენებს შორის [17].

გამჭიმავი ძაბვა გავლენას ახდენს ინტერფეისის წერტილების ურთიერთ ფარდობით გადაადგილებებზე, როდესაც სიმტკიცე გაჭიმვაზე ინტერფეისში მიაღწევს თავის ზღვრულ მნიშვნელობას, ე.ო. როდესაც

$|\sigma_n| \geq |\sigma_n^t|$ . ამის შემდეგ ინტერფეისს აღარ შეუძლია წინააღმდეგობა გაუწიოს გამჭიმავ ძაბვებს და ის გაიხსნება, ე.ი. ძაბვები დაეცემა ნულამდე. ძვრაზე და ნორმალური სიხისტის კოეფიციენტების საწყისი



ნახ. 2.4: ნორმალური ძაბვა-ფარდობითი გადაადგილების მოდელი ინტერფეისისათვის.

მნიშვნელობები უახლოვდება ნულს. ძაბვები გადანაწილდება გაუხსნელ კონტაქტებში. იგივე პრინციპი ვრცელდება კუმშვის ზონებშიც ნახ. 2.4.

- ანალიზის შედეგები

ინტერფეისის ზემოდ აღწერილი მოდელის ბაზაზე მიღებული შედეგები შედარებული იქნა ნატურაში ძვრაზე ჩატარებული ცდების შედეგებს [15] ბეტონსა და კლდეს შორის. თეორიული და ექსპერიმენტული შედეგების შედარების შედეგად დადგინდა, რომ ამ ორ მრუდს შორის

გარკვეული სხვაობა გამოწვეული იყო ინტერფეისში ძვრაზე სიმტკიცის თეორიულ და რეალურ სიდიდეებს შორის სხვაობით. მიუხედავად ამისა, შეიძლება დაგასცვნათ, რომ (2.23 – 2.26) გამოსახულებები კარგიდ აღწერენ მხები ძაბვები-ფარდობითი გადაადგილებების რეალურ (ნატურალ) მრუდს. ანალიზის შემდეგ ეტაპებზე მოხდა თეორიული მრუდებისთვის A პარამეტრის ცვლადი მნიშვნელობების აღება.

გარკვეული სხვაობა თეორიულ და ექსპერიმენტულ მრუდებს შორის, რომელიც გამოწვეული იყო ძვრაზე სიმტკიცის თეორიულ და რეალურ სიდიდეებს შორის სხვაობით, დაფიქსირდა იმ შემთხვევისთვის, როდესაც  $\sigma_n = 3.08 \text{ კგ/სმ}^2$  და  $\sigma_t = 8.01 \text{ კგ/სმ}^2$ , მაშინ, როდესაც საკმაოდ კარგი კორელაცია დაფიქსირდა იმ შემთხვევისთვის, როდესაც  $\sigma_n = 11.89 \text{ კგ/სმ}^2$  (ნახ. 2.5)

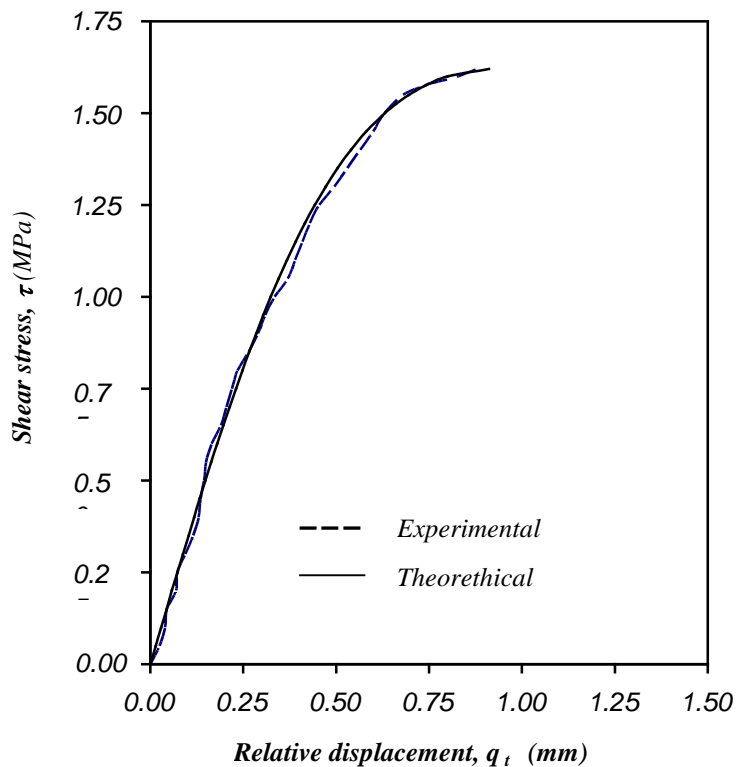
### 2.1.3. ეტაპი R-2: ცოცვადობის დეფორმაციების ანგარიში

როგორც გვიჩვენებს ბეტონის კაშხლებზე მრავალწლიანი ნატურული დაკვირვებების, ასევე ლაბორატორული ექსპერიმენტების შედეგები, ბეტონის ცოცვადობის თვისებას და დაღლილობას მნიშვნელოვანი გავლენა აქვს თვით ნაგებობის დაძაბულ-დეფორმირებულ მდგომარეობაზე. იმისათვის, რომ საანგარიშო მეთოდიკაში გათვალისწინებული იქნას ბეტონის ცოცვადობის პროცესი, საჭიროა ვიცოდეთ საანგარიშო სისტემის (კაშხალი – ფუძე) საწყისი დაძაბულ-დეფორმირებული მდგომარეობა და მასალის საწყისი მექანიკური მახასიათებლები.

ანგარიშები ტარდება სამ ეტაპად:

- ეტაპი 1 – იანგარიშება სისტემა “კაშხალი – ფუძე” საწყისი დაძაბულ-დეფორმირებულ მდგომარეობა;
- ეტაპი 2 – სისტემა “კაშხალი – ფუძე” იანგარიშება იმ პერიოდისთვის, როდესაც კაშხალის ბეტონის სიმტკიცე მიაღწევს თავის პიკურ მნიშვნელობას. ეს, უმრავლეს შემთხვევაში, ხდება

ბეტონის ჩასხმიდან 8-10 წლის შემდეგ [18, 19]. მიღებულია, რომ ამ დროისათვის ბეტონში ცოცვადობის პროცესი დამთავრებულია. თუ კაშხლის ტანტი წარმოიშობა ბზარები, საჭიროა ანგარიშები



$$\sigma_n = 11.89 \text{ kg/sm}^2$$

$$c = 3.1 \text{ kg/sm}^2$$

$$\tan\phi = 1.1$$

$$k_{so} = 230.0 \text{ kg/cm}^3 \quad A = \frac{1}{3} \left( \frac{\sigma_n}{c + \sigma_n \tan \phi} \right)^2 + \frac{2}{3} \left( \frac{\sigma_n}{c + \sigma_n \tan \phi} \right) + \frac{4}{3}$$

$$a = 10.0 \text{ kg/sm}^3$$

$$n = 1$$

$$P_a = 1.033 \text{ kg/cm}^2$$

ნახ. 2.5: აღწერილი მეთოდით მიღებული შედეგების შედარება [15]-ში მოყვანილ ექსპერიმენტულ მონაცემებთან ბეტონსა და კლდეს შორის ინტერფეისისათვის პარამეტრის სხვადასხვა მნიშვნელობებისთვის.



ჩატარდეს ბზარწარმოქმნისა და ცოცვადობის პროცესის  
მხედველობაში მიღებით;

- ეტაპი 3 – იანგარიშება სისტემის არსებული (ან მომავალი) დაძაბულ-დეფორმირებული მდგომარეობა. ბეტონის მექანიკური მახასიათებლები ზუსტდება [20] დატვირთვა-განტვირთვის აცილების და ექსპლუატაციის პერიოდის გათვალისწინებით. იმ შემთხვევაში თუ აღმოჩნდა ბზარები, მაშინ ჩაითვლება, რომ ცოცვადობის პროცესი გრძელდება ბზარის წვეროებში.

ბეტონში ცოცვადობის პროცესის აღსაწერად გამოიყენება ბოლცმან-გოლტერას წრფივი მემკვიდრეობითი თეორია. ამ თეორიის მიხედვით, ცოცვადობის დაძაბულ-დეფორმირებული მდგომარეობის განტოლების ყველაზე ზოგადი ფორმა ერთგანზომილებიანი ამოცანებისათვის შეიძლება ჩაიწეროს შემდეგნაირად [21]:

$$\varepsilon(t) = \frac{\sigma(t)}{E(t)} + \int_0^t \frac{K(t)}{E(t)} \sigma(t) dt \quad (2.31)$$

სადაც:

$\varepsilon(t)$  - ჯამური (დრეკადი და ცოცვადობის) დეფორმაცია დროის  $t$  მომენტისათვის;

$K(t)$  - ცოცვადობის ფუნქცია, რომელიც დამოკიდებულია დატვირთვის ასაკზე და  $t$  დროზე;

$E(t)$  - ბეტონის დრეკადობის მოდული, რომელიც დამოკიდებულია დატვირთვის ასაკზე და იცვლება  $t$  დროსთან ერთად;

$\sigma(t)$  - ძაბვა დროის  $t$  მომენტისათვის;

ცოცვადობის ფუნქცია შეიძლება გაანგარიშდეს შემდეგი განტოლების საშუალებით:

$$K(t) = \delta_2 e^{\delta_1 t} \quad (2.32)$$

ამ განტოლებაში  $\delta_1$  და  $\delta_2$  კოეფიციენტები განსაზღვრავენ ცოცვადობის პროცესის ხარისხს და მიიღებიან ექსპრიმენტული გზით. მაგალითად,  $\delta_1$  მიიღება, როგორც ბეტონის ფარდობითი შემოკლების სიჩქარე როგორც დროის ფუნქცია.

- ანალიზის შედეგები

იმისათვის, რომ ცოცვადობის სრული პროცესი ზუსტად იქნას აღწერილი, საჭიროა განისაზღვროს:

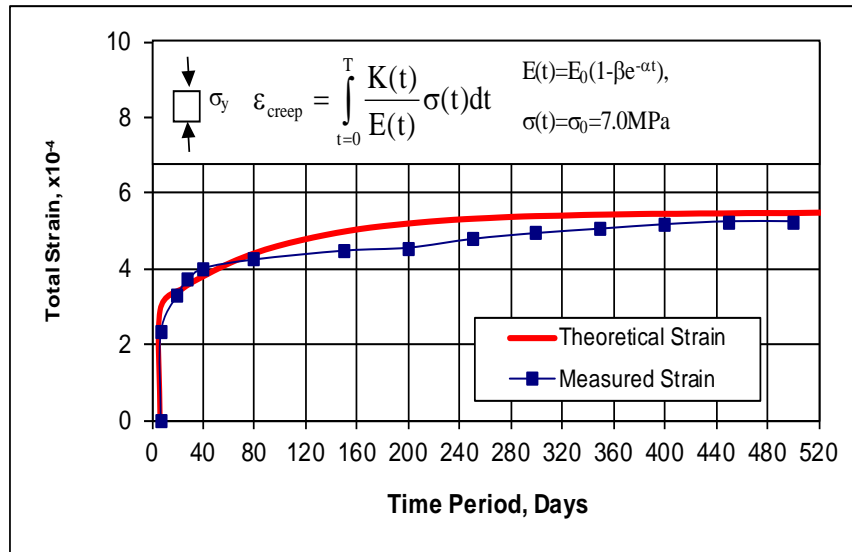
- ა) ცოცვადობის  $K(t)$  ფუნქცია;
- ბ)  $\delta_1$  და  $\delta_2$  კოეფიციენტები, რომლებიც გამოიყენება  $K(t)$  ფუნქციის საანგარიშოდ და დამოკიდებული არიან იმ დროზე, რომლის განმავლობაშიც ხდება ცოცვადობის პროცესზე დაკვირვება;
- გ) დრეკადობის მოდული  $E(t)$ ;
- ც)  $\sigma(t)$  ძაბვები  $t$  დროის ნებისმიერ მონაკვეთში;
- ჰ) ცოცვადობის აღდგენა დატვირთვის მოხსნის შემდეგ;
- ი) ცოცვადობის პროცესი ციკლური დატვირთვების დროს.

ცოცვადობის პროცესს საგრძნობი გავლენა აქვს ბეტონის ძაბვა-დეფორმაციების მრუდზე, რომელზეც, თავის მხრივ, დამოკიდებულია კაშხალში დაძაბულ-დეფორმირებული მდგომარეობა.

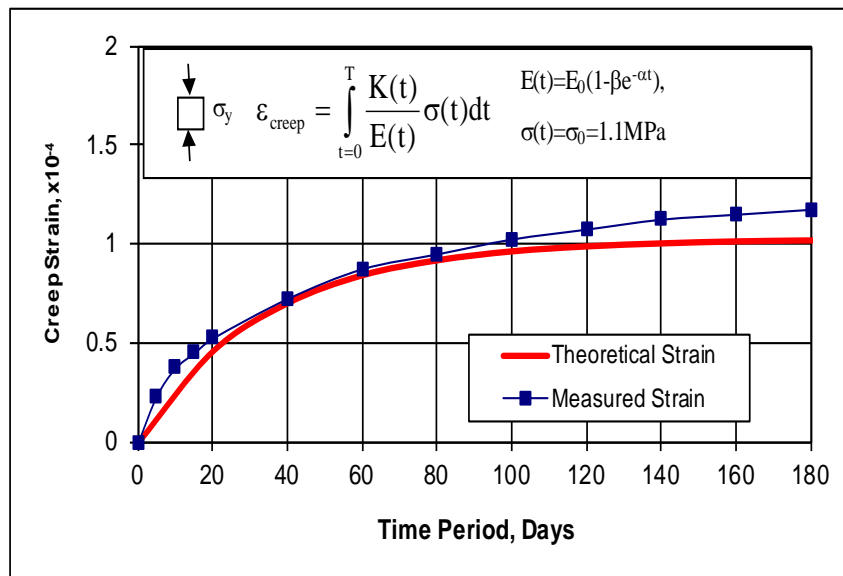
ნახ. 2.6 - ზე მოცემულია დრეკადი და ცოცვადობისგან გამოწვეული ჯამური დეფორმაციები [22]. ექსპერიმენტალური მრუდი მიღებულია 7 დღის ნიმუშის გამოცდის შედეგად. თავდაპირველად, ანგარიშებში მიღებული იქნა დრეკადობის  $E$  მოდულის მუდმივი მნიშვნელობა, მაგრამ

უფრო ზუსტი შედეგები მიიღება, როცა გამივიყენებოთ  $E(t)$  –ს ცვლად მნიშვნელობებს, დამოკიდებულს  $t$  დროზე.

ნახ. 2.7 -ზე მოცემულია ცოცვადობის დეფორმაცია, რომელიც მიღებულია 28 დღის ასაკის ბეტონის ნიმუშის გამოცდის შედეგად.



ნახ. 2.6: ცოცვადობის დეფორმაციების ანგარიში  $\sigma(t) = 7,0$  მპა-ის დროს.



ნახ. 2.7: ცოცვადობის დეფორმაციების ანგარიში  $\sigma(t) = 1,1$  მპა-ის დროს.

უნდა აღინიშნოს, რომ თეორიული მოდელის მიხედვით ცოცვადობის პროცესი სტაბილირდება დახლოებით  $180 - 540$  დღეში ( $0,5 - 1,5$  წელი). ექსპერიმენტები კი აჩვენებენ, რომ ეს პროცესი უფრო დიდხანს გრძელდება. ამიტომ საჭიროა შემდგომი კალებები, რათა მოხდეს თეორიული და ექსპერიმენტული შედეგების კარგი კორელაცია.

#### 2.1.4. გზაპირის წარმოშობის და გავრცელების ანალიზი

რღვევის მექანიკის ამოცანების მოდელირების მთავარი პრობლემა არის ბზარის წვეროში გაჩენილი უსასრულო სიდიდის ძაბვა [23]. ეს ხდება იმიტომ, რომ ძაბვის/დეფორმაციის  $r^{-1/2}$  ხარისხის სინგულარობა ( $r$  არის ბზარის წვეროდან) ჩნდება ბზარის წვეროს სიახლოვეს. ამის გამო, სასრული ელემენტების ძალიან ხშირი ბადის გამოყენებაც კი არ იძლევა სასურველ სიზუსტეს. ხშირად იყენებენ სპეციალურ ბზარის წვეროს ელემენტებს პრობლემის მოსახსნელად. ამის ალტერნატული მიდგომაა, შეიცვალოს ასეთი ელემენტი მოდიფიცირებული იზოპარამეტრული კვადრატული სასრულო ელემენტებით [24, 25] და იზოპარამეტრული კვადრატული სასაზღვრო ელემენტებით [26, 27] გარკვეული კვანძების ადგილის შეცვლის გზით. ასეთი ელემენტების გამოყენება აღარ ხდის აუცილებელს შემოვიყვანოთ საანგარიშო სქემაში ბზარის წვეროს ელემენტები და ეს ამარტივებს ძაბვის ინტენსივობის ფაქტორის გამოთვლას ბზარის წვეროსთან. გარდა ამისა, აღარ არის აუცილებელი ძალიან ხშირი ბადის შექმნა ბზარწარმოქმნის ზონაში ზუსტი ამონახსნის მისაღებად.

რღვევის მექანიკის თეორიები გულისხმობს, რომ ბზარის წვეროსთან ძაბვები არის უსასრულო და ისინი ხასიათდებიან ძაბვის ინტენსიონის ფაქტორით K. როდესაც აღწევს კრიტიკულ მნიშვნელობას (რომელიც ცნობილია როგორც K<sub>c</sub> ან რღვევის სიბლანტი), ჩნდება კატასტროფული

ბზარი ან სწრაფი რდგევა. რდგევის სიბლანტე  $K_c$  არის მასალის მექანიკური მახასიათებელი, რომელიც არ არის დამოკიდებული ნაგებობის გეომეტრიაზე ან დატვირთვის სახეობაზე. ძაბვის ინტენსიობის ფაქტორი არ არის ძაბვა თავისთავად. ის ზომავს იმას, თუ რამდენად ახლოს არის ბზარი თავის კრიტიკულ სიგრძესთან, როდესაც ის იწყებს წარმოშობას ნაგებობაში.

ცნობილია რდგევის სამი კლასიკური ფორმა, რომლებიც ეფუძნება ბზარის გვერდების ფარდობით მოძრაობას: (1) ბზარის გახსნის ფორმა (ფორმა I); (2) ბზარის დაცურების ფორმა (ფორმა II) და (3) ბზარის გახსნის ფორმა (ფორმა III). ამ სამიდან პირველი ორი მისაღებია გრავიტაციული კაშხლებისათვის, თუმცა ფორმა I არის ყველაზე მნიშვნელოვანი, რადგანაც უმრავლეს შემთხვევებში გრავიტაციული კაშხლების ტანჟი ბზარები ჩნდება გამჭიმავი ძაბვების ზონაში (მაგალითად, კაშხლის ინტერფეისებთან და კაშხალსა და ფუძეს შორის კონტაქტში).

ნაშრომ [28]-ში მოყვანილია გამოსახულებების მთელი სერია ძაბვებისა და გადაადგილებებისათვის ბზარის წვერთან. ძაბვის ინტენსიობის ფაქტორი  $K$  იანგარიშება ძაბვის და გადაადგილების ექსტრაპოლირების შემდეგი მეთოდებით.

ა) გადაადგილების ექსტრაპოლირების მეთოდი (ბრტყელი ძაბვითი მდგრამარეობა):

$$K_I = \frac{E\sqrt{2\pi}}{4(1-v^2)} \left( \frac{u_2}{\sqrt{r}} \right)_{r \rightarrow 0} \quad (3.33)$$

$K_I$  – ს ზუსტი მნიშვნელობის მიღების მაგივრად  $r=0$  – თან, აიგება  $K_I$  – ს მნიშვნელობების და  $r$  მანძილებს შორის დამოკიდებულება (3.33) – ის მიხედვით და გამოიყენება სწორი ხაზის ექსტრაპოლირება  $K_I$  – ის მისაღებად ბზარის წვერთან ( $r=0$ ).

ბ) ძაბვის ექსტრაპოლირების მეთოდი (ბრტყელი დეფორმაცია):

$$K_I = \sqrt{2\pi} \left( \frac{\sigma_{22}}{\sqrt{r}} \right)_{r \rightarrow 0} \quad (3.34)$$

როგორც წინა შემთხვევაში, აიგება  $K_I$  –ს მნიშვნელობების და  $r$  მანძილებს შორის დამოკიდებულება (3.34) – ის მიხედვით და გამოიყენება სწორი ხაზის ექსტრაპოლირება  $K_I$  –ის მისაღებად ბზარის წვერთან ( $r=0$ ).

- ანალიზის შედეგები – პარამეტრული კვლევები ძაბვის ინტენსივობის ფაქტორების საანგარიშოდ

პარამეტრული კვლევების ერთი ძირითადი მიზანი იყო დადგენილიყო ინტერფეისების იზოპარამეტრული კვადრატული სინგულარული სასრული ელემენტების და კვადრატული სინგულარული სასაზღვრო ელემენტების რიცხვითი მდგრადობა და საიმედოობა ბზარის წვერთან. მეორე მიზანი იყო კვადრატული სინგულარული სასრული ელემენტების და კვადრატული სინგულარული სასაზღვრო ელემენტების ოპტიმალური ზომების დადგენა ბზარის წვეროს სიახლოვესთან.

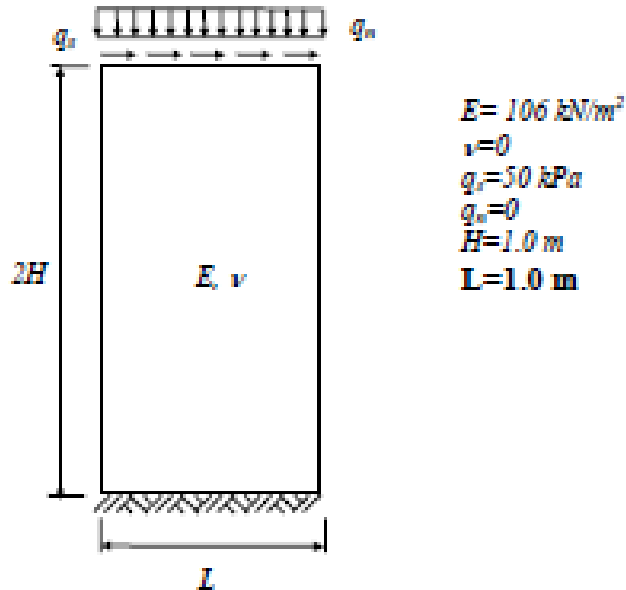
ანალიზი ჩატარდა დრეკად ბლოკს, რომელზეც მოდებული არის თანაბრადგანაწილებული მხები დატვირთვა ზედა წახნაგზე. ანგარიშების დროს გამოყენებული ბლოკის გეომეტრია, მასალის მექანიკური თვისებები და მოდებული ძალები ნაჩვენებია ნახ. 2,8 ა ზე.

ჩატარდა დაახლოებით 400 კომპიუტერული გამოთვლა სხვადასხვა შემთხვევებისთვის. გამოყენებული სხვადასხვა სასრული ელემენტების – სასაზღვრო ელემენტების მეთოდი. ანგარიშები ჩატარდა ბლოკში არსებული ბზარის სხვადასხვა ზომებისთვის. ბზარი განთავსებული იქნა როგორც ბლოკის შუაში, ასევე მის ძირში (ნახ. 2,8 ბ და ნახ. 2,8 გ).

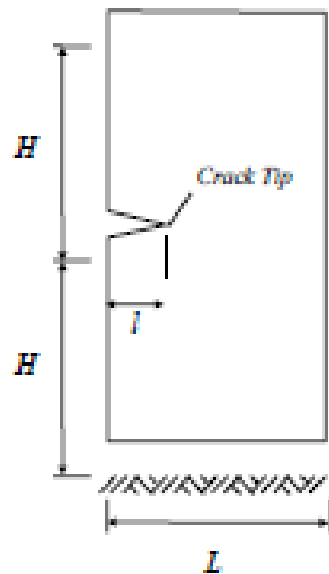
ანგარიშები დაიწყო დრეკად ბლოკში ბზარის ცენტრში განთავსებით. ძაბვის ინტენსივობის ფაქტორი  $K_I$  გაანგარიშებული იქნა 8-კვანძიანი

კვადრატული სინგულარული სასრული ელემენტების და 8-კვანძიანი კვადრატული სინგულარული სასაზღვრო ელემენტების გამოყენებით.

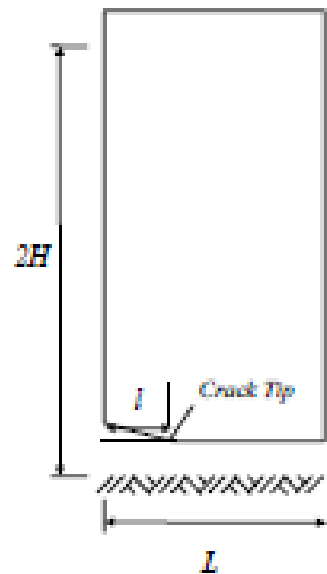
a). დოკუმენტი მდლოვი ხის ფენები



b). ძარის მდლოვი შესახებ



c). ძარის მდლოვი ფენები

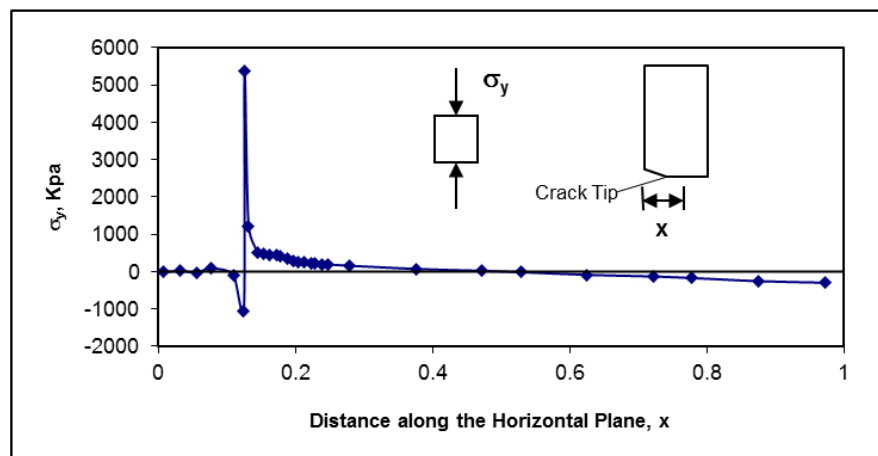
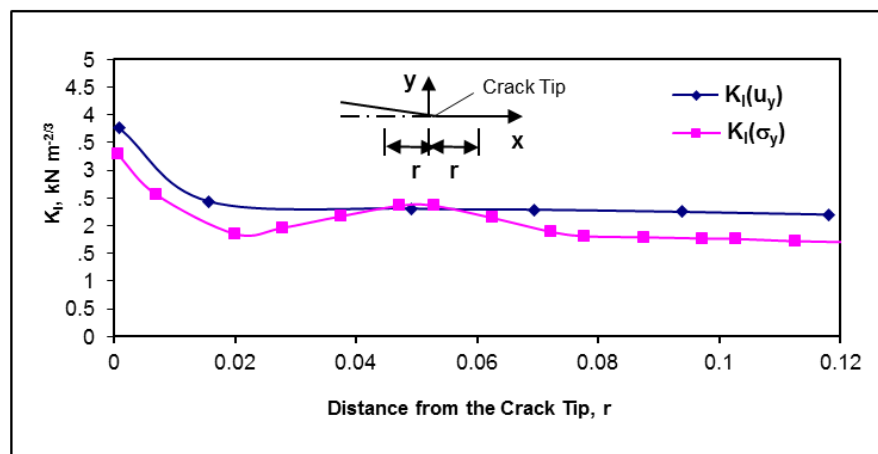
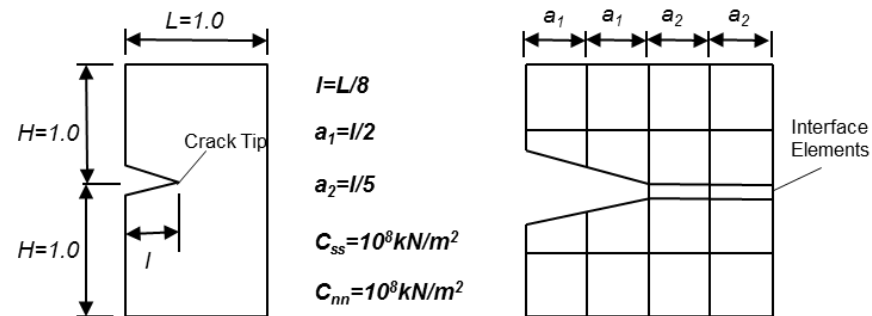


ნახ. 2.8: ძარის დრეკად მდლოვები.

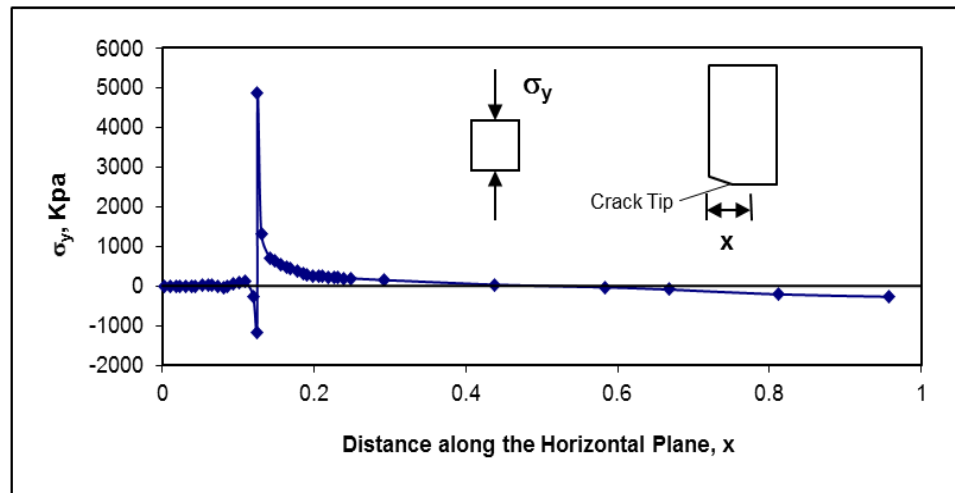
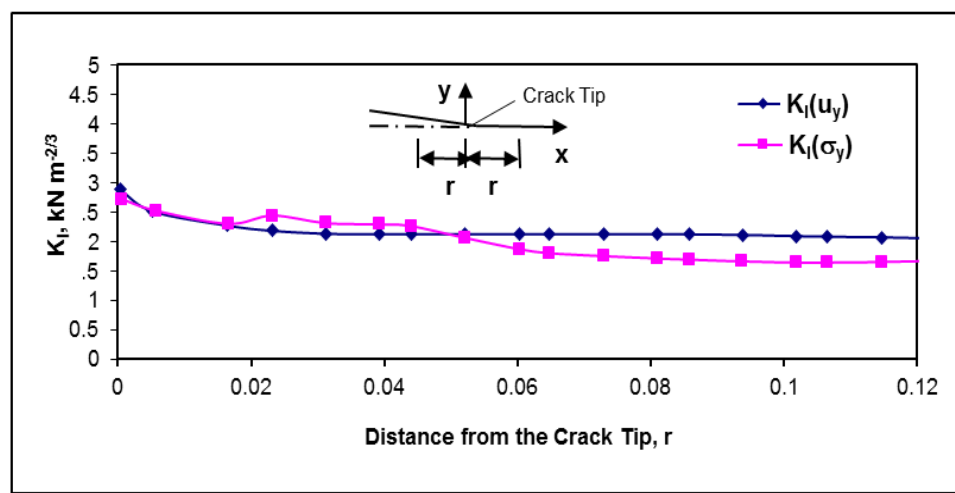
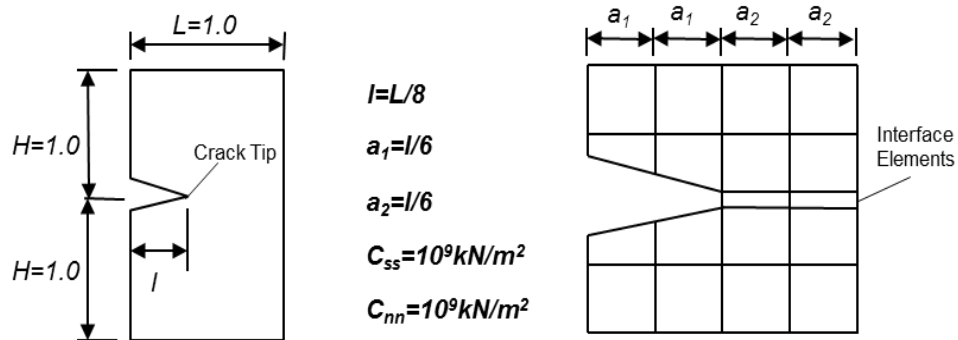
სინგულარული ელემენტები განთავსებული იქნა ბზარის გასწვრივ მისი წვეროს ორივე მხარეს. ბზარის ახლოს გამოყენებული იქნა ხშირი ბადე, განსაკუთრებულად უფრო პატარა ზომის ელემენტები განთავსდა ბზარის წვეროს გარშემო. როგორც საწყისი მნიშვნელობა, ინტერფეისის ელემენტებისთვის ნორმალური და მხები სისისტის კოეფიციენტები აღებული იქნა  $C_{nn}=C_{ss}=10^8 \text{ კნ/მ}^3$ .

თავდაპირველად ჩაითვალა, რომ ბზარის სიგრძე  $\ell=L/8$ , სადაც  $L$  არის ბლოკის სიგანე. ანგარიშები დაიწყო იმ დაშვებით, რომ  $a_1 = a_2 = l/2$  და მომდევნო ანგარიშებში ის მცირდებოდა  $l/5$ - დე (ნახ. 2.9 და 2.10). ძაბვის ინტენსივობის ფაქტორი  $K_I$ -ს მნიშვნელობები გაანგარიშებული იქნა ორივე, გადაადგილების და ძაბვის ექსრაპოლირების მეთოდებით. უნდა აღინიშნოს, რომ თავდაპირველად  $K_I$  -ს მნიშვნელობები, რომლებიც მიღებული იქნა ნორმალური უ გადაადგილებების გამოყენებით, მიყვანილი იქნა იმ მნიშვნელობებამდე, რომლებიც მიღებული იქნა ნორმალური  $\sigma$  ძაბვების გამოყენებით. მიუხედავად ამისა, როდესაც  $a_2$ -ის მნიშვნელობა ტოლი იყო  $l/5$ -ის,  $K_I$  -ს მნიშვნელობები, მიღებულები ორი ალტერნატული მეთოდით, განსხვავდებოდნენ ერთმანეთისაგან (ნახ. 2.9. ამის მიზეზი შეიძლება იყოს ინტერფეისის ელემენტების ნორმალური და მხები სისისტის კოეფიციენტების მნიშვნელობები, რომლებიც აღებული იქნა  $C_{nn}=C_{ss}=10^8 \text{ კნ/მ}^3$ -ის ტოლი. ეს მნიშვნელობები აღებული იქნა ნაშრომი [28]-დან. მაგალითად, დადგენილი იქნა, რომ ინტერფეისის ელემენტები რიცხობრივად მდგრადია, როდესაც ნორმალური და მხები სისისტის კოეფიციენტების მნიშვნელობები ტოლია  $C_{nn}=C_{ss}=10^8 \text{ კნ/მ}^3$  -ის, როდესაც ბზარი განთავსებულია ბლოკის შუაში. მიუხედავად ამისა, ძაბვის მაღალი მნიშვნელობები ჩნდება ბზარის წვეროს სიახლოვეს, მაგრამ ეს შეიძლება არ იყოს რეალური. ამის გამო, ანგარიშების შემდეგ ეტაპებზე გადაწყდა გაზრდილიყო  $C_{nn}$  და  $C_{ss}$  -ს მნიშვნელობები  $10^9 \text{ კნ/მ}^3$  -დე.

ძაბვის ინტენსივობის ფაქტორი  $K_I$  -ს მნიშვნელობები, რომლებიც გაანგარიშებული იქნა ორივე, გადაადგილების და ძაბვის



ნახ. 2.9: ძაბვის ინტენსივობის  $K_I$  ფაქტორის გაანგარიშება.



ნახ. 2.10: ძაბვის ინტენსივობის  $K_I$  ფაქტორის გაანგარიშება.

ექსტრაპოლირების მეთოდებით, დაუახლოვდნენ ერთმანეთს როდესაც  
 $C_{nn}=C_{ss}=10^9 \text{ კნ/მ}^3$ .

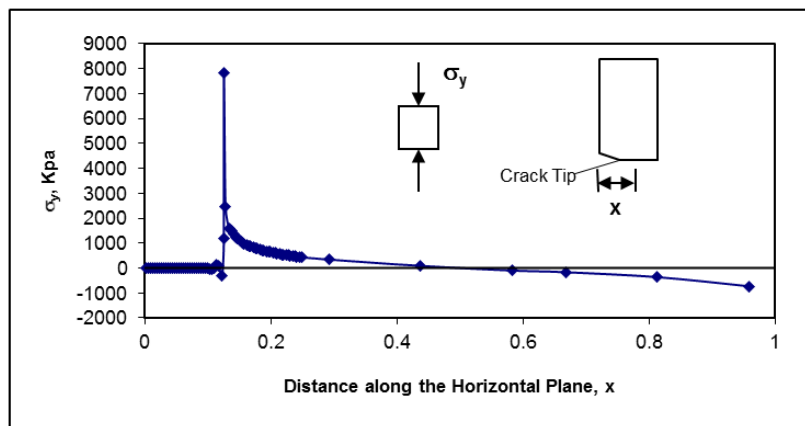
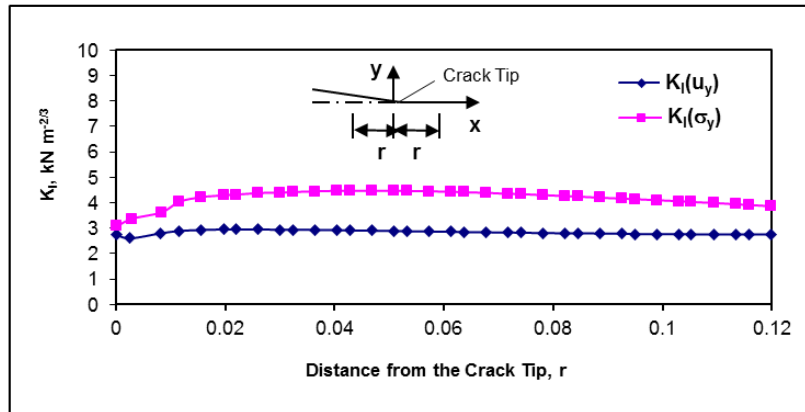
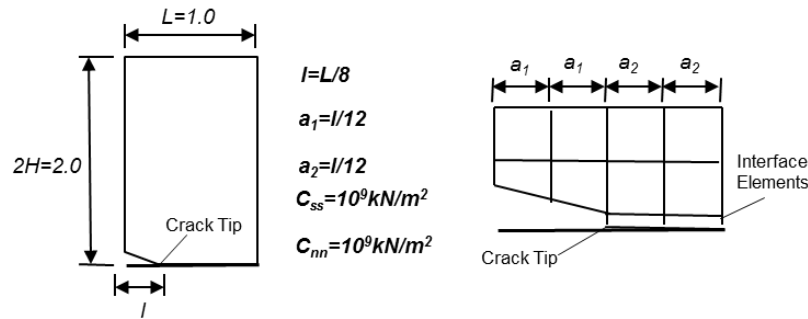
ეს შედეგები კარგად ემთხვევა იმ შედეგებს, რომლებიც მიღებულია 8-კვანძიანი იზოპარამეტრული კვადრატული სინგულარული სასრული ელემენტების გამოყენებისას.

აქედან გამომდინარე, შეიძლება გაკეთდეს დასკვნა, რომ ინტერფეისის იზოპარამეტრული კვადრატული სინგულარული სასრული ელემენტები შეიძლება წარმატებით იქნას გამოყენებული დრეკად სხეულებში ბზარების გაჩენისა და გავრცელების დამოდელირების ამოცანებში.

ანგარიშების შემდეგ ეტაპზე ბზარი განთავსდა დრეკადი ბლოკის ფუძეში. ინტერფეისის ელემენტებისთვის ნორმალური და მხები სიხისტის კოეფიციენტები აღებული იქნა  $C_{nn}=C_{ss}=10^9 \text{ კნ/მ}^3$ . დაშვებული იქნა, რომ ბზარის სიგრძე არის  $l=L/8$ , სადაც  $L$  არის ბლოკის სიგანე. ანგარიშები დაიწყო  $a_1 = a_2 = l/2$  -ის შემთხვევისთვის და ანგარიშების შემდგომ საფეხურებზე სასრული ელემენტების ბადე ხშირდებოდა  $a_1 = a_2 = l/3, l/4, l/5, l/6, l/8, l/10$  და  $l/12$  -ის მიხედვით (ნახ. 2.11). ძაბვის ინტენსივობის ფაქტორი  $K_I$  -ს მნიშვნელობები გაანგარიშებული იქნა ორივე, გადაადგილების და ძაბვის ექსტრაპოლირების მეთოდებით.

მიუხედავად იმისა, რომ ბზარის წვეროსთან საკმაოდ მაღალი სიხშირის მადეა,  $K_I$  -ის მნიშვნელობები, რომლებიც მიღებულია ნორმალური  $u_y$  გადაადგილებების საშუალებით, აჩვენებს ნაკლებ გაბნევას, ვიდრე ის მნიშვნელობები, რომლებიც მიღებულია ვერტიკალური  $\sigma_y$  ძაბვების საშუალებით. ბზარის წვეროსთან სასრული ელემენტების ბადის სიხშირის თანდათანობითი გაზრდის შემდეგ, ძაბვის ინტენსივობის ფაქტორი  $K_I$  -ს მნიშვნელობები უახლოვდება გადაადგილების და ძაბვის ექსტრაპოლირების მეთოდებით მიღებულ ანალოგიურ მნიშვნელობებს (ნახ. 2.11).

უნდა აღინიშნოს, რომ სასრული ელემენტების ბადის სისტემის აუცილებელი ხარისხი, რომელიც საჭიროა მაღალი სიზუსტის შედეგების



ნახ. 2.11: ძაბვის ინტენსივობის  $K_I$  ფაქტორის გაანგარიშება.



მისაღებად, უფრო მაღალია, ვიდრე იმ შემთხვევისთვის, როდესაც ბზარი განთავსებულია ბლოკის შუაში. ეს გამოწვეულია ძაბვის უფრო მაღალი მნიშვნელობით ბლოკის ფუძეში.

შეიძლება დავასკვნათ, რომ გადაადგილების ექსტრაპოლირების მეთოდი უფრო უხეში ბადის შემთხვევაშიც კი იძლევა  $K_I$  -ის უფრო მისაღებ სიდიდეებს, ვიდრე ძაბვის ექსტრაპოლირების მეთოდი. მიუხედავად ამისა, როდესაც ბზარი განთავსებულია ბლოკის ფუძეში, ბადის სიხშირის აუცილებელი ხარისხი გაცილებით მაღალია, ვიდრე იმ შემთხვევაში, როდესაც ბზარი ბლოკის შუაშია. ეს შედეგები კარგად ემთხვევა იმათ, რომლებიც მიღებულია რვაკვანძიანი იზოპარამეტრული კვადრატული სინგულარული სასრული ელემენტების გამოყენებით. აქედან შეიძლება დავასკვნათ, რომ ინტერფეისის იზოპარამეტრული კვადრატული სინგულარული სასრული ელემენტები წარმატებით შეიძლება გამოყენებული იქნან დრეკადი სხეულის ფუძეში ბზარის წარმოშობისა და გავრცელების ამოცანის მოდელირებაში.



### 3. ნები სტატიკური ციკლური დატვირთვების და ბეჭრის ასაპის ბავლენა არსებული ბრაზიტაციული პაშჩლის დაძაბულ-დეფორმირებულ მდგომარეობაზე

გარდა ძირითადი შეთანწყობისა და შესაძლო განსაკუთრებული შეთანწყობის ძალებისა, არსებული კაშხლების დაძაბულ-დეფორმირებულ მდგომარეობაზე შესამჩნევ გავლენას ახდენს ნაგებობის ასაკი და ჰიდროსტატიკური დაწნევის სიდიდის პერიოდული ცვლილება ნაგებობის ექსპლუატაციის ისტორიის განმავლობაში. ამ უკანასკნელში იგულისხმება წყალსაცავის რეგულირების გრაფიკი, რომლის მიხედვითაც წყალსაცავი გარკვეული პერიოდულობით ივსება და იცლება. ბუნებრივია ეს პრობლემა დგას მარეგულირებელი წყალსაცავების შემთხვევაში. ჰიდროსტატიკური დაწნევის ცვლილების გავლენა კაშხლების მუშაობაზე მით უფრო შესამჩნევია, რაც უფრო მაღალია კაშხალი.

არსებული პრობლემა პირველად განხილული იქნა [30, 31] – ში. ჩვენს მიერ მოხდა ამ თეორიის მორგება კონკრეტული ნაგებობითვის. ფაქტიურად ამ ნაშრომში პირველად არის მცდელობა დაყვანილი იქნას თეორიული მოსაზრებები პრაქტიკულ გამოყენებამდე. გარდა ამისა, შეტანილი იქნა გარკვეული კორექტივები პროცესის განმსაზღვრელ განტოლებაში, მასში შემავალი ზოგიერთი კოეფიციენტის დაზუსტების მხრივ.

ქვემოთ მოყვანილია ბრტყელი დეფორმაციის პირობებში ბეტონის განმსაზღვრელი მოდელის მოდიფიცირების სქემა, რომლის შედეგად შესაძლებელია გათვალისწინებული იქნას ნელი სტატიკური ციკლური დატვირთვების და ბეტონის ასაკის (ეიჯინგი) გავლენა გრავიტაციული კაშხლის დაძაბულ-დეფორმირებულ მდგომარეობაზე. უკრადღება ძირითადათ გამახვილებულია ბეტონის მექანიკური მახასიათებლების მნიშვნელობების დამოკიდებულებაზე ზემოდ აღნიშნულ პროცესებზე.

ეს მიდგომა საშუალებას იძლევა მხედველობაში მივიღოთ ბეტონის სიმტკიცის შემცირების ეფექტი (დაღლილობა) ციკლური დატვირთვების დროს, აგრეთვე ასაკის ეფექტი ბეტონის სიმტკიცეზე. კონკრეტულად, ბეტონის სიმტკიცე ერთდღერძა კუმშვის დროს  $\sigma_c$  განტოლებებში 2.2, 2.9 და 2.18, შეიძლება შეიცვალოს ბეტონის სიმტკიცით, რომელიც მოდიფიცირებულია დატვირთვა-განტვირთვის თ ციკლებისა და კაშხლის ექსპლუატაციის  $t$  პერიოდის გათვალისწინებით:

$$\sigma_c = \sigma_c(n, t) \quad (3.1)$$

ფარდობითი  $\varepsilon_c$  დეფორმაციის მნიშვნელობა, რომელიც შესაბამება ბეტონის მაქსიმალურ ნორმალურ მკუმშავ ძაბვას, შეიძლება მოდიფიცირდეს დატვირთვა-განტვირთვის თ ციკლებისა და კაშხლის ექსპლუატაციის პერიოდის  $t$  შესაბამისად:

$$\varepsilon_c = \varepsilon_c(n, t) \quad (3.2)$$

ცნობილია აგრეთვე, რომ ციკლური დატვირთვა იწვევს ბეტონის სიხისტის შემცირებას. ამავე დროს, დროთა განმავლობაში დრეკადობის მოდული იზრდება. ეს ორი ეფექტი მიიღება მხედველობაში შემოთავაზებულ მიდგომაში ბეტონის საწყისი დრეკადობის მოდულის მოდიფიცირებით დატვირთვა-განტვირთვის თ ციკლების კაშხლის ექსპლუატაციის პერიოდის  $t$  შესაბამისად:

$$E_0 = E_0(n, t) \quad (3.3)$$

ციკლური დატვირთვები. ციკლური დატვირთვა იწვევს ნაგებობის მნიშვნელოვან არაწრფივ მუშაობას და მასალის მექანიკური მახასიათებლების საგრძნობ ცვლილებას. შედეგად ვლებულობთ იმას, რომ

დატვირთვა-განტვირთვის (წყალსაცავის ავსება-დაცლა) ციკლების რიცხვის გაზრდის შედეგად საგრძნობლას მცირდება ბეტონის მექანიკური მახასიეთებელი – დრეკადობის მოდული.

ნაშრომში ვეყრდნობით იმ ემპირიკულ დამოკიდებულებებს, რომლებიც მიღებული იყო ექსპერიმენტული კვლევების შედეგად და გამოქვეყნებულია [32]-ში. ექსპერიმენტები ჩატარდა ენგურის თაღოვანი კაშხლიდან ამოღებულ ბეტონის ნიმუშებზე, რომლებიც პერიოდულად იტვირთებოდა-განიტვირთებოდა ნელი ციკლური მკუმშავი დატვირთვებით. ცდების შედეგების ინტერპოლირების შემდეგ, შედგა ქვემოდ მოყვანილი დამოკიდებულებები, რომლებიც აღწერენ ბეტონის მახასიათებლების გაუარესების პროცესს დატვირთვა-განტვირთვის ციკლებთან დამოკიდებულებაში.

$$\begin{aligned}\sigma_c(n) &= (1 - a_\sigma^n \lg n) \sigma_c \\ E_0(n) &= (1 - a_E^n \lg n) E_0 \\ \varepsilon_c(n) &= (1 - a_\varepsilon^n \lg n) \varepsilon_c\end{aligned}\tag{3.4}$$

სადაც  $a_\sigma^n, a_E^n$  და  $a_\varepsilon^n$  პარამეტრები აღწერენ ბეტონის მახასიათებლების გაუარესების პროცესს ციკლური დატვირთვების დროს. ი არის დატვირთვა-განტვირთვის ციკლების რაოდენობა, რომელიც შეესაბამება კაშხლის ექსპლუატაციის პერიოდში წყალსაცავის ავსება-დაცლის ციკლების რაოდენობას.

გამოკვლევებმა დაგვანახა, რომ ზემოდ მოყვანილი პარამეტრების მნიშვნელობები შეიძლება იცვლებოდეს გარკვეულ ფარგლებში ბეტონის სხვადასხვა კლასისათვის და მათი კონკრეტული მნიშვნელობები შეიძლება მიღებული იქნას მხოლოდ ბეტონის ნიმუშების ციკლურ დატვირთვებზე გამოცდის შედეგად. კონკრეტულად, ხსნებული პარამეტრების მნიშვნელობები იცვლება შემდეგ დიაპაზონებში:

$$\begin{aligned} 0,05 \leq a_{\sigma}^n &\leq 0,25 \\ 0,10 \leq a_E^n &\leq 0,30 \\ 0,10 \leq a_{\varepsilon}^n &\leq 0,30 \end{aligned} \quad (3.5)$$

ამ ნაშრომში გამოყენებილია [32]-ში მოყვანილი კონკრეტული რიცხვითი მნიშვნელობები. საინტერესოა აღინიშნოს, რომ მასალის პარამეტრების გაუარესების მაჩვენებელი და ბეტონის სიმტკიცე პირდაპირ დამოკიდებულია ძაბვით მდგომარეობაზე, ე.ი. ბეტონის ნიმუშის დატვირთვის სიდიდეზე. მაგალითად, ბეტონის ნიმუშის დრეკადობის მოდულის მნიშვნელობა შემცირდა 51,5% -ით (39780-დან 19300 მპა-დე) 150 დატვირთვა-განტვირთვის ციკლის მოდების შემდეგ, როდესაც მოდებული ძალისგან გამოწვეული ძაბვა ტოლი იყო  $0.2\sigma_c$ -ის, სადაც  $\sigma_c$  არის ბეტონის სიმტკიცე ერთდევრძა კუმშვის დროს.

როდესაც მოდებული ძალისგან გამოწვეული ძაბვა ტოლი იყო  $0.5\sigma_c$ -ის ბეტონის ნიმუშის დრეკადობის მოდულის მნიშვნელობა შემცირდა 29,3% -ით (33390-დან 23620 მპა-დე) 150 დატვირთვა-განტვირთვის ციკლის მოდების შემდეგ და როდესაც მოდებული ძალისგან გამოწვეული ძაბვა ტოლი იყო  $0.8\sigma_c$ -ის ბეტონის ნიმუშის დრეკადობის მოდულის მნიშვნელობა შემცირდა 20,9% -ით (28390-დან 22500 მპა-დე) იგივე რაოდენობის დატვირთვა-განტვირთვის ციკლის მოდების შემდეგ.

ნაშრომში ჩვენ გამოვიყენეთ ზემოდ მოყვანილი კოეფიციენტების გასაშუალოებული მნიშვნელობები, რომლების კარგად აღწერენ ნაგებობის რეალურ მუშაობას ციკლური დატვირთვების დროს.

აქვე უნდა აღინიშნოს, რომ მასალის მახასიათებლების და ბეტონის სიმტკიცის გაუარესების ხარისხი სტატიკური ციკლური დატვირთვების დროს დამოკიდებულია აგრეთვე გამოსაცდელი ბეტონის ნიმუშის ასაკზე. მაგალითად, 28 დღის ასაკის ბეტონის ნიმუშის დრეკადობის მოდულის მნიშვნელობა შემცირდა 51,5%-ით (39780-დან 19300 მპა-დე) 150 დატვირთვა-განტვირთვის ციკლის მოდების შემდეგ და როდესაც მოდებული ძალისგან



გამოწვეული ძაბვა ტოლი იყო  $0.2\sigma_c$  -ის. ამავე დროს, 365 დღის (1 წელიწადი) ასაკის ბეტონის ნიმუშის დრეკადობის მოდულის მნიშვნელობა შემცირდა 49,0%-ით (39830-დან 21750 მპა-დე) 150 დატვირთვა-განტვირთვის ციკლის მოდების შემდეგ და როდესაც მოდებული ძალისგან გამოწვეული ძაბვა ტოლი იყო  $0.2\sigma_c$  -ის. 1825 დღის (5 წელიწადი) ასაკის ბეტონის ნიმუშის დრეკადობის მოდულის მნიშვნელობა შემცირდა 42,0%-ით (42460-დან 20310 მპა-დე) იგივე რაოდენობის დატვირთვა-განტვირთვის ციკლის მოდების შემდეგ და როდესაც მოდებული ძალისგან გამოწვეული ძაბვა ტოლი იყო  $0.2\sigma_c$  -ის. ეს მონაცემები მიუთითებს სხვაობა არ არის მნიშვნელოვანი და პრაქტიკული მიზნებისათვის ეს შეიძლება იგნორირებული იყოს.

მასალის ასაკი (კოჯინგი) ანალოგიური მიდგომა იქნა გამოყენებული ბეტონის ასაკის გავლენის შესასწავლად გრავიტაციული კაშხლის დაძაბულ-დეფორმირებულ მდგომარეობაზე. ბეტონის მექანიკური მახასიათებლების დროში ცვლილების დასადგენად კვლავ გამოყენებული იქნა ლოგარითმული ფუნქცია. ეს დამოკიდებულებები შეიძლება შემდეგნაირად ჩაიწეროს:

$$\begin{aligned}\sigma_c(t) &= (1 + a_\sigma^t \lg t) \sigma_c \\ E_0(t) &= (1 + a_E^t \lg t) E_0 \\ \varepsilon_c(t) &= (1 + a_\varepsilon^t \lg t) \varepsilon_c\end{aligned}\tag{3.6}$$

სადაც  $a_\sigma^t, a_E^t$  და  $a_\varepsilon^t$  პარამეტრები აღწერენ ბეტონის მახასიათებლების ცვლილების პროცესს ბეტონის ასაკთან დამოკიდებულებაში.  $t$  არის წლების რაოდენობა, რომელიც შეესაბამება კაშხლის ექსპლუატაციის პერიოდს.

გამოკვლევებმა დაგვანახა, რომ ზემოდ მოყვანილი პარამეტრების მნიშვნელობები შეიძლება იცვლებოდეს გარკვეულ ფარგლებში ბეტონის სხვადასხვა კლასისათვის და მათი კონკრეტული მნიშვნელობები

შეიძლება მიღებული იქნას მხოლოდ არსებული ნაგებობიდან სხვადასხვა ასაკის ბეტონის ნიმუშების გამოცდის შედეგად. კონკრეტულად, ხელნებული პარამეტრების მნიშვნელობები იცვლება შემდეგ დიაპაზონებში:

$$\begin{aligned} 0,05 \leq a_{\sigma}^t &\leq 0,15 \\ 0,05 \leq a_E^t &\leq 0,15 \\ 0,05 \leq a_{\varepsilon}^t &\leq 0,10 \end{aligned} \quad (3.7)$$

პარამეტრების აღნისნული მნიშვნელობები მოცემულია [32]-ში და ისინი მიღებულია ენგურის კაშხლიდან სხვადასხვა პერიოდში ამოღებული ნიმუშების გამოცდას. კარგად ჩანს, რომ  $a_{\sigma}^t, a_E^t$  და  $a_{\varepsilon}^t$  პარამეტრების მნიშვნელობები ზოგადად ნაკლებია  $a_{\sigma}^n, a_E^n$  და  $a_{\varepsilon}^n$  - მნიშვნელობებზე. ეს მიუთითებს იმაზე, რომ ასაკის გავლენა ბეტონის ძაბვა-დეფორმაციების მრუდზე ნაკლებია, ვიდრე ციკლური დატვირთვების. მიუხედავად ამისა, აღსანიშნავია, რომ შესაძლებელია არსებობდეს ექსპლუატაციის წლების და ციკლების რაოდენობის სხვადასხვა კომბინაციები. მაგალითად, ექსპლუატაციის პერიოდში წყალსაცავი იცლება და ივსება წელიწადში ერთხელ, მაშინ ციკლების რაოდენობა ემთხვევა ექსპლუატაციის წლების რაოდენობას ( $n=t$ ), მაგრამ, თუ ციკლი წელიწადში ორჯერ ხდება, მაშინ ციკლების რაოდენობა ექსოლუატაციის წლებზე ორჯერ მეტია ( $n=2t$ ).

ბეტონის ზემოდ მოყვანილი მექანიკური მახასიათებლები ჩართული არიან (2.1) კონსტიტუციურ განტოლებაში, რათა შესწავლილი იქნად ბეტონის გადაღლა ციკლური დატვირთვებისა და ასაკის გავლენის შედეგად.

- ანალიზის შედეგები

ანალიზებში ბეტონის ასაკის ეფექტი შესწავლილი იქნა ციკლურ ზემოქმედებებთან ერთად. ანალიზის მიზანი იყო დადგენილიყო, თუ როგორ იცვლებოდა ბეტონის მექანიკური მახასიათებლები ბეტონის

ასაკთან და ნელ სტატიკურ ციკლურ დატვირთვებთან ერთად და რა გავლენას ახდენს ისინი ბეტონის ძაბვა-დეფორმაციების მრუდზე ბრტყელი დეფორმაციის და ბრტყელი დაძაბული მდგომარეობის ფარგლებში. ანალიზები ჩატარდა კუმშვა-კუმშვისა და კუმშვა-გაჭიმვის დატვირთვებისათვის. გაჭიმვა-გაჭიმვის ვარიანტისათვის დაშვებულია, რომ ის ადწერს წრფივად პროცესს და სიმტკიცე გაჭიმვაზე იცვლება კუმშვაზე სიმტკიცის პროპორციულად.

ჯამში ჩატარდა 200-დე კომპიუტერული ანგარიშები  $\alpha$ -ს სხვადასხვა მნიშვნელობებისათვის ( $\alpha$  არის მინიმალური მთავარი მიმართულების დროს ძაბვის მნიშვნელობის ფარდობა და მაქსიმალური მთავარი მიმართულების დროს არსებულ ძაბვასთან), როდესაც  $t=0, 10, 25, 50$  და  $100$ , აგრეთვე როდესაც  $n=t$  და  $n=2t$ .

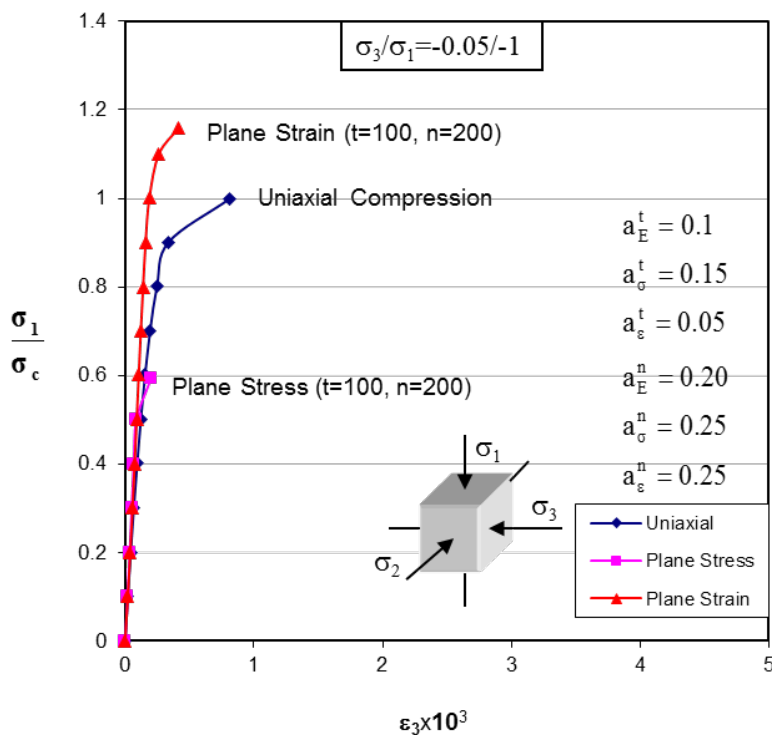
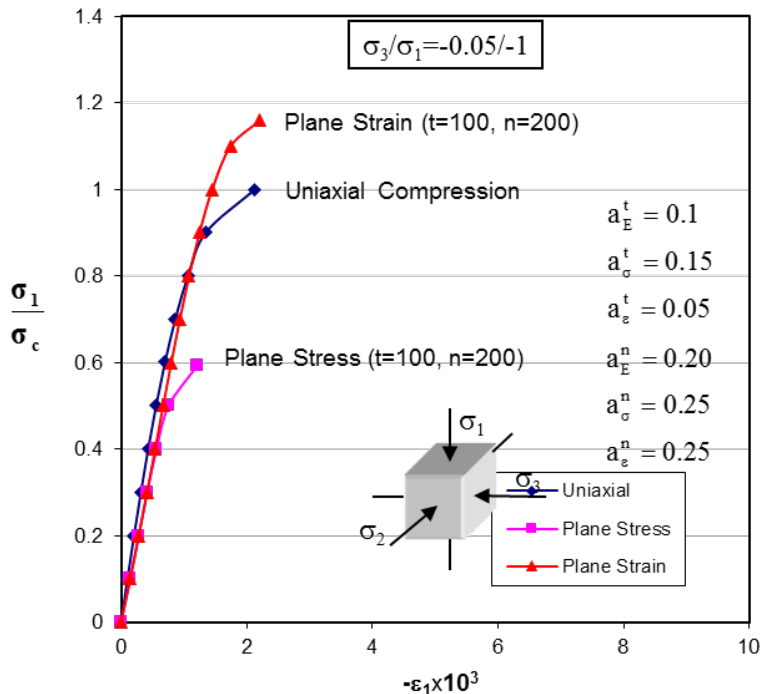
ნახ. 3.1 – 3.4 –ზე მოცემულია ანალიზის შედეგები დატვირთვის სხვადასხვა ფორმების დროს. ზოგადად რიცხვითმა ანგარიშებმა აჩვენა, რომ მასალის მექანიკური მახასიათებლების მნიშვნელოვანი შემცირება ხდება უკვე მაშინ, როდესაც  $n=10$ .

ზოგადი დასკვნა შეიძლება გაკეთდეს შემდეგნაირი: ბეტონის მექანიკური მახასიათებლების გაუარესების ხარისხი იზრდება დატვირთვა-განტვირთვის  $n$  ციკლების გაზრდასთან ერთად. ბეტონის ასაკს აქვს გარკვეული დადებითი ეფექტი ბეტონის მექანიკური მახასიათებლებზე, მაგრამ მათი გაუარესების ხარისხი თრივე ხსენებული ფაქტორის ერთობლივი მოქმედების დროს კვლავ რჩება მნიშვნელოვანი. მაგალითად, როდესაც  $\alpha=-0,15$ ,  $t=100$  and  $n=200$ , ნიმუში ირღვევა და ჩნდება ბზარი ბრტყელი დეფორმაციის მდგომარეობის შემთხვევაში, როდესაც მკუმშავი ძაბვა უტოლდება ერთდერქა კუმშვის დროს ბეტონის სიმტკიცის დაახლოებით 20%-ს.

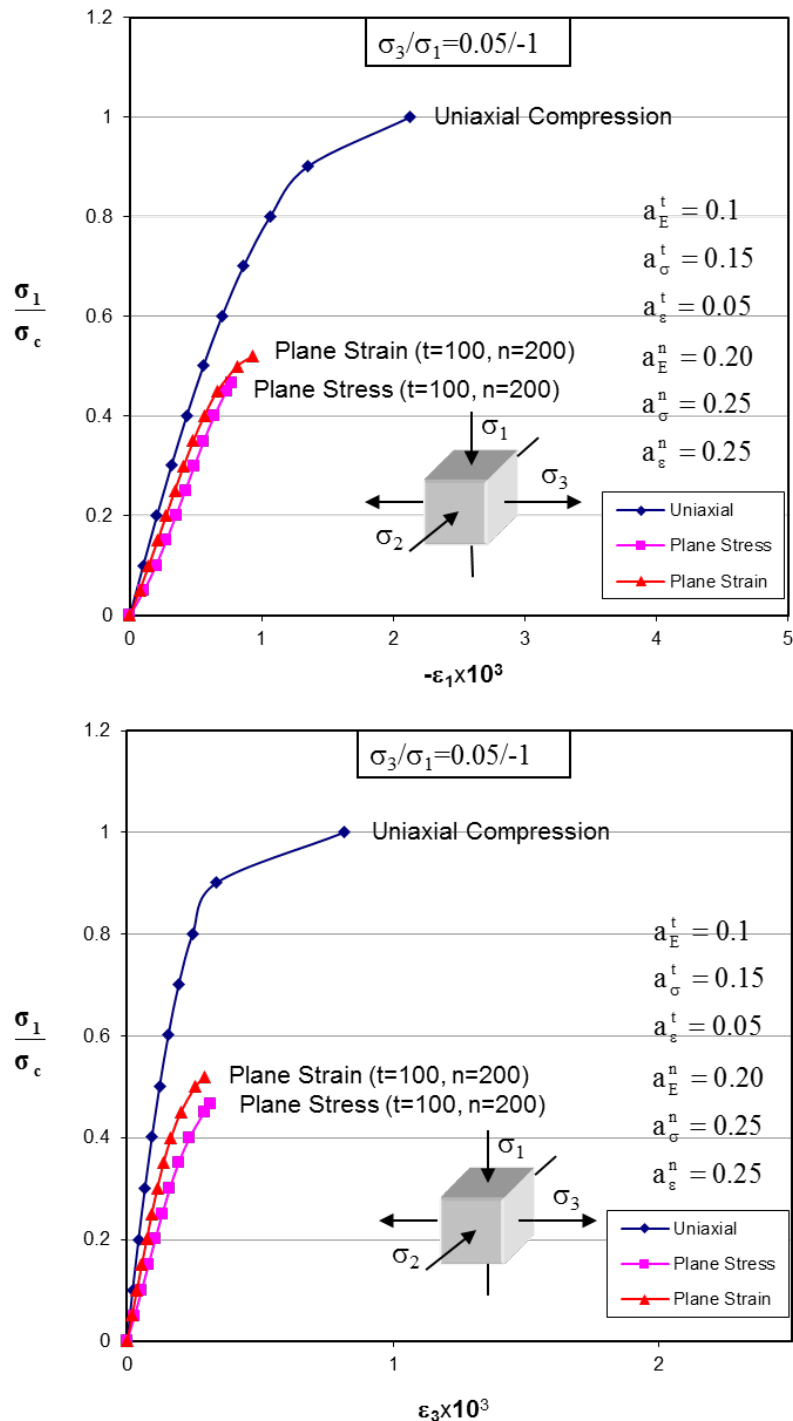
### 3.1. ეტაპი R-4: ციკლური დატვირთვებისა და ბეტონის ასაკის გავლენა ინტერფეისებზე



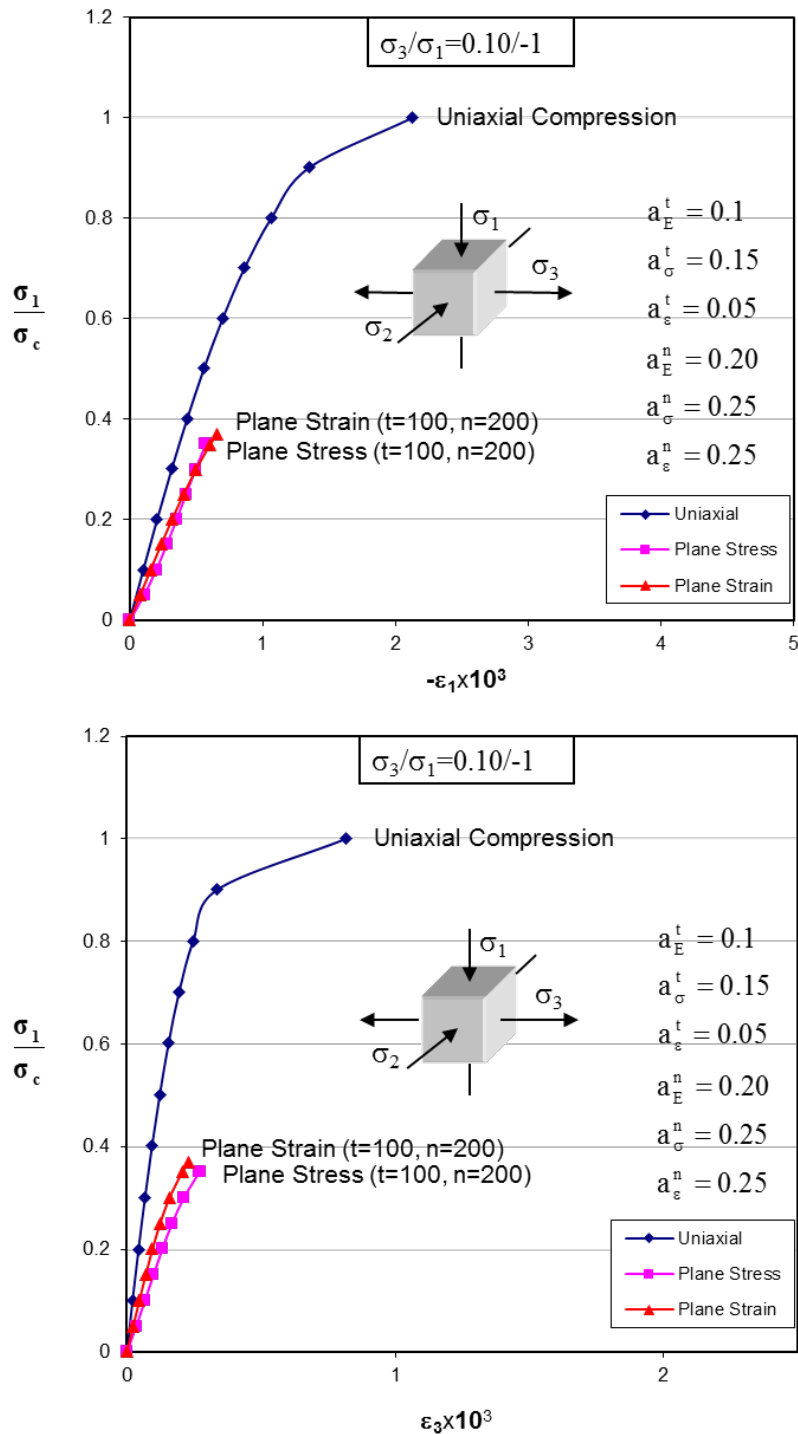
ძვრის ცდებიდან, რომლებიც ითვალისწინებენ აგრეთვე სტატიკურ ციკლურ დატვირთვებს, მხები ძაბვები-ფარდობითი გადაადგილებების მრუდების მიღება საჭაოდ რთულია. ამიტომ ვეყრდნობით წინა პარაგრაფში მოყვანილ ციკლური დატვირთვებისა და ბეტონის ასაკის გავლენის რიცხვით შეფასებებს უშუალოდ კაშხლის ტანზი. შეიძლება დავასკვნათ, რომ დატვირთვა-განტვირთვის ციკლების დიდ რაოდენობა შეამცირებს ინტერფეისების სიმტკიცეს.



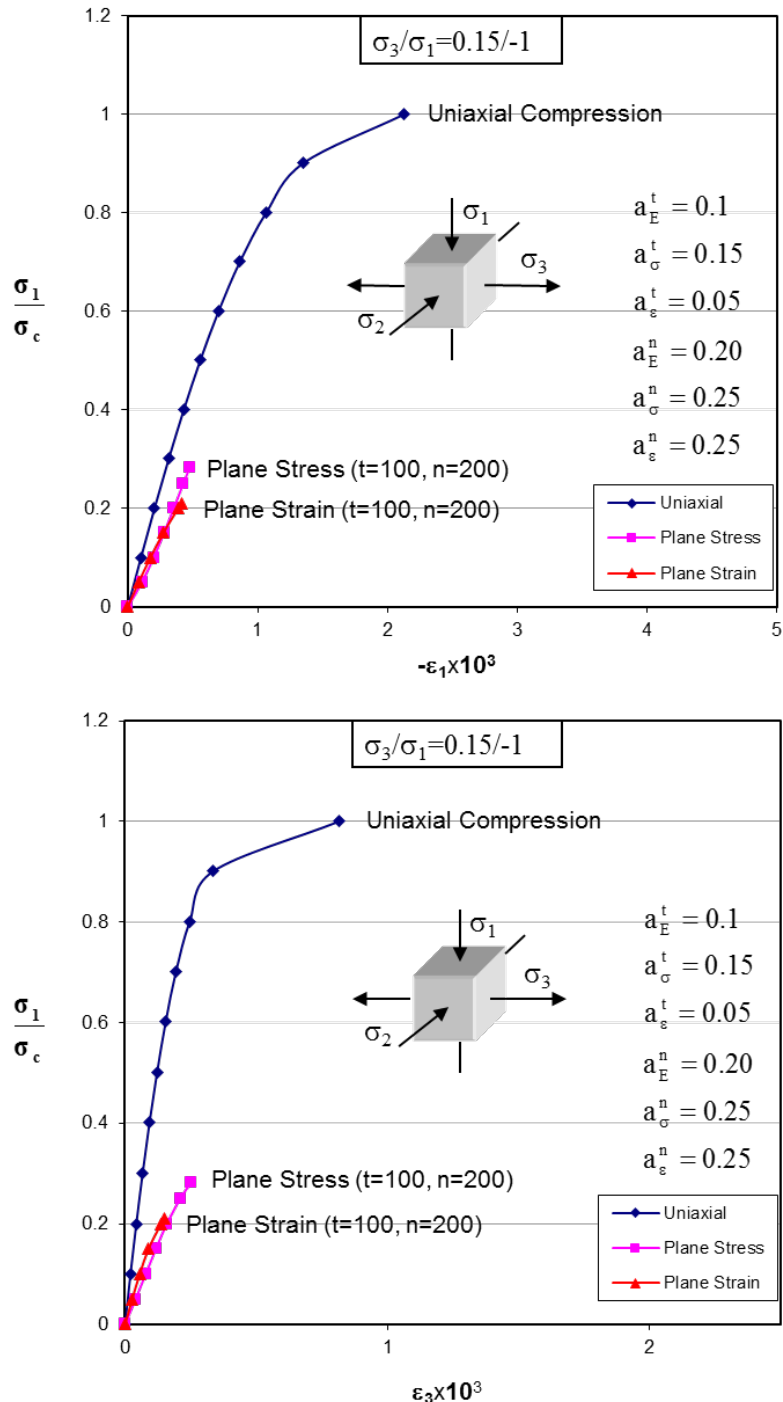
ნახ. 3.1: ბეტონის ერთდეგრძა კუმშვის ცდის, ბრტყელი დამაბული და ბრტყელი დეფორმაციების შედეგების შედარება (კუმშვა-კუმშვა)  $n$  ციკლებისა  $t$  ასაკის მხედველობაში მიხედვით, როდენაც  $\alpha=0,05$ .



ნახ. 3.2: ბეტონის ერთლერძა კუმშვის ცდის, ბრტყელი დაძაბული და ბრტყელი დეფორმაციების შედეგების შედარება (გაჭიმვა-კუმშვა)  $n$  ციკლებისა  $t$  ასაკის შედეგელობაში მიხედვით, როდესაც  $\alpha = -0,05$ .



ნახ. 3.3: ბეტონის ერთდეგრძი კუმშვის ცდის, ბრტყელი დაძაბული და ბრტყელი დეფორმაციების შედეგების შედარება (გაჭიმვა-კუმშვა)  $t$  ციკლებისა და  $\alpha = -0,10$ .



ნახ. 3.4: ბეტონის ერთლერძა კუმულის ცდის, პრტყელი დამაბული და პრტყელი დეფორმაციების შედეგების შედარება (გაჭიმვა-კუმულა)  $n$  ციკლებისა  $t$  ასაკის მხრივებისაში მიხედვით, როდესაც  $\alpha = -0,15$ .

ციკლური დატვირთვის გავლენა  $k_s^0$  ძვრის სიმტკიცეზე შეიძლება გათვალისწინებული იქნას საწყისი ძვრის სიხისტის მოდიფიკაციის გზით  $(k_s^0)^{\sigma_n=0}$  ნულოვანი ნორმალური ძაბვასთან დამოკიდებულებაში. წინა პარაგრაფის ანალოგიურად, შეიძლება გამოვიყენოთ შემდეგი ემპირიკული დამოკიდებულება ნულოვან ნორმალურ ძაბვასთან ასოცირებული  $(k_s^0)^{\sigma_n=0}$  საწყისი ძვრის სიხისტის სიდიდის გარდნის დასადგენად. დატვირთვა-განტვირთვის  $n$  ციკლებთან დამოკიდებულებით ხსენებული დამოკიდებულება ჩაიწერება შემდეგნაირად:

$$(k_s^0)^{\sigma_n=0} = (1 - a_k^n \lg n) (k_s^0)^{\sigma_n=0} \quad (3.8)$$

სადაც:

- $a_k^n$  - პარამეტრი, რომელიც აღწერს ნულოვან ნორმალურ ძაბვასთან ასოცირებული საწყისი ძვრის სიხისტის სიდიდის გარდნას სტატიკური ციკლური დატვირთების დროს;
- $n$  - კაშხლის ექსპლუატაციის შესაბამისი დატვირთვა-განტვირთვის ციკლების რაოდენობა.

სტატიკური ციკლური დატვირთების შედეგად ინტერფეისებში ძვრის სიმტკიცის ვარდნა შეიძლება გათვალისწინებული იქნას  $c$  შეჭიდულობის სიდიდის მოდიფიცირებით (2.30) გამოსახულებაში. ძვრის სიმტკიცის ვარდნა დატვირთვა-განტვირთვის  $n$  ციკლებთან დამოკიდებულებში შეიძლება განისაზღვროს შემდეგი ემპირიკული დამოკიდებულებიდან:

$$\tau_c = c(1 - a_\tau^n \lg n) + \sigma_n \tan \phi \quad (3.9)$$

სადაც:

- $a_\tau^n$  - პარამეტრი, რომელიც აღწერს შეჭიდულობის სიდიდის ვარდნას სტატიკური ციკლური დატვირთების დროს;

ზემოდ ნახსენები კოეფიციენტები იცვლება შემდეგ ფარგლებში:

$$\begin{aligned} 0,10 \leq a_{\tau}^n &\leq 0,25 \\ 0,15 \leq a_k^n &\leq 0,30 \end{aligned} \quad (3.10)$$

ბეტონის ასაკი გათვალისწინებული იქნა ანალოგიური გზით. კერძოდ, ნულოვან ნორმალურ ძაბვასთან ასოცირებული საწყისი ძვრის სიხისტის სიდიდის ვარდნის განისაზღვრება შემდეგი გამოსახულებით:

$$(k_s^0)^{\sigma_n=0} = (1 + a_k^t \lg t) (k_s^0)^{\sigma_n=0} \quad (3.11)$$

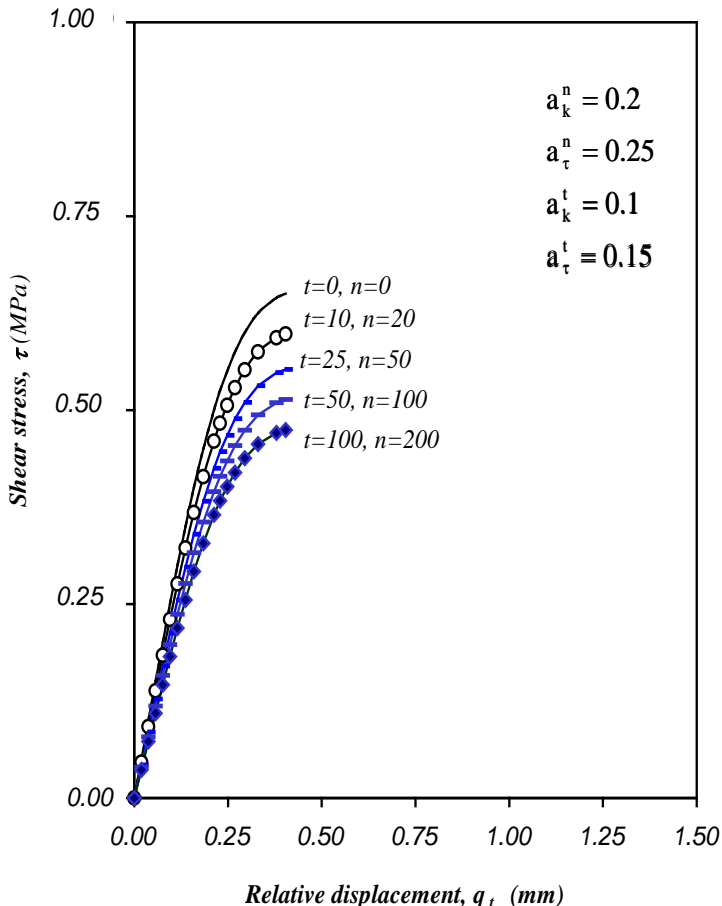
ინტერფეისებში ძვრის სიმტკიცეზე ასაკის გავლენა განისაზღვრება შემდეგი ფორმულით:

$$\tau_c = c(1 + a_{\tau}^t \lg t) + \sigma_n \tan \phi \quad (3.12)$$

შესაბამისი კოეფიციენტების მნიშვნელობები იცვლება შემდეგ ფარგლებში:

$$\begin{aligned} 0,05 \leq a_{\tau}^t &\leq 0,15 \\ 0,10 \leq a_k^t &\leq 0,20 \end{aligned} \quad (3.13)$$

ანგარიშების რამოდენიმე შედეგი მოცემულია ნახ. 3.5 – 3.6-ზე. ისინი ციკლური დატვირთვების და ბეტონის ასაკის გავლენას ინტერფეისში მხები ძაბვა-ფარდობითი გადაადგილებების მრუდებზე. ცხადად ჩანს, რომ ციკლური დატვირთვები იწვევენ საკონტაქტო კაგშირების მასალის მახასიათებლების მნიშვნელოვან ვარდნას. აქედან გამომდინარე, სადაც შესაძლებელია, უნდა მიმდინარეობდეს მონიტორინგ, რათა მისი მასალები გამოყენებული იქნას ზემოდ მოყვანილი პარამეტრების მოდიფიცირებისათვის არსებულ მდგომარეობასთან შესაბამისად.



$$\sigma_n = 3.08 \text{ kg/sm}^2$$

$$c = 3.1 \text{ kg/sm}^2$$

$$\tan \phi = 1.1$$

$$k_{so} = 230.0 \text{ kg/cm}^3$$

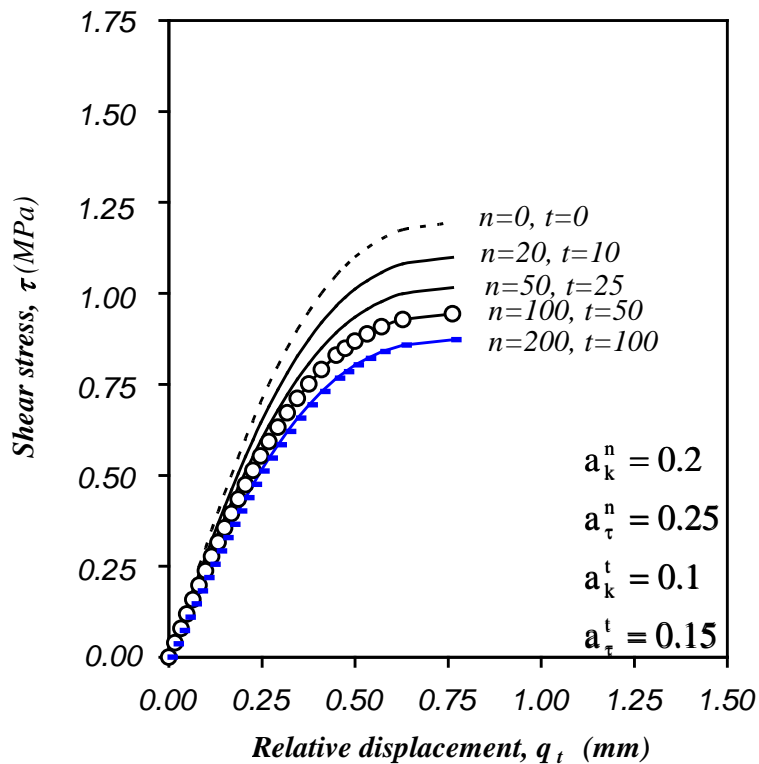
$$a = 10.0 \text{ kg/sm}^3$$

$$n = 1$$

$$P_a = 1.033 \text{ kg/cm}^2$$

$$A = \frac{1}{3} \left( \frac{\sigma_n}{c + \sigma_n \tan \phi} \right)^2 + \frac{2}{3} \left( \frac{\sigma_n}{c + \sigma_n \tan \phi} \right) + \frac{4}{3}$$

ნახ. 3.5: ბეტონსა და ქლდეს შორის ინტერფეისში მხები ძაბვა-ფარდობითი გადაადგილების მრუდები ცვალებადი A პარამეტრის შემთხვევებში  $n$  დატვირთვა-განტვირთვის ციკლების რაოდენობასთან და  $t$  ბეტონის ასაკთან კავშირში.



$$\sigma_n = 8.01 \text{ kg/sm}^2$$

$$c = 3.1 \text{ kg/sm}^2$$

$$\tan\phi = 1.1$$

$$k_{so} = 230.0 \text{ kg/cm}^3$$

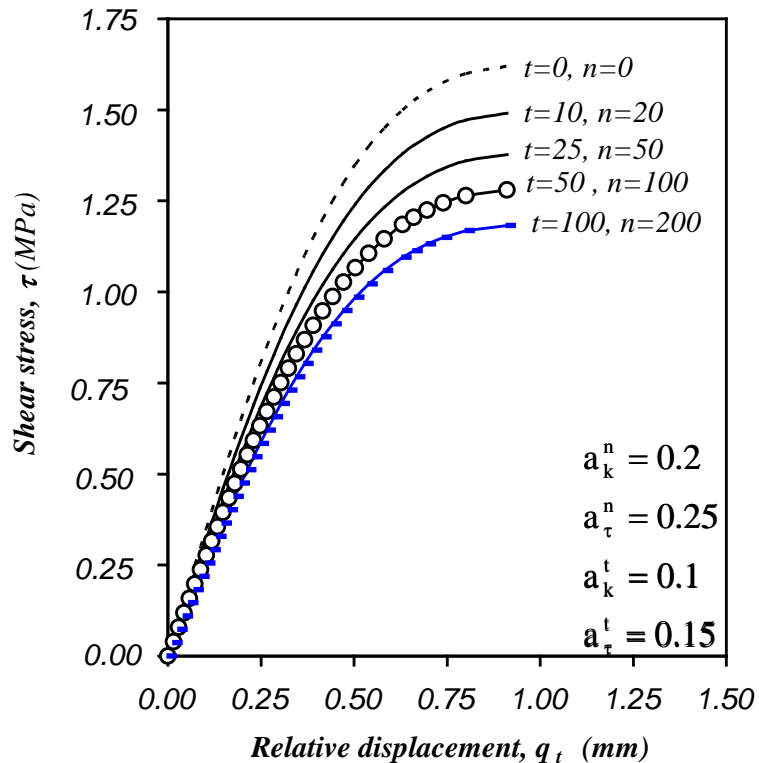
$$a = 10.0 \text{ kg/sm}^3$$

$$n = 1$$

$$P_c = 1.033 \text{ kPa/cm}^2$$

$$A = \frac{1}{3} \left( \frac{\sigma_n}{c + \sigma_n \tan \phi} \right)^2 + \frac{2}{3} \left( \frac{\sigma_n}{c + \sigma_n \tan \phi} \right) + \frac{4}{3}$$

ნახ. 3.6: ბეტონსა და ქლდეს შორის ინტერფეისში მხები ძაბვა-ფარდობითიგადაადგილების მრუდები ცვალებადი A პარამეტრის შემთხვევებში  $n$  დატვირთვა-განტვირთვის ციკლების რაოდენობასთან და  $t$  ბეტონის ასაკთან კავშირში.



$$\sigma_n = 11.89 \text{ kg/sm}^2$$

$$c = 3.1 \text{ kg/sm}^2$$

$$\tan\phi = 1.1$$

$$k_{so} = 230.0 \text{ kg/cm}^3$$

$$a = 10.0 \text{ kg/sm}^3$$

$$n = 1$$

$$P_a = 1.033 \text{ kg/cm}^2$$

ნახ. 3.7: ბეტონსა და კლდეს შორის ინტერფეისში მხები ძაბვა-  
ფარდობითიგადაადგილების მრუდები ცვალებადი A პარამეტრის შემთხვევებში n  
დატვირთვა-განტვირთვის ციკლების რაოდენობასთან და  $t$  ბეტონის ასაკთან  
კავშირში.

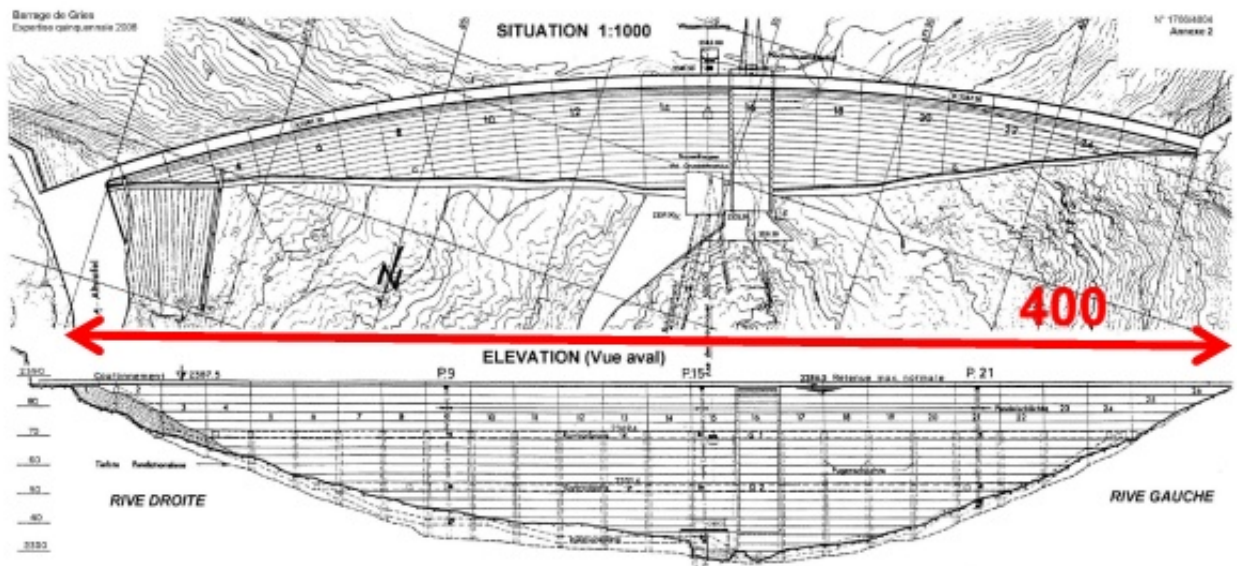
#### 4. სტატიკური ციპლური დატვირთების და ბეტონის ასაკის გაგლონა გრეისის გაშელის დაძაბულ-დეფორმირებულ მდგრადართაზე

##### 4.1. საწყისი მონაცემები

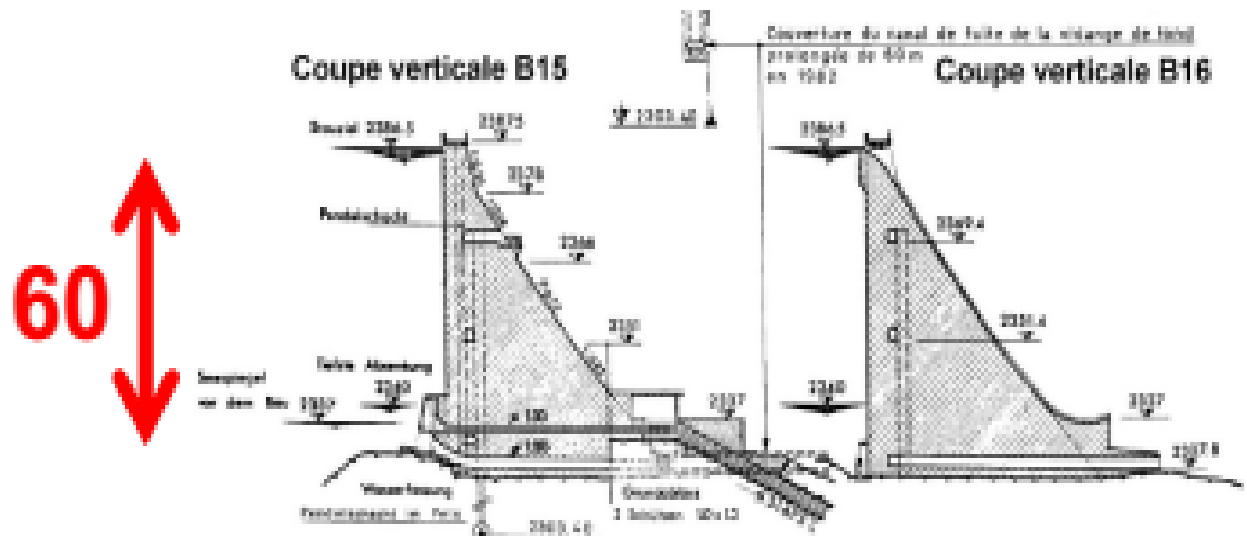
ზემოდ აღწერილი მეთოდიცა აპრობირებული იქნა 60 მ სიმაღლის გრეისის (Greis) გრავიტაციული კაშელის საანგარიშოდ, რომელიც მდებარეობს ვალაისის (Valais) კანტონში (შვეიცარია). ის ექსპლუატაციაში შევიდა 1965 წელს და დღემდე ქმნის ენერგეტიკული დანიშნულების წყალსაცავს<sup>1</sup>. კაშელის ადგილმდებარეობა და ზოგიერთი გეომეტრიული პარამეტრიც მოცემულია ნახ. 4.1, 4.2 და 4.3-ზე.



ნახ. 4.1: გრეისის კაშელი და მისი ადგილმდებარეობა.



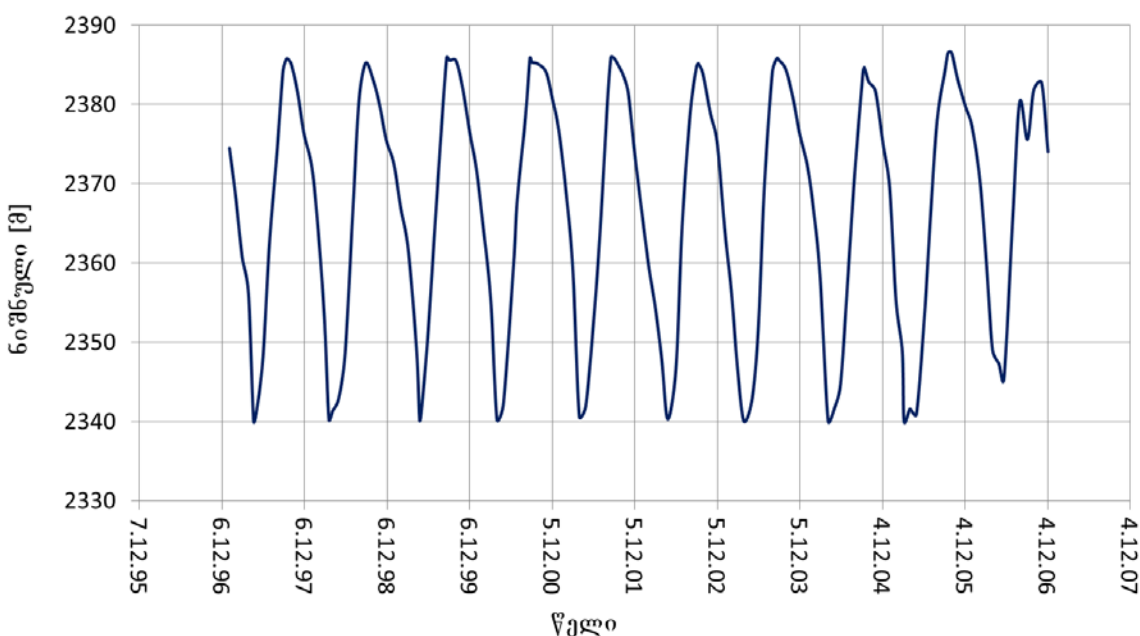
ნახ. 4.2: გრეიის კაშხალი (გეგმა და ხედი ქვედა ბიუფიდან).



ნახ. 4.3: გრეიის კაშხლის ცენტრალური (B15 და B16 ბლოკები) განვი ჭრილები.

წყალსაცავი ძირითადათ იკვებება გრეიისის მყინვარის დნობით. მყინვარი მდებარეობს შვეიცარიისა და იტალიის საზღვარზე და მისი სიგრძე დაახლოებით 5 კმ-ია, ხოლო ფართობი - 5.26 კმ<sup>2</sup> (2008 წლის მონაცემების თანახმად). ამასთანავე, საინტერესოა ის ფაქტიც, რომ რეზერვუარის სრული შევსების დროს, ნორმალური შეტბორვის დონე (ნშდ) აღწევს 2386 მეტრ ნიშნულს, რომელიც ყველაზე მაღალია შვეიცარიაში არსებულ წყალსაცავებს შორის.

გრეიისის კაშხალი ქმნის სეზონური რეგულირების ენერგეტიკულ წყალსაცავს, რომლის სრული მოცულობა შეადგენს 18.6 მლნ. მ<sup>3</sup>, ხოლო სარკის ზედაპირის ფართობი - 0.5 კმ<sup>2</sup>. წყალსაცავის ავსება-დაცლა ხდება წელიწადში ერთხელ. ამ ციკლების ტიპური გრაფიკი მოცემულია ნახ. 4.4-ზე.



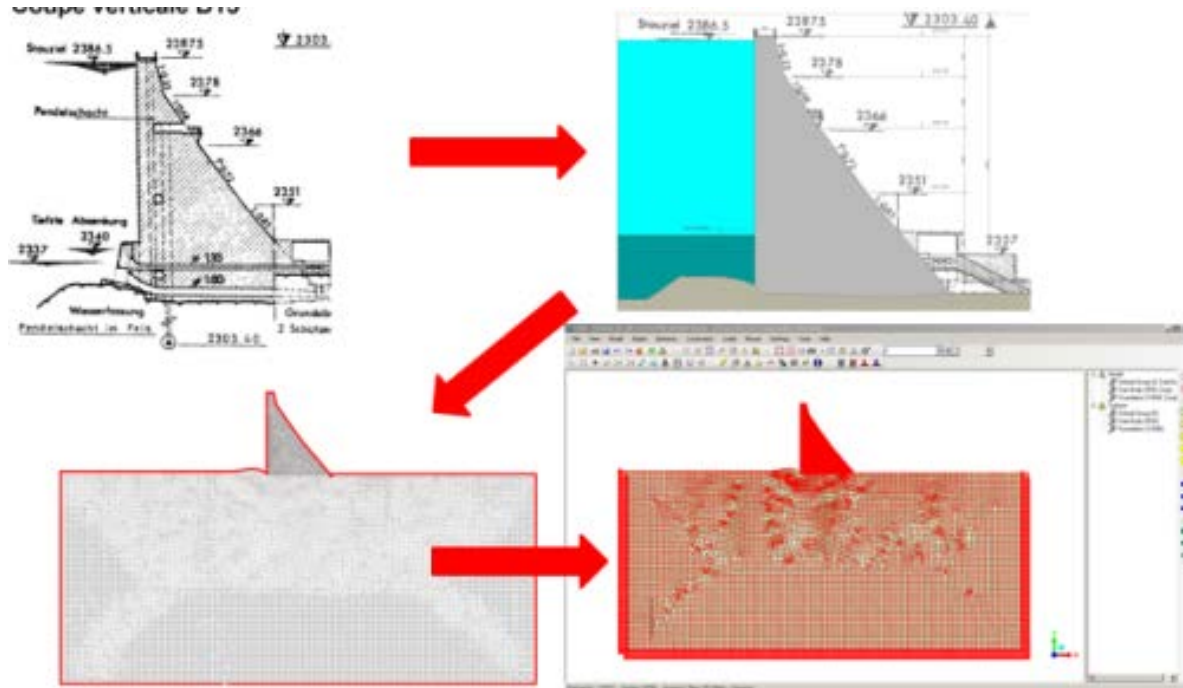
ნახ. 4.4: გრეიის კაშხლის წყალსაცავის ავსება-დაცლის გრაფიკი (1996-2006 წლები).

კაშხალს აქვს გერტიკალური სადაწნეო წახნაგი, ხოლო უდაწნეო წახნაგის დახრა იცვლება 0,68-დან 0,85-ის ფარგლებში, კაშხლის ზედა ნაწილის დახრა (ზღვის დონიდან  $\nabla$  2387,5 –სა და  $\nabla$  2378,0 მ-ს შორის)

ტოლია 0,25-ის. კაშხლის ბეტონის საწყისი დრეპადობის მოდული  $E_i = 20000$  მპა ( $2 \cdot 10^6$  ტ/მ $^2$ ), პუსონის კოეფიციენტი –  $\nu = 0,2$  და სიმკვრივე –  $\gamma = 2,55$  ტ/მ $^3$ . კაშხალი აგებულია ერთგვაროვან კლდოვან ფუძეზე. მისი დრეპადობის მოდული  $E_f = 10000$  მპა ( $1 \cdot 10^6$  ტ/მ $^2$ ), პუსონის კოეფიციენტი –  $\nu_f = 0,2$  სიმკვრივე –  $\gamma_f = 2,55$  ტ/მ $^3$ .

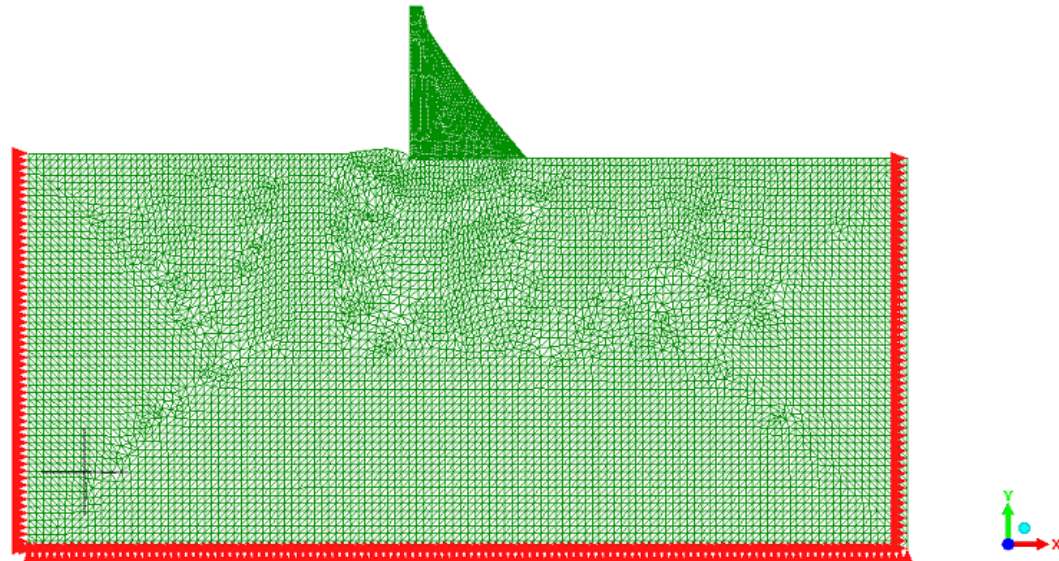
საანგარიშოდ გამოყენებული იქნა პროგრამა LISA 8.0.0. საანგარიშო სისტემის “გრეისის კაშხალი – ფუძე” ბადის სამკუთხა ელემენტების რაოდენობა არის 17022, ხოლო კვანძების – 8790.

შერჩეული იქნა ბლოკ B15-ის განივი კვეთი, რომლის ტრანსფორმაცია სასრული ელემენტების საანგარიშო სქემად მოცემულია ნახ. 4.5-ზე.



ნახ. 4.5: ბლოკ B15-ის და მისი ფუძის სანგარიშო სქემად შერჩევის თანმიმდევრობა.

ნახ. 4.6-ზე მოცემულია თვით საანგარიშო სისტემის სასრულელემენტოვანი სქემა.



ნახ. 4.6: სასრული ელემენტების მეთოდით სანგარიშო სისტემა “გრეისის კაშხალი – ფუძე”.

ნახ. 4.7-ზე მოცემულია საანგარიშო სისტემიდან ამოღებული ფრაგმენტი – თვით კაშხალი და ფუძის ნაწილი.

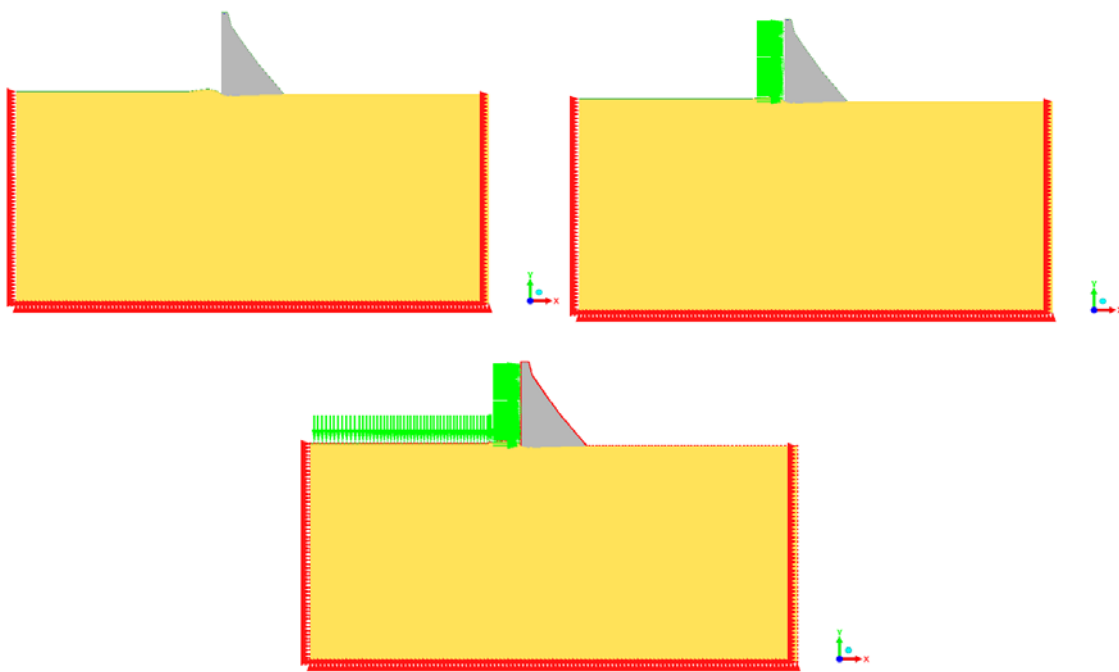
სტატიკური ციკლური დატვირთებისა და ბეტონის ასაკის გავლენის შესასწავლად თავდაპირველად საჭიროა სისტემის დაძაბულ დეფორმირებული მდგომარეობის ანგარიში კაშხლის ბეტონის საწყისი (საპროექტო) მექანიკური მახასიათებლების გამოყენებით.

რეალიზებული იქნა შემდეგი საანგარიშო სქემები, როდესაც სისტემაზე მოქმედებს:

1. მხოლოდ კაშხლის საკუთარი წონა;
2. საკუთარიწონა და პიდროსტატიკური დაწნევა კაშხლის სადაწნეო წახნაგზ;
3. საკუთარიწონა, პიდროსტატიკური დაწნევა კაშხლის სადაწნეო წახნაგზე და ვერტიკალური პიდროსტატიკური დაწნევა წყალსაცავის ფუძეზ;
4. საკუთარი წონა, პიდროსტატიკური დაწნევა კაშხლის სადაწნეო წახნაგზე და ვერტიკალური პიდროსტატიკური დაწნევა

წყალსაცავის ფუძეზე ბეტონის მოდიფიცირებული მექანიკური მახასიათებელის (დრეპადობის მოდული) მხედველობაში მიღებით, რომელიც ითვალისწინებს ციკლური დატვირთვების გავლენას ბეტონის თვისებებზე;

5. საკუთარი წონა, პიდროსტატიკური დაწნევა კაშხლის სადაწნეო წახნაგზე და ვერტიკალური პიდროსტატიკური დაწნევა წყალსაცავის ფუძეზე ბეტონის მოდიფიცირებული მექანიკური მახასიათებელის (დრეპადობის მოდული) მხედველობაში მიღებით, რომელიც ითვალისწინებს კაშხლის გავლენას ბეტონის თვისებებზე; ყველა ამ შემთხვევისათვის გაანგარიშებული იქნა გადაადგილებები, ფარდობითი დეფორმაციები, ძაბვის კომპონენტები, მთავარი ძაბვები და მათი მიმართულებები როგორც ბადის ელემენტებში, ასევე კვანძებში.
- ნახ. 4.7-ზე მოცემულია ამ საანგარიშო შემთხვევების ძირითადი სქემები

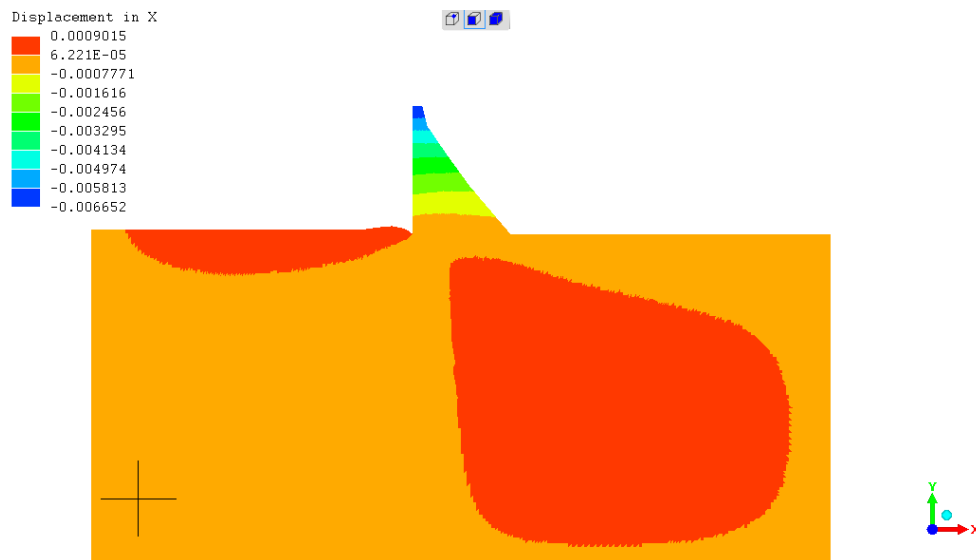


ნახ. 4.7: საანგარიშო შემთხვევების ძირითადი სქემები.

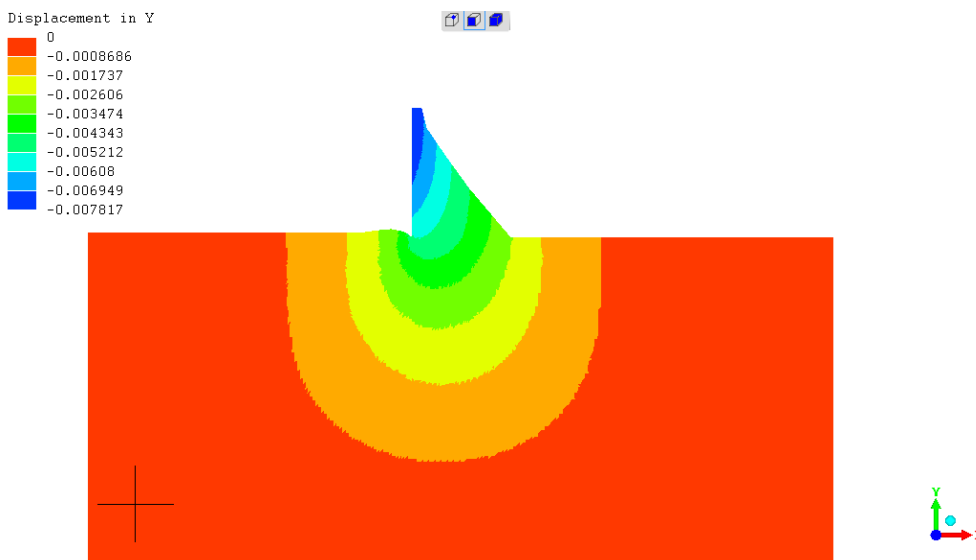


#### 4.2. სისტემაზე მოქმედებს მხოლოდ კაშხლის საკუთარი წონა (სამუშაოებლო შემთხვევა)

ნახ. 4.8 და 4.9-ზე მოცემულია სისტემაში პორიზონტალური և და  
ვერტიკალური გადაადგილებების იზოუბნები.



ნახ. 4.8: სისტემის პორიზონტალური և (X დერძის მიმართულებით) გადაადგილებების იზოუბნები.

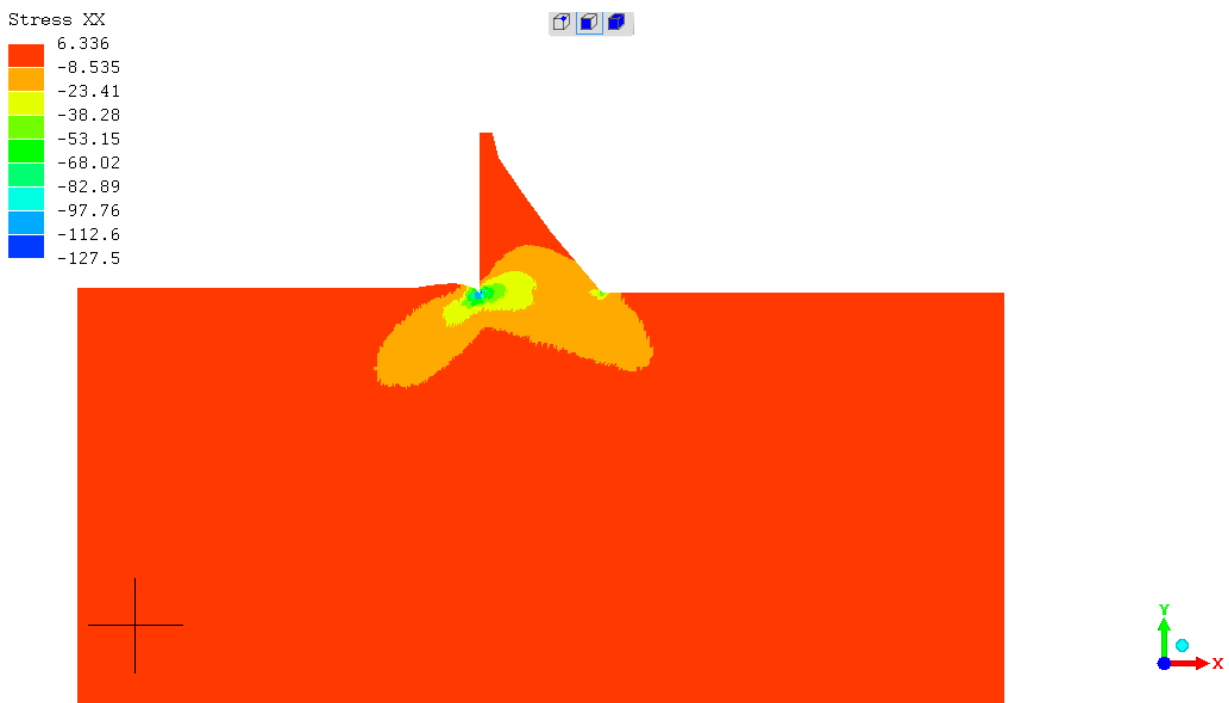


ნახ. 4.9: სისტემის ვერტიკალური და (Y დერძის მიმართულებით) გადაადგილებების იზოუბნები.

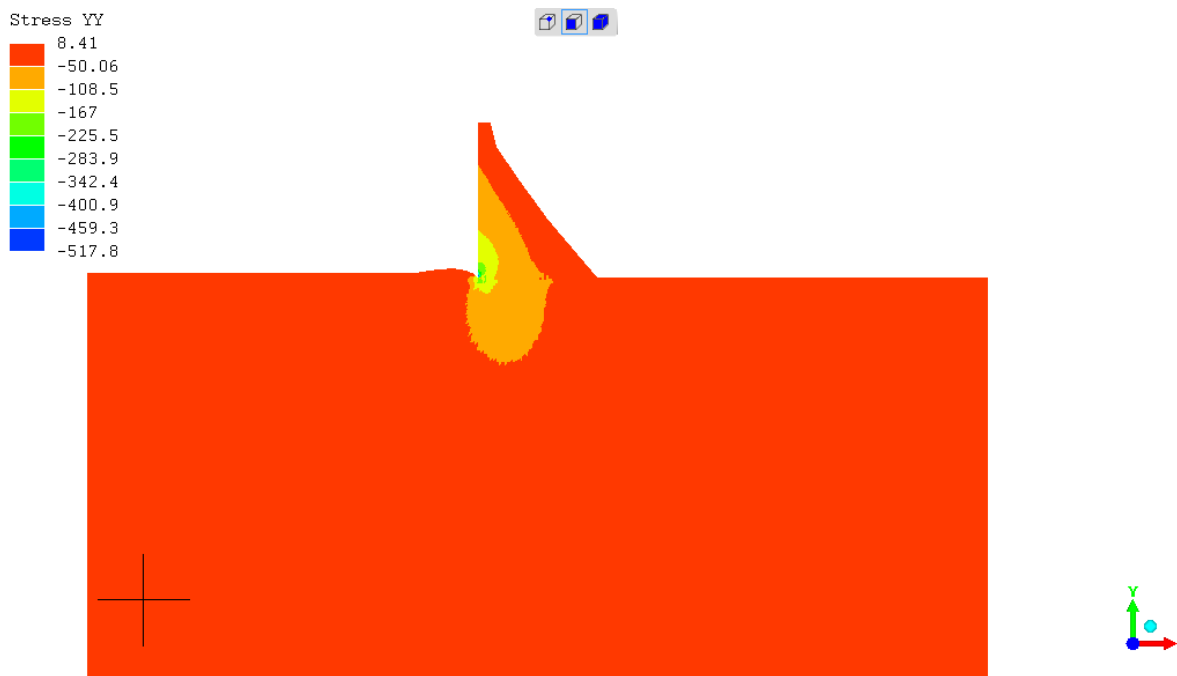


შედეგებიდან ჩანს, რომ მაქსიმალური პორიზონტალური გადაადგილებები (-0,665 სმ) ფიქსირდება კაშხლის თხემის ზონაში (მუქი ლურჯი ფერი) და მეთოდურად მცირდება ფუძისაკენ. აღსანიშნავია ის, რომ გადახრის გაძლიერი მიმართულია ზედა ბიეფისაკენ. ანალოგიური სიტუაციაა ვერტიკალური გადაადგილებების მեრივაც. მაქსიმალური ვერტიკალური გადაადგილებები (-0,782 სმ) აღინიშნება კაშხლის თხემის ზონაში და ვრცელდება სადაწნეო წახნაგის თითქმის შუამდე (მუქი ლურჯი ფერი). ყურადღებას იქცევს ვერტიკალური გადაადგილებების სურათი ფუძეში. მისი სურათი კარგად ემთხვევა ბუსინესის კლასიკური ამოცანის (ვერტიკალური შეყურსული ძალა ნახევარსიბრტყის ზედაპირზე) თვისობრივ შედეგს, რაც მიუთითებს ჩვენი სანგარიშო სქემის სიზუსტეზე.

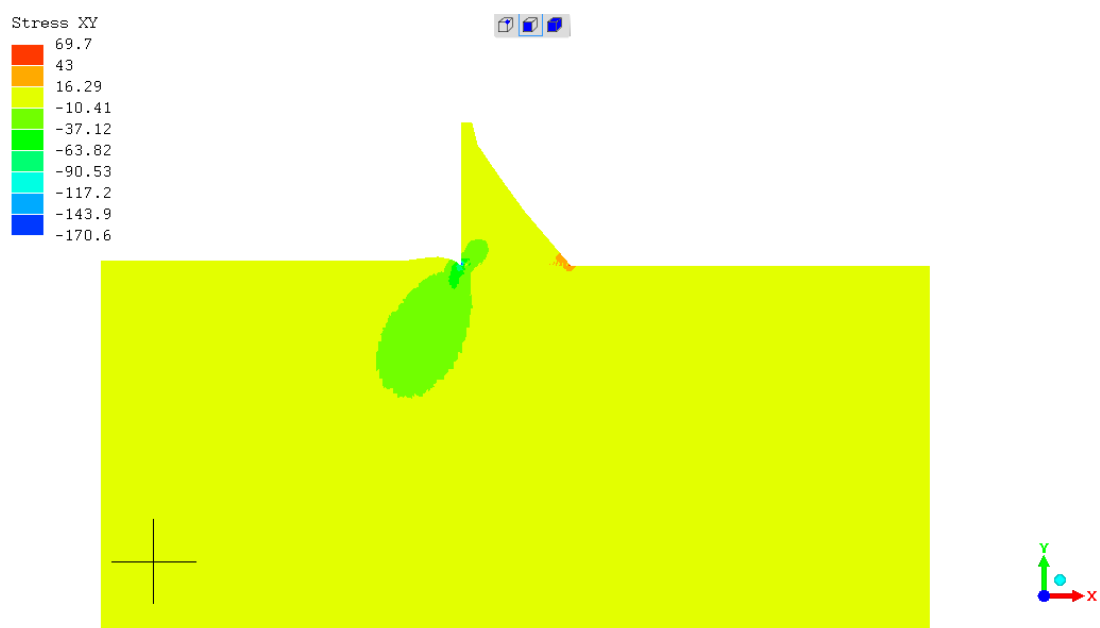
ნახ. 4.10, 4.11, 4.12 და 4.13-ზე მოცემულია სისტემაში პორიზონტალური ნორმალური  $\sigma_x$ , ვერტიკალური ნორმალური  $\sigma_y$ , მხები  $\tau$  და მაქსიმალური მთავარი  $\sigma_1$  ძაბვების იზოუბნები.



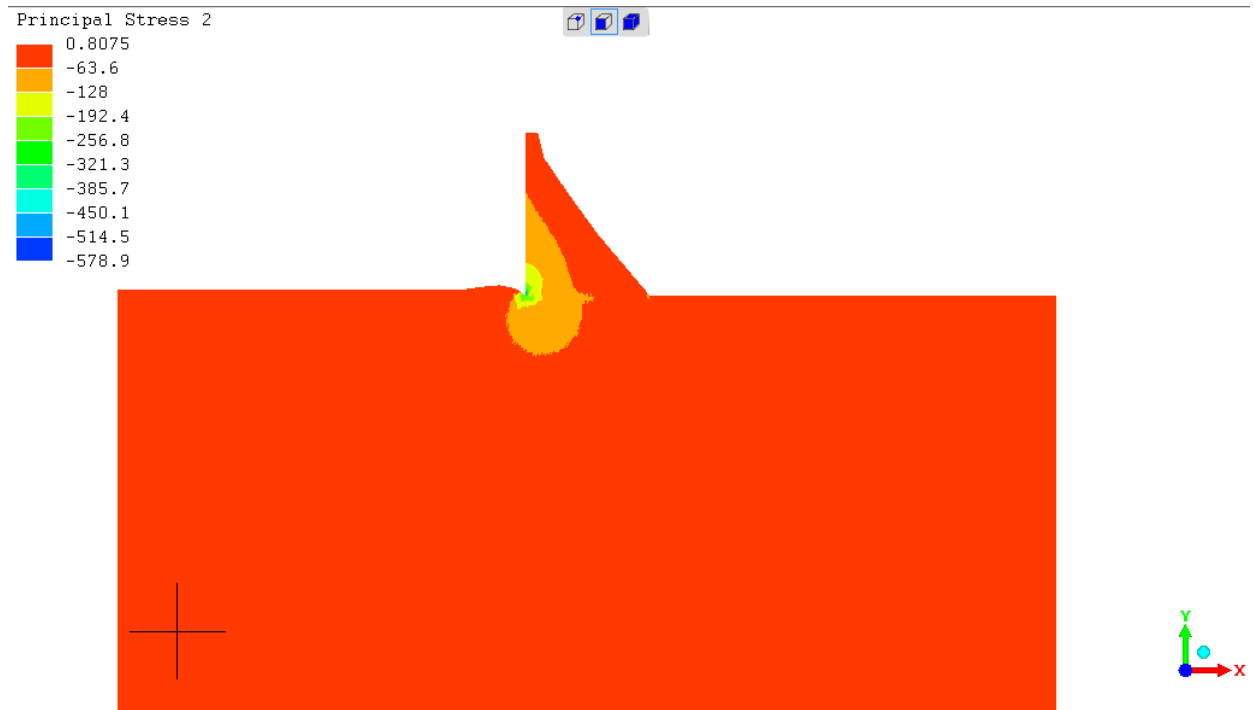
ნახ. 4.10: პორიზონტალური ნორმალური  $\sigma_x$  ძაბვების იზოუბნები.



ნახ. 4.11: გერტიკალური ნორმალური  $\sigma_y$  ძაბვების იზოუბნები.



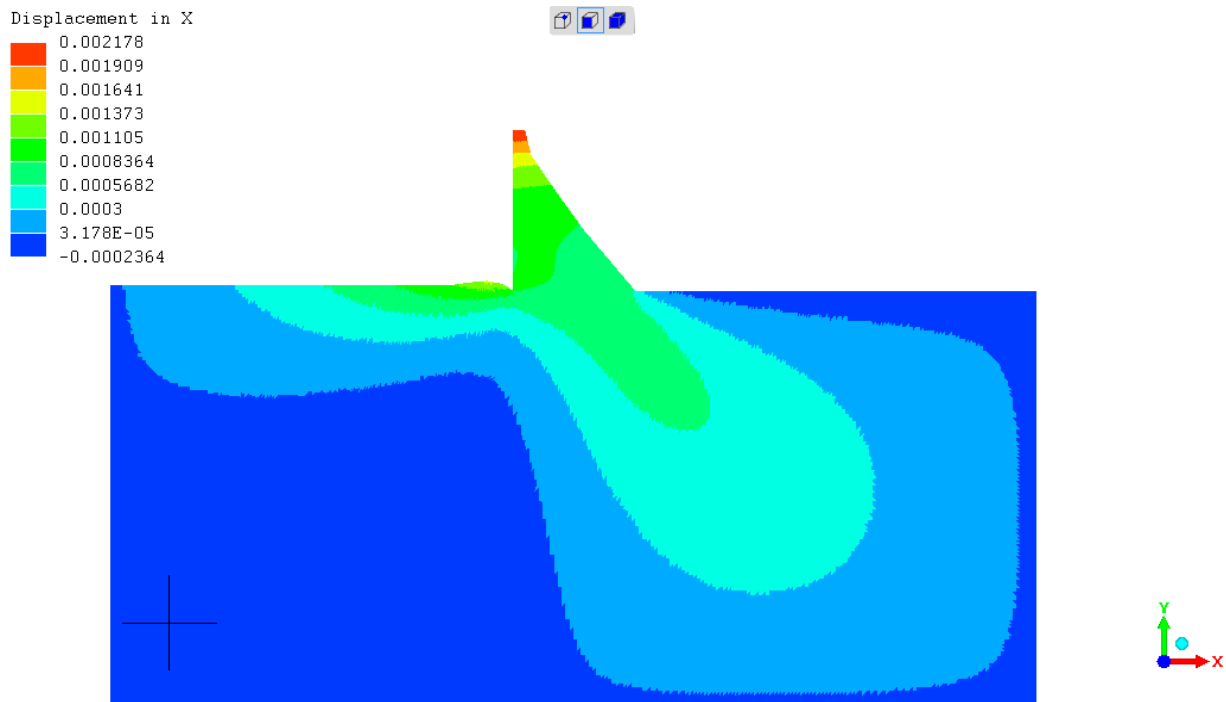
ნახ. 4.12: მხები  $\tau$  ძაბვების იზოუბნები.



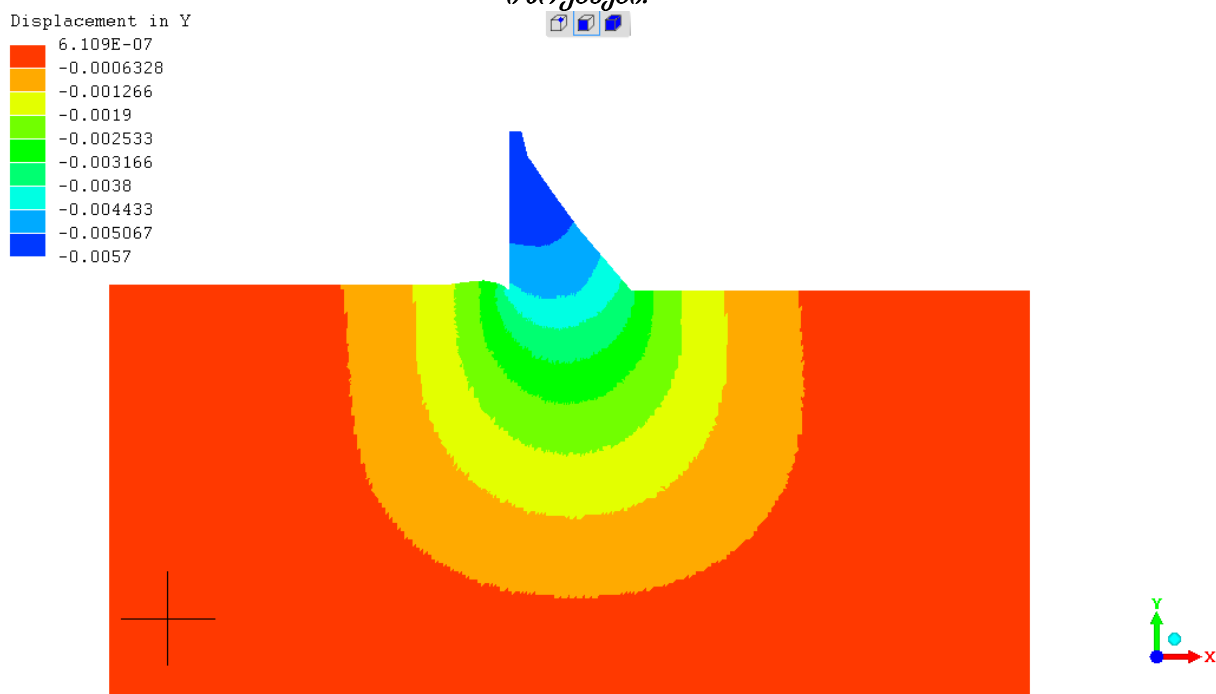
ნახ. 4.13: მაქსიმალური მოავარი  $\sigma_1$  ძაბვების იზოუბნები.

4.3. სისტემაზე მოქმედებს კაშხლის საკუთარი წონა და ჰიდროსტატიკური დაწნევა სადაწნეო წახნაგზე (საექსპლუატაციო შემთხვევა)

საანგარიშო სქემა მოცემულია ნახ. 4.7 – ზე. ნახ. 4.14 და 4.15 მოცემულია საანგარიშო სისტემაში პორიზონტალური უ და ვერტიკალური უ გადაადგილებების იზოუბნები.



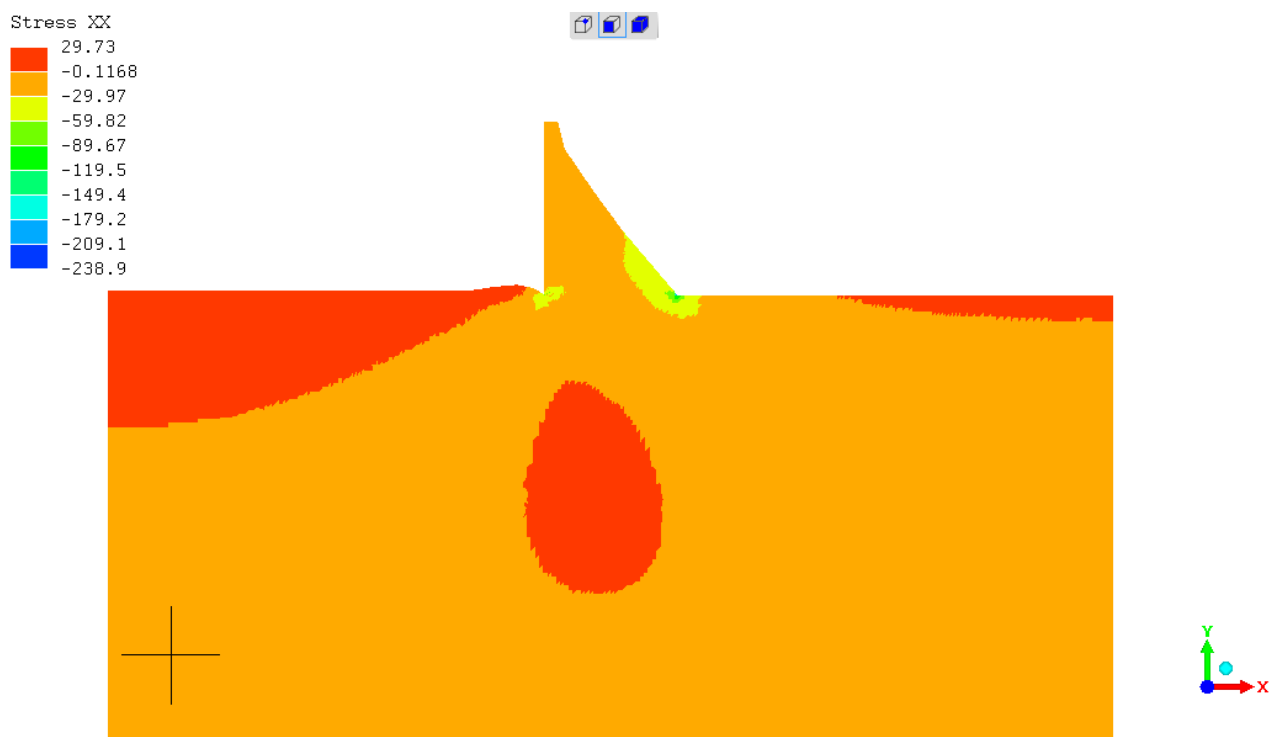
ნახ. 4.14: სისტემის პორიზონტალური  $u$  (X დერძის მიმართულებით) გადაადგილებების იზოუბნები.



ნახ. 4.15: სისტემის გერტიკალური  $v$  (Y დერძის მიმართულებით) გადაადგილებების იზოუბნები.

შედეგებიდან ჩანს, რომ მაქსიმალური პორიზონტალური გადაადგილებები (-0,2178 სმ) ფიქსირდება კაშხლის თხემის ზონაში (ნარინჯისფერი) და მეთოდურად მცირდება ფუძისაკენ. აღსანიშნავია ის, რომ გადახრის ვაქტორი მიმართულია ზედა ბიეფისაკენ. ანალოგიური სიტუაციაა ვერტიკალური გადაადგილებები (-0,57 სმ) აღინიშნება კაშხლის თხემის ზონაში და ვრცელდება კაშხლის ტანის ზედა 2/3-ზე (მუქი ლურჯი ფერი).

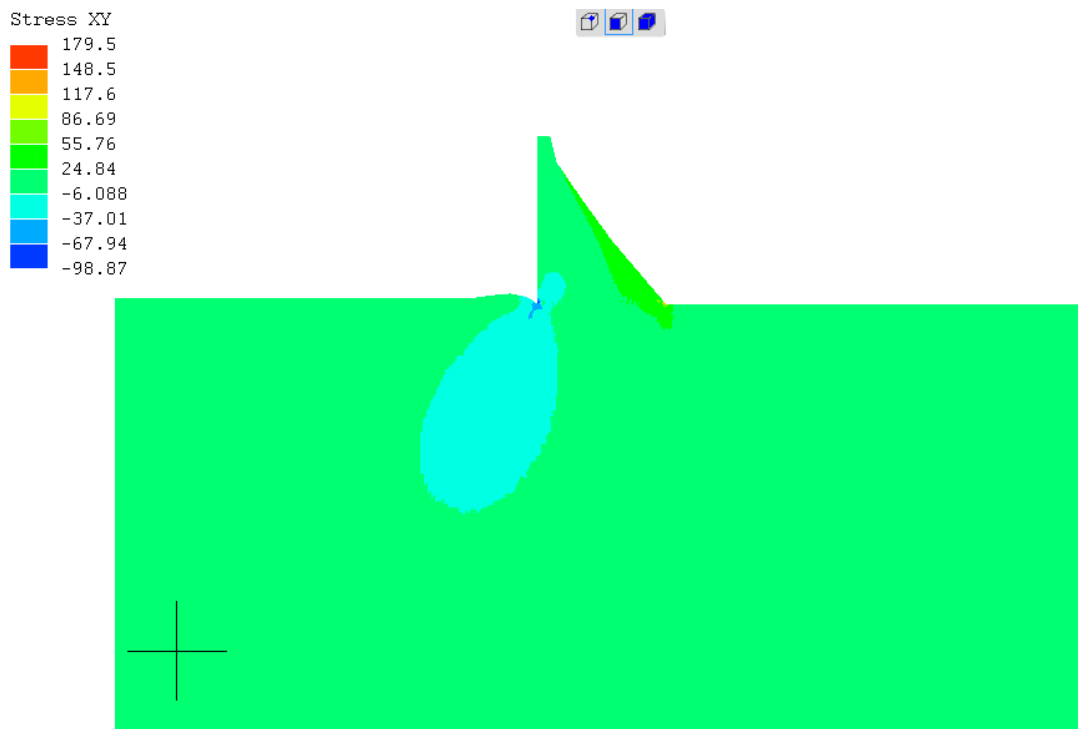
ნახ. 4.16, 4.17, 4.18 და 4.19-ზე მოცემულია სისტემაში პორიზონტალური ნორმალური  $\sigma_x$ , ვერტიკალური ნორმალური  $\sigma_y$ , მხები  $\tau$  და მაქსიმალური მთავარი  $\sigma_1$  ძაბვების იზოუბნები.



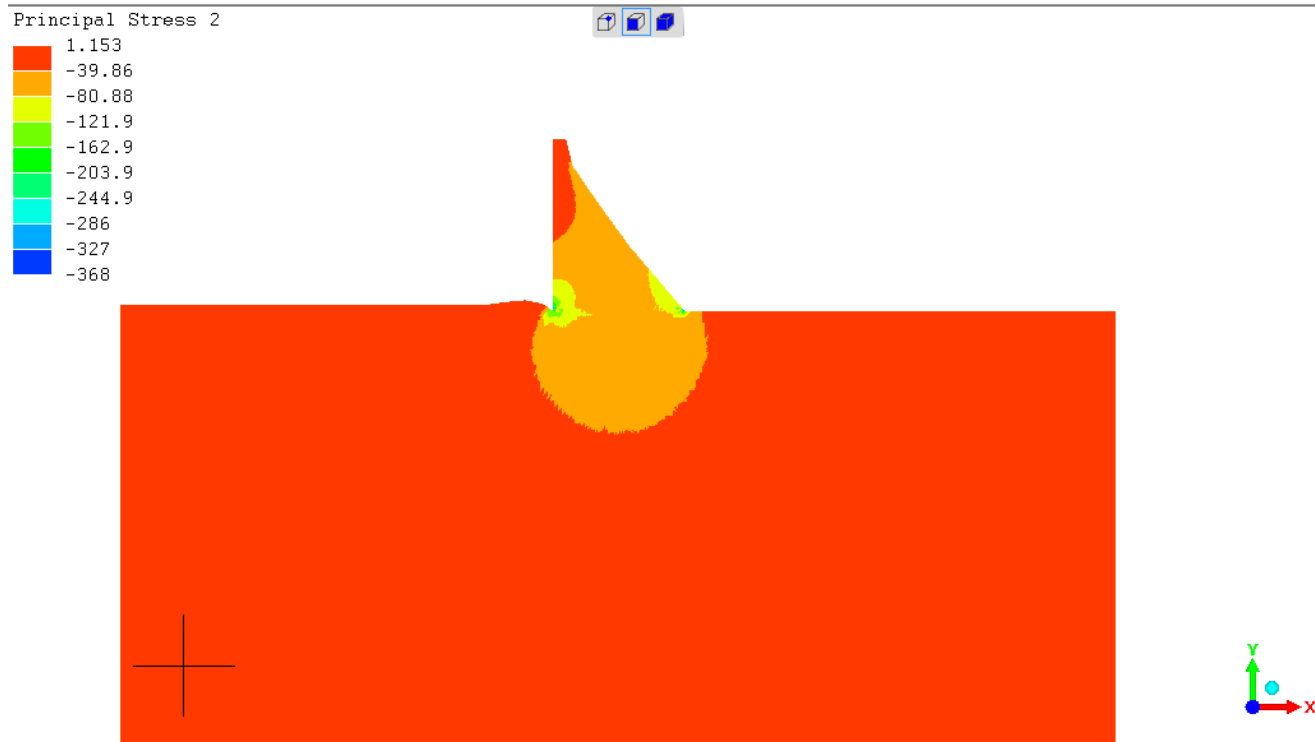
ნახ. 4.16: პორიზონტალური ნორმალური  $\sigma_x$  ძაბვების იზოუბნები.



ნახ. 4.17: გერტიკალური ნორმალური  $\sigma_y$  ძაბვების იზოუბნები.



ნახ. 4.18: მხები  $\tau$  ძაბვების იზოუბნები.



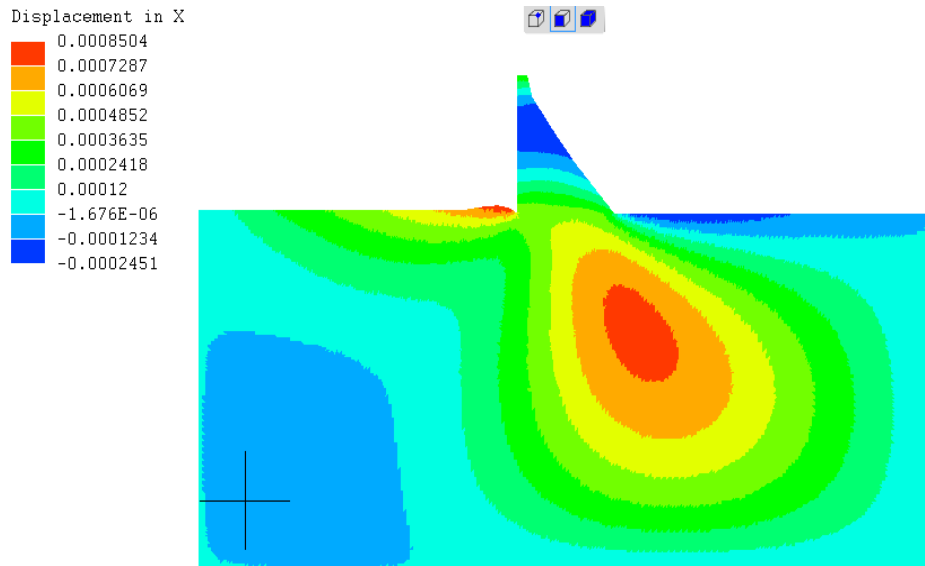
ნახ. 4.19: მაქსიმალური მოავარი  $\sigma_1$  ძაბვების ოზოუბნები.

4.4. სისტემაზე მოქმედებს კაშხლის საკუთარი წონა,  
პიდროსტატიკური დაწნევა სადაწნეო წახნაგზე და  
ვერტიკალური პიდროსტატიკური დაწნევა წყალსაცავის  
ფსკერზე

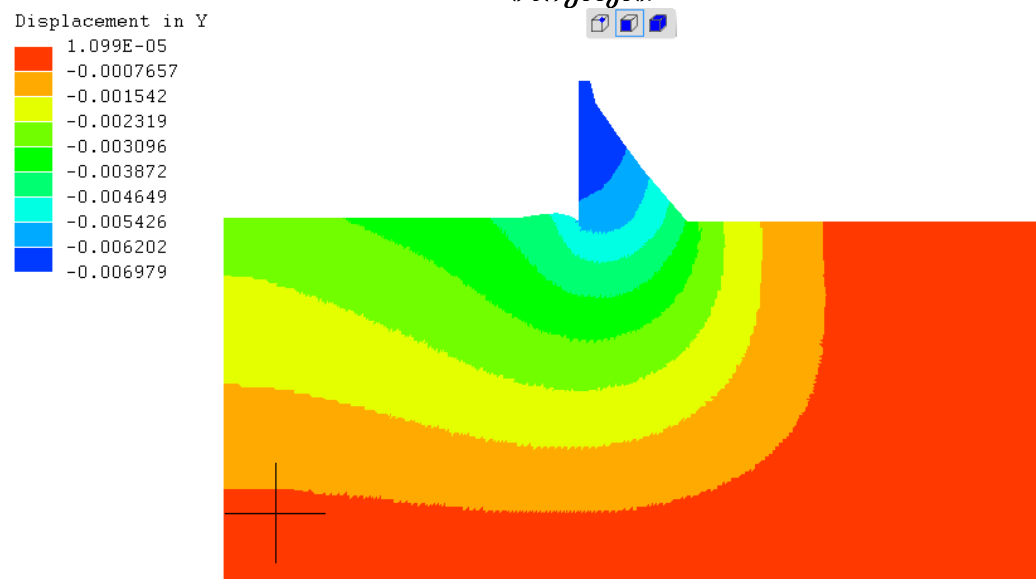
გარდა საკუთარი წონისა და პიდროსტატიკური დაწნევისა კაშხლის  
სადაწნეო წახნაგზე, სისტემა გაანგარიშებული იქნა დამატებით  
დატვირთვაზე – ვერტიკალურ პიდროსტატიკურ დატვირთვაზე  
წყალსაცავის ფსკერზე. დატვირთვის ამ კომპონენტს სასრული  
ელემენტების სქემაში ნაკლები ყურადღეობა ექცეოდა და, ამის გამო,  
გადაწყდა შეგვესწავლა ამ უკანასკნელის რეალური გავლენა კაშხლის  
დაძაბულ-დეფორმირებულ მდგომარეობაზე.

საანგარიშო სქემა მოცემულია ნახ. 4.7 –ზე.

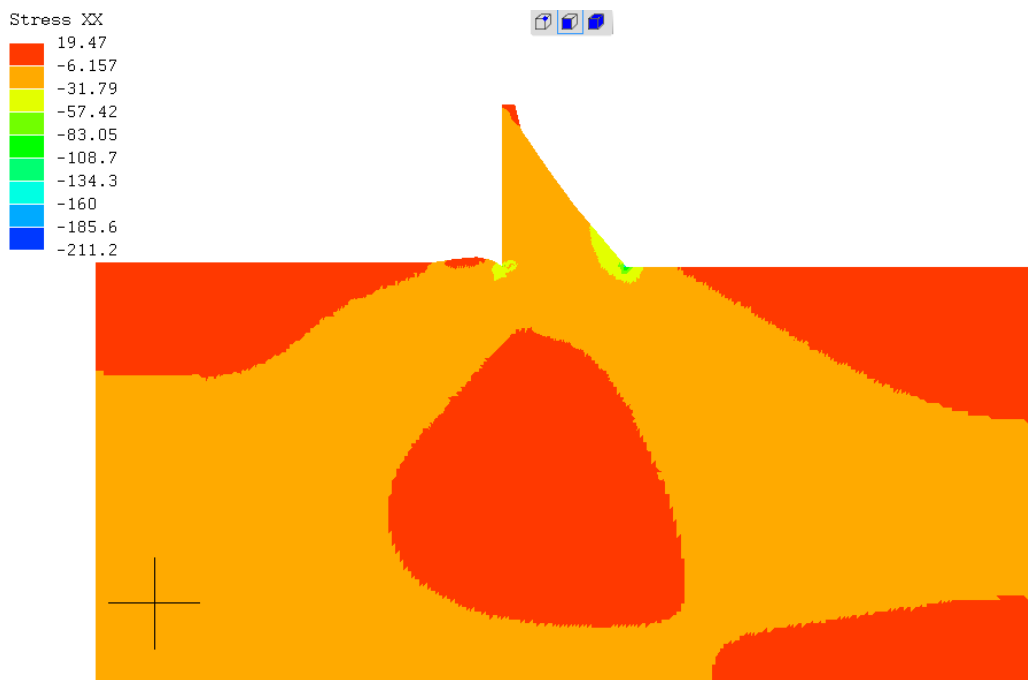
გაანალიზების მიზნით ქვემოთ მოყვანილია გადაადგილებებისა და  
ძაბვების ოზოუბნების ზოგიერთი ნახაზები.



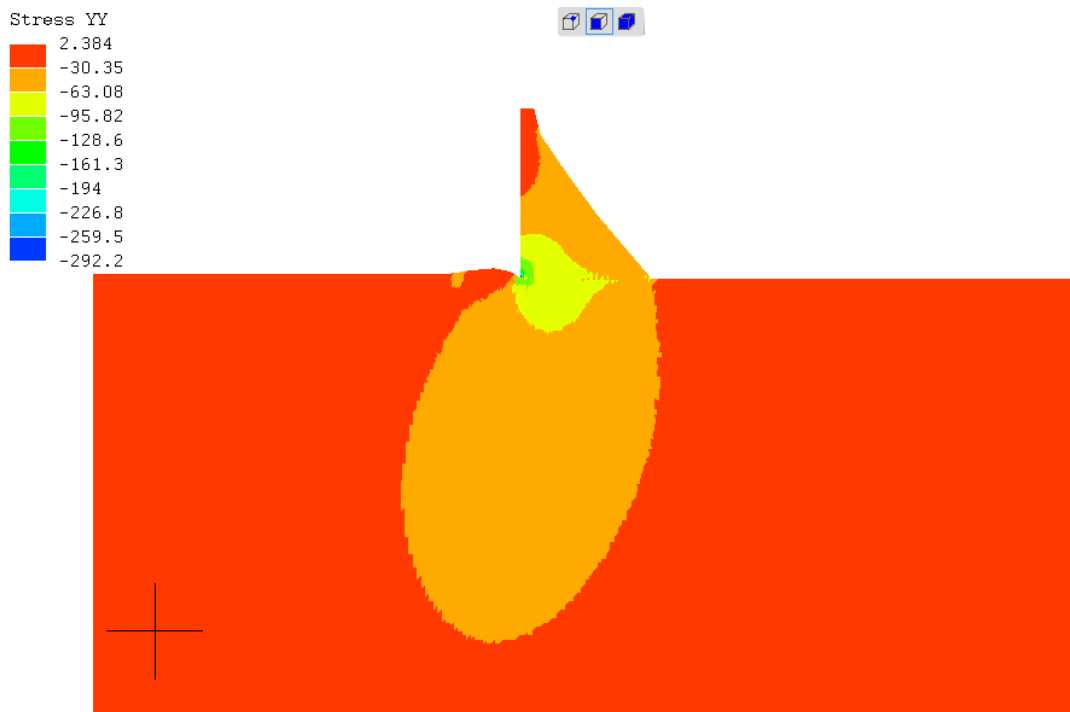
**ნახ. 4.20:** სისტემის პოზიციონალური  $u$  (X დენტის მიმართულებით) გადააღილებების იზოუბნები.



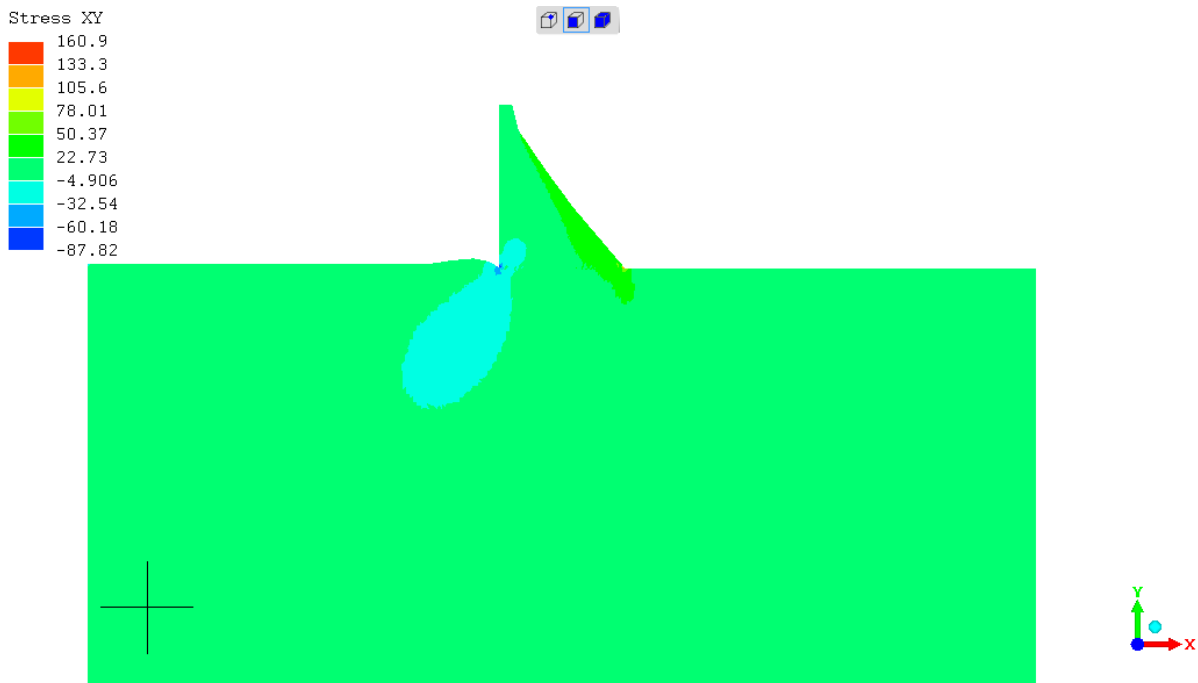
**ნახ. 4.21:** სისტემის გერგიძელური  $v$  (Y დენტის მიმართულებით) გადააღილებების იზოუბნები.



ნახ. 4.22: პორიზონტალური ნორმალური  $\sigma_x$  ძაბვების იზოუბნები.



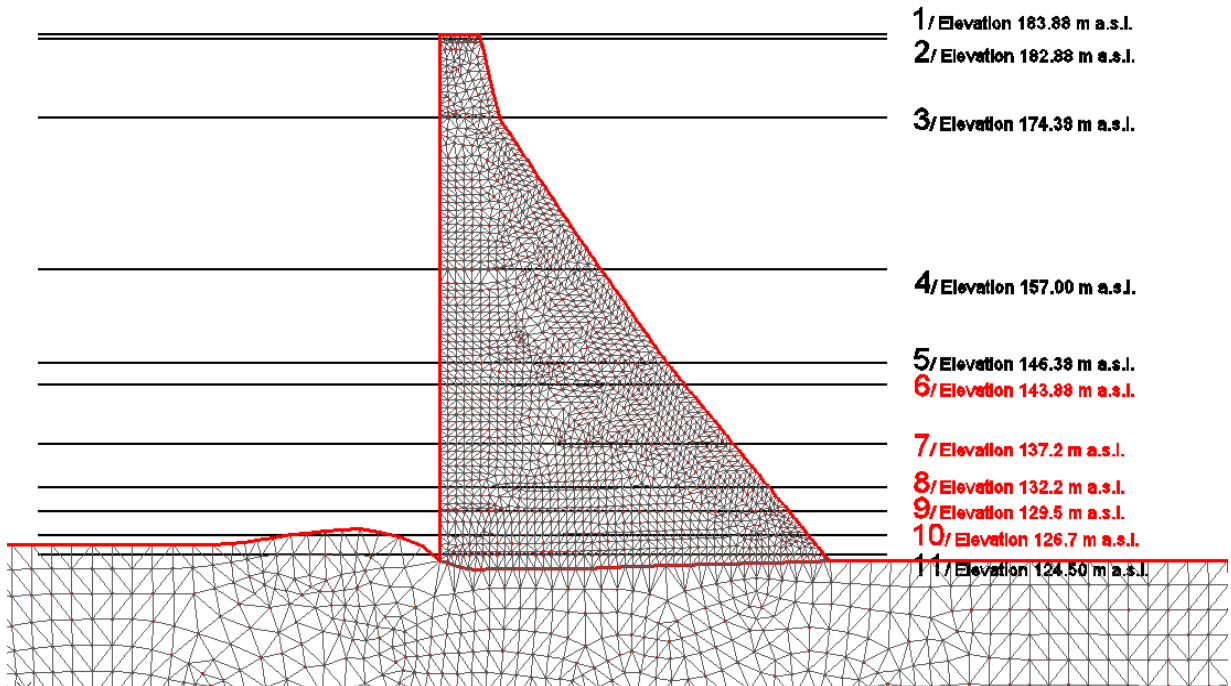
ნახ. 4.23: გერტიკალური ნორმალური  $\sigma_y$  ძაბვების იზოუბნები.



ნახ. 4.24: მხედი  $\tau$  ძაბვების იზოუბნები.

გარდა სისტემის დაძაბული-დეფორმირებული მდგომარეობის ზოგადი სურათისა, ჩვენს კონკრეტულო ინტერესს წარმოადგენს, თუ რა გავლენა აქვს პიდროსტატიკის გერტიკალურ მდგენელს უშალოდ კაშხლის მდგომარეობაზე. ქვემოთ მოყვანილია ამ საკითხის ანალიზი უფრო დაწვრილებით.

ნახ. 4.25-ზე მოცემულია საანგარიშო სისტემიდან ამოდებული ფრაგმენტი – თვით კაშხალი და ფუძის ნაწილი.



**ნახ. 4.25:** სისტემის “გრუნის კაშხალი – ფუძე – წყალსაცავი” საანგარიშო სქემა  
სასრული ელემენტების მეთოდით (ფრაგმენტი).

ამოცანის ამოხსნის შედეგად მიღებული ვრცელი ინფორმაციიდან მოვიყვანთ მხოლოდ ნაწილს, რომელიც გვაძლევს საშუალებას გამოვიტანოთ დასკვნები წყალსაცავის ფუძეზე ზემოქმედების გავლენის შესახებ უშუალოდ კაშხლის დაძაბულ-დეფორმირებულ მდგომარეობაზე.

შერჩეული იქნა ათი განივი კვეთი და ერთი თხემის სიბრტყე, რომლებშიც გაპეთდა შედეგების ანალიზი. ბუნებრივია, სისტემის ყველაზე კრიტიკული და საპასუხისმგებო არის კაშხალსა და ფუძეს შორის საკონტაქტო კვეთი (კვეთი №11).

ცხრ. 4.1 – ის ზედა ფრაგმენტში მოცემულია კვეთის ნომერი და მდებარეობა ზღვის დონიდან, ხოლო ქვედა, ძირითად, ნაწილში - კვანძების ნუმერაცია, კოორდინატები, აგრეთვე  $\sigma_y$  ძაბვები კვანძებში შემდეგი საანგარიშო შემთხვევებისათვის:

- საანგარიშო სისტემაზე მოქმედებს მხოლოდ საკუთარი წონა და პიდროსტატიკური დაწნევა კაშხლის სადაწნეო წახნაგზე და



- სისტემაზე მოქმედებს საკუთარი წონა, პიდროსტატიკური დაწნევა სადაწნეო წახნაგზე და პიდროსტატიკური დაწნევა წყალსაცავის ფსკერზე.

კვანძი №7080 არის კაშხლის სადაწნეო წახნაგისა და ფუძის ზედაპირის კვეთის წერტილი, ხოლო კვანძი №7359 - უდაწნეო წახნაგისა და ფუძის ზედაპირის კვეთის წერტილი, ცხრილში მოყვანილი სხვა წერტილების ნომრები მათ შორის არის განლაგებული.

ძაბვების გრაფიკული გამოსახულებები (ეპიურები) მოცემულია ნახ.  
4.26 - ზე. შედეგების ანალიზი გვიჩვენებს რომ ვერტიკალურ პიდროსტატიკურ დაწნევას წყალსაცავის ფსკერზე აქვს შესამჩნევი გავლენა კაშხლის წახნაგებზე ძაბვების მნიშვნელობებზე, თუმცა კაშხლის ტანში ეს გავლენა უმნიშვნელოა. მიღებული შედეგების ნაწილი გამოქვეყნებულია

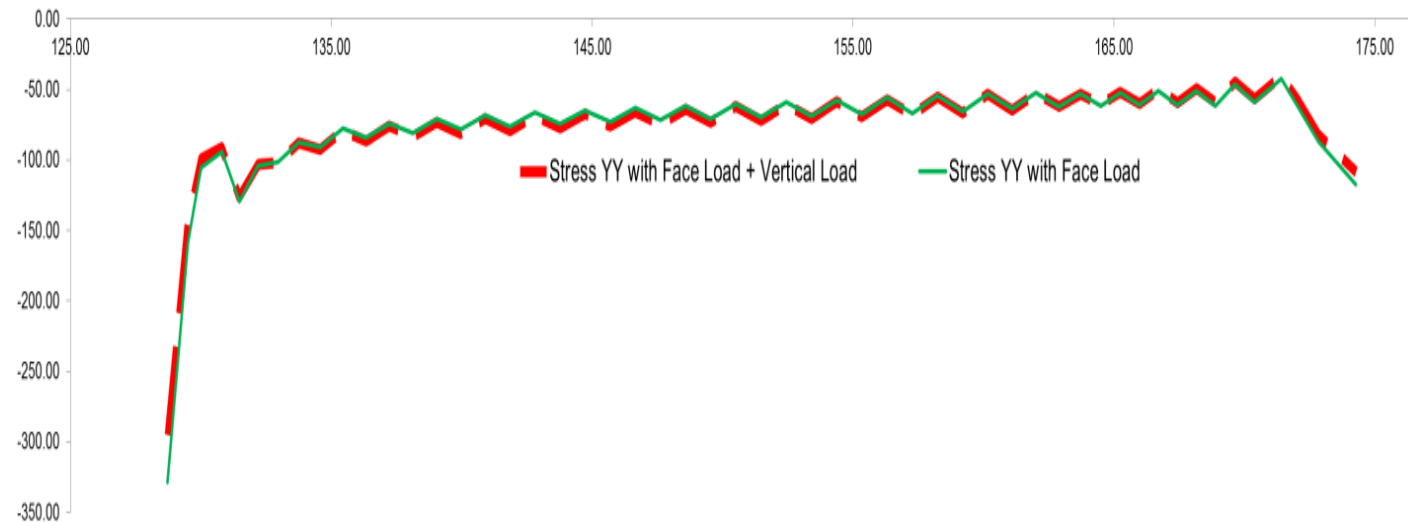
[33]-ში.



ცხრილი 4.1:

Align	11
Elevation	124.5

Point	7080	7310	7391	7312	7311	7388	7383	7382	7325	7324	7326	7348	7328	7327	7329	7358	7331	7330	7332	7359
X	128.72	129.50	130.00	130.80	131.47	132.19	132.96	133.75	134.58	135.44	136.33	137.23	138.13	139.04	139.96	140.90	141.85	142.80	143.77	144.73
Y	124.50	124.50	124.50	124.50	124.50	124.50	124.50	124.50	124.50	124.50	124.50	124.50	124.50	124.50	124.50	124.50	124.50	124.50	124.50	124.50
Stress YY with Face Load	-328.62	-158.74	-105.57	-93.91	-129.03	-104.36	-101.60	-87.21	-90.78	-77.29	-83.95	-73.92	-80.51	-70.81	-78.05	-67.97	-75.96	-65.98	-74.26	-64.61
Stress YY with Face Load + Vertical Load	-295.33	-144.52	-98.85	-91.13	-126.10	-102.86	-101.75	-87.87	-92.32	-78.93	-86.26	-76.14	-83.26	-73.33	-81.03	-70.60	-79.01	-68.63	-77.29	-67.21
	111.27%	109.84%	106.80%	103.05%	102.32%	101.46%	99.85%	99.25%	98.32%	97.93%	97.32%	97.09%	96.69%	96.57%	96.32%	96.28%	96.13%	96.14%	96.08%	96.13%



ნახ. 4.26:  $\sigma_y$  ძაბვები საკონტაქტო პლატფორმი (7080 – 7359). წითელი და წყვეტილი ტექსილი ხაზი -  $\sigma_y$  ძაბვები მეორე შემთხვევისათვის – ყველა ძალის ერთობლივი მოქმედება; მწვანე ტექსილი ხაზი -  $\sigma_y$  ძაბვები პირველი შემთხვევისათვის – მხოლოდ საკუთარი წონა პიდროსტატიური დაწნევა საღაწნეო წახნაგზა.

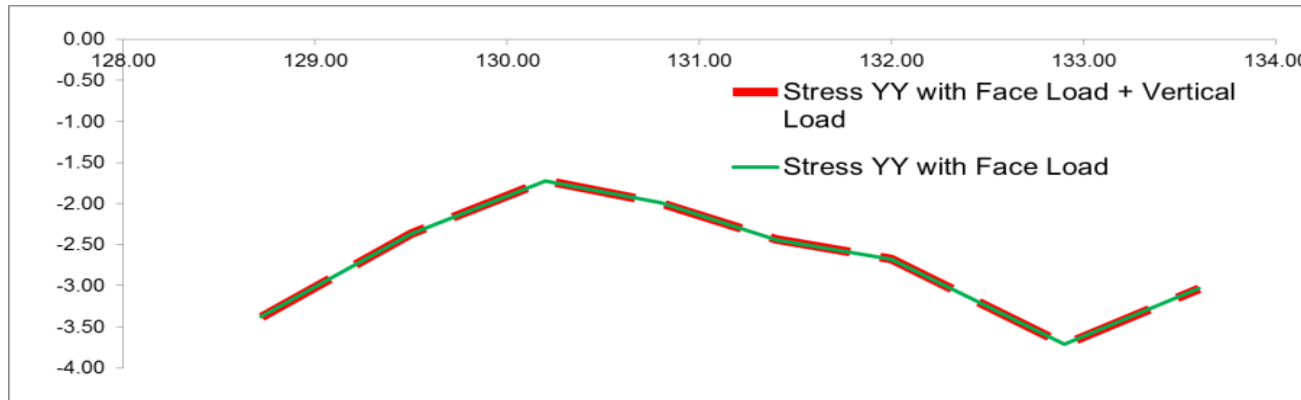


კაშხლის დაძაბულ-დეფორმირებული მდგომარეობის სრული სურათის წარმოსადგენად (4.2 – 4.19) ცხრილებში და (4.27 – 4.35) ნახაზებზე მოყვანილია ანალოგიური მონაცემები კაშხლის 2-2, 3-3, 4-4, 5-5, 6-6, 7-7, 8-8, 9-9 და 10-10 პორიზონტალურ კვეთებში (ნახ. 4.25).

ცხრილი 4.2:

Align	2
Elevation	182.88

Point	6943	7171	7392	7587	7403	7404	7376	7152
X	128.72	129.50	130.20	130.80	131.40	132.00	132.90	133.60
Y	182.88	182.88	182.88	182.88	182.88	182.88	182.88	182.88
Stress YY with Face Load	-3.38	-2.37	-1.72	-1.99	-2.44	-2.68	-3.71	-3.03
Stress YY with Face Load + Vertical Load	-3.38	-2.37	-1.72	-1.99	-2.44	-2.68	-3.71	-3.03
	100.00%	100.00%	100.00%	100.00%	100.00%	100.00%	100.00%	100.00%



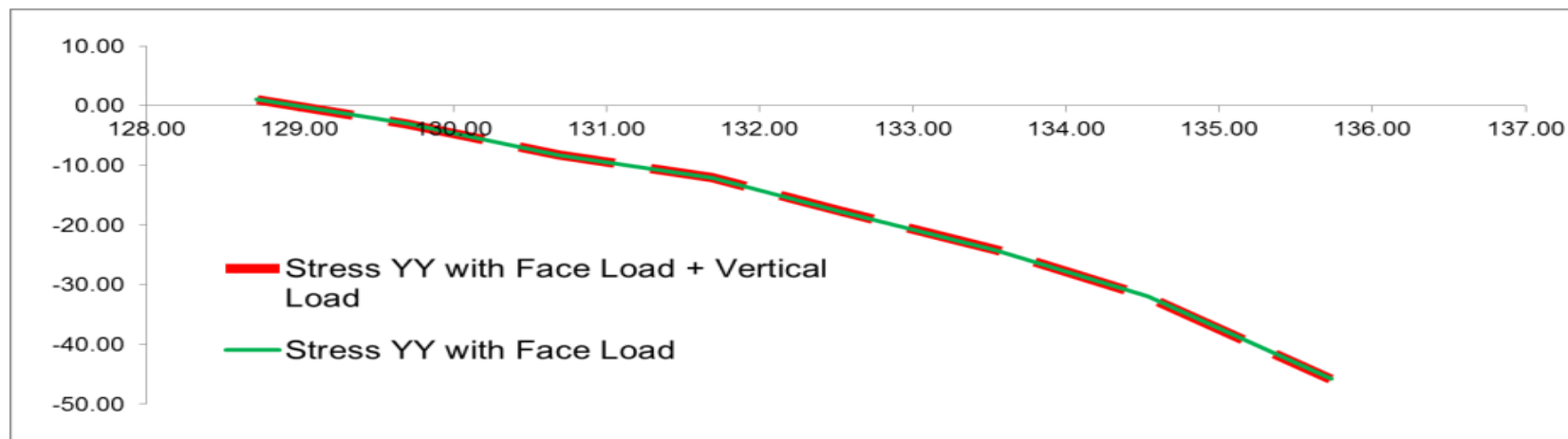
ნახ. 4.27:  $\sigma_y$  ძაბვები 2-2 კვეთში (6943 – 7152). წითელი და წყვეტილი ტებილი ხაზი -  $\sigma_y$  ძაბვები მეორე შემთხვევისათვის – ყველა ძალის ერთობლივი მოქმედება; მწვანე ტებილი ხაზი -  $\sigma_y$  ძაბვები პირველი შემთხვევისათვის – მხოლოდ საკუთარი წონა პირვოსტატიური დაწნევა სადაწნეო წახნაგზა.



ცხრილი 4.3:

Number	3
Elevation	174.38

Point	6962	7189	7419	7789	7792	7411	7184	6955
X	128.72	129.69	130.69	131.69	132.53	133.54	134.53	135.73
Y	174.38	174.38	174.38	174.38	174.38	174.38	174.38	174.38
Stress YY with Face Load	1.02	-3.04	-8.28	-12.06	-17.70	-24.21	-32.00	-45.78
Stress YY with Face Load + Vertical Load	1.02	-3.04	-8.28	-12.06	-17.70	-24.21	-32.00	-45.78
	99.98%	100.00%	100.00%	100.00%	100.00%	100.00%	100.00%	100.00%



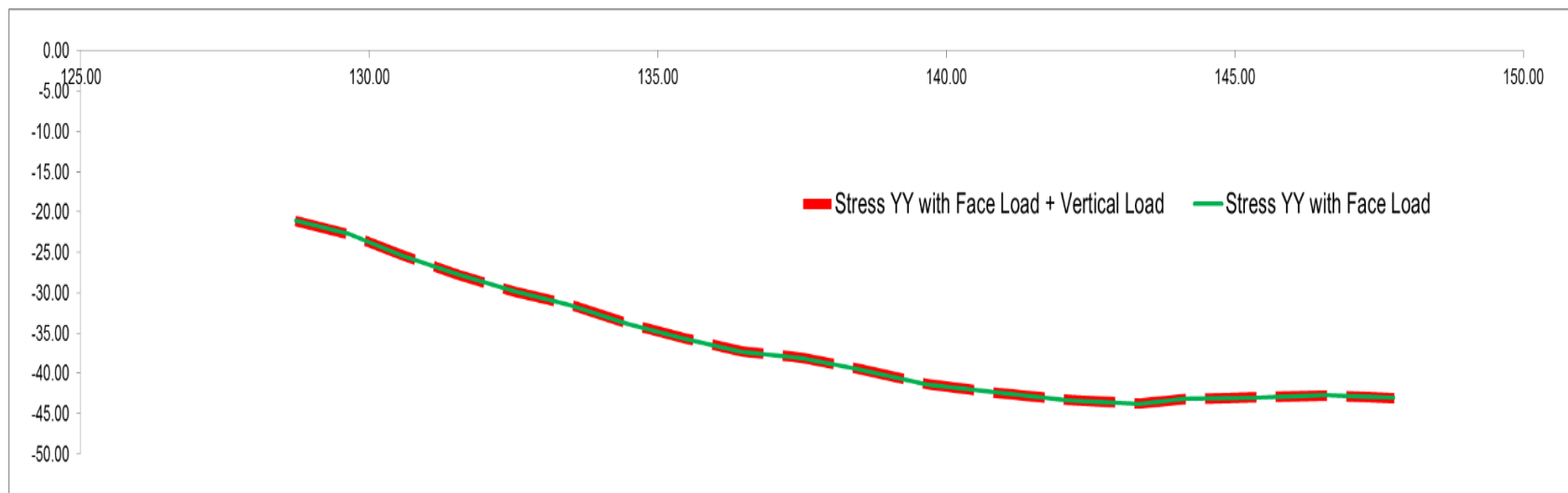
ნახ. 4.28:  $\sigma_y$  ძაბვები 3-3 პლანი (6962 – 6955). წითელი და წყვეტილი ტეხნიკი ხაზი -  $\sigma_y$  ძაბვები მეორე შემთხვევისათვის – ყველა ძალის ერთობლივი მოქმედება; მწვანე ტეხნიკი ხაზი -  $\sigma_y$  ძაბვები პირველი შემთხვევისათვის – მხოლოდ საკუთარი წონა პიდროსტატიკური დაწნევა სადაწნეო წახნაგზე.



ცხრილი 4.4:

Align	4
Elevation	157

Point	7001	7230	7467	7674	7674	7873	8043	8182	8307	8467	8531	8403	8275	8147	8091	7928	7669	7460	7233	7003
X	128.72	129.64	130.58	131.54	131.54	132.51	133.49	134.47	135.46	136.46	137.49	138.43	139.66	140.88	142.11	143.35	144.15	145.37	146.57	147.76
Y	157.00	157.00	157.00	157.00	157.00	157.00	157.00	157.00	157.00	157.00	157.00	157.00	157.00	157.00	157.00	157.00	157.00	157.00	157.00	157.00
Stress YY with Face Load	-21.04	-22.71	-25.38	-27.72	-27.72	-29.85	-31.51	-33.86	-35.67	-37.30	-38.06	-39.39	-41.37	-42.41	-43.30	-43.76	-43.16	-42.98	-42.75	-43.07
Stress YY with Face Load + Vertical Load	-21.10	-22.76	-25.41	-27.73	-27.73	-29.84	-31.49	-33.84	-35.65	-37.27	-38.04	-39.37	-41.36	-42.40	-43.30	-43.77	-43.16	-42.99	-42.77	-43.10
	99.71%	99.80%	99.90%	99.97%	99.97%	100.02%	100.05%	100.07%	100.07%	100.07%	100.07%	100.06%	100.04%	100.02%	100.01%	99.99%	99.99%	99.97%	99.95%	99.92%



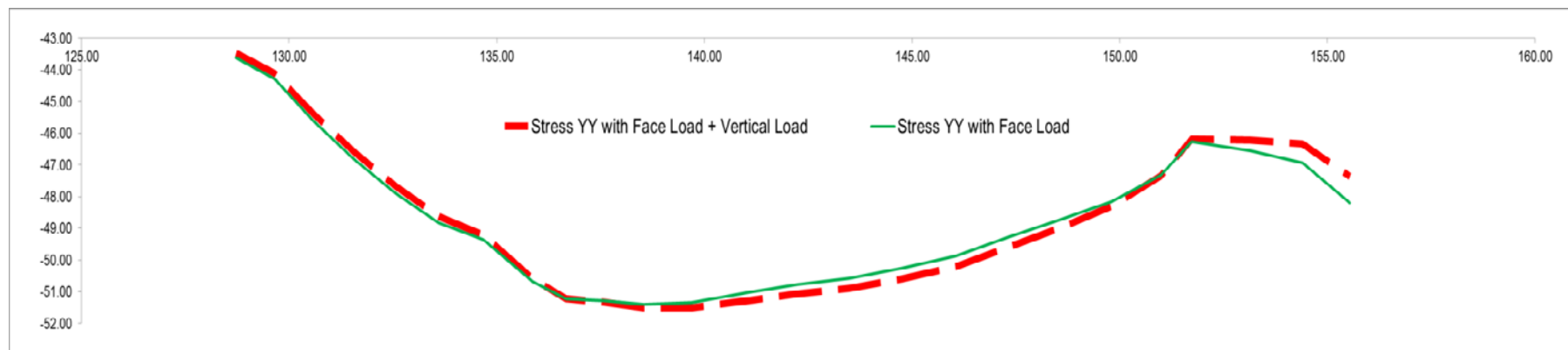
ნახ. 4.29:  $\sigma_y$  ძაბვები 4-4 კვეთში (7001 – 7003). წითელი და წყვეტილი ტებილი ხაზი -  $\sigma_y$  ძაბვები მეორე შემთხვევისათვის – უველა ძალის ერთობლივი მოქმედება; მწვანე ტებილი ხაზი -  $\sigma_y$  ძაბვები პირველი შემთხვევისათვის – მხოლოდ საკუთარი წონა პიდრობებაზე დაწევა სადაწნეო წახნაგ ზე.



*ცხრილი 4.5:*

Align	5
Elevation	146.38

Point	7016	7245	7475	7683	7971	8061	8138	8309	8498	8588	8640	8704	8749	8716	8647	8576	8461	8282	8187	8062	7895	7706	7478	7246	7017
X	128.72	129.65	130.59	131.56	132.56	133.60	134.69	135.86	136.67	137.59	138.55	139.69	141.08	142.24	143.48	144.77	146.05	147.31	148.56	149.81	150.99	151.73	153.15	154.40	155.54
Y	146.38	146.38	146.38	146.38	146.38	146.38	146.38	146.38	146.38	146.38	146.38	146.38	146.38	146.38	146.38	146.38	146.38	146.38	146.38	146.38	146.38	146.38	146.38	146.38	
Stress YY with Face Load	-43.62	-44.29	-45.63	-46.82	-47.90	-48.82	-49.36	-50.68	-51.23	-51.29	-51.41	-51.35	-51.03	-50.77	-50.57	-50.25	-49.87	-49.28	-48.73	-48.16	-47.31	-46.26	-46.55	-46.94	-48.20
Stress YY with Face Load + Vertical Load	-43.47	-44.11	-45.40	-46.59	-47.67	-48.62	-49.22	-50.59	-51.21	-51.33	-51.51	-51.52	-51.28	-51.07	-50.90	-50.59	-50.21	-49.59	-48.98	-48.30	-47.34	-46.19	-46.22	-46.33	-47.37
	100.35%	100.42%	100.49%	100.51%	100.48%	100.40%	100.30%	100.17%	100.02%	99.93%	99.81%	99.67%	99.51%	99.42%	99.36%	99.32%	99.33%	99.37%	99.50%	99.70%	99.94%	100.16%	100.72%	101.32%	101.75%



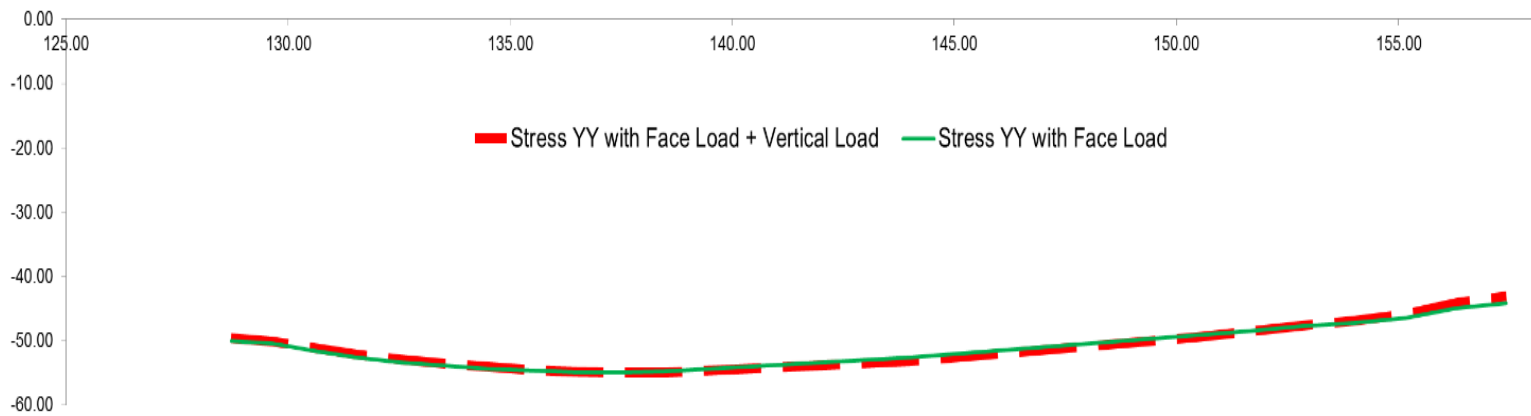
ნახ. 4.30:  $\sigma_y$  ძაბვები 5-5 კვეთში (7016 – 7017). წითელი და წყვეტილი ტეხნიკური ხაზი -  $\sigma_y$  ძაბვები მეორე შემთხვევისათვის – უკელა ძალის ერთობლივი მოქმედება; მწვანე ტეხნიკური ხაზი -  $\sigma_y$  ძაბვები პირველი შემთხვევისათვის – მხოლოდ ხაჯუთარი წონა პიდროსტატიური დაწნევა სადაწნეო წახნაგ ზე.



*ცხრილი 4.6:*

Align	6
Elevation	~ 143.88

Point	7034	7264	7597	7644	7843	8013	8162	8290	8399	8557	8619	8703	8264	8128	7967	7722	7510	7273	7043
X	128.72	129.65	130.60	131.55	132.54	133.54	134.56	135.55	136.53	137.51	138.47	144.00	150.43	151.62	152.80	153.98	155.16	156.31	157.43
Y	143.88	143.88	143.88	143.89	143.91	143.92	143.93	143.91	143.88	143.86	143.86	143.95	143.77	143.91	144.01	144.10	144.16	144.17	144.16
Stress YY with Face Load	-50.00	-50.50	-51.63	-52.58	-53.34	-53.93	-54.39	-54.70	-54.86	-54.90	-54.80	-52.60	-49.19	-48.47	-47.81	-47.25	-46.45	-45.01	-44.22
Stress YY with Face Load + Vertical Load	-49.60	-50.08	-51.19	-52.14	-52.95	-53.60	-54.15	-54.55	-54.82	-54.96	-54.97	-53.13	-49.49	-48.59	-47.73	-46.93	-45.84	-44.08	-43.07
	100.80%	100.84%	100.87%	100.84%	100.75%	100.62%	100.45%	100.26%	100.07%	99.88%	99.70%	99.00%	99.41%	99.75%	100.17%	100.70%	101.33%	102.09%	102.65%

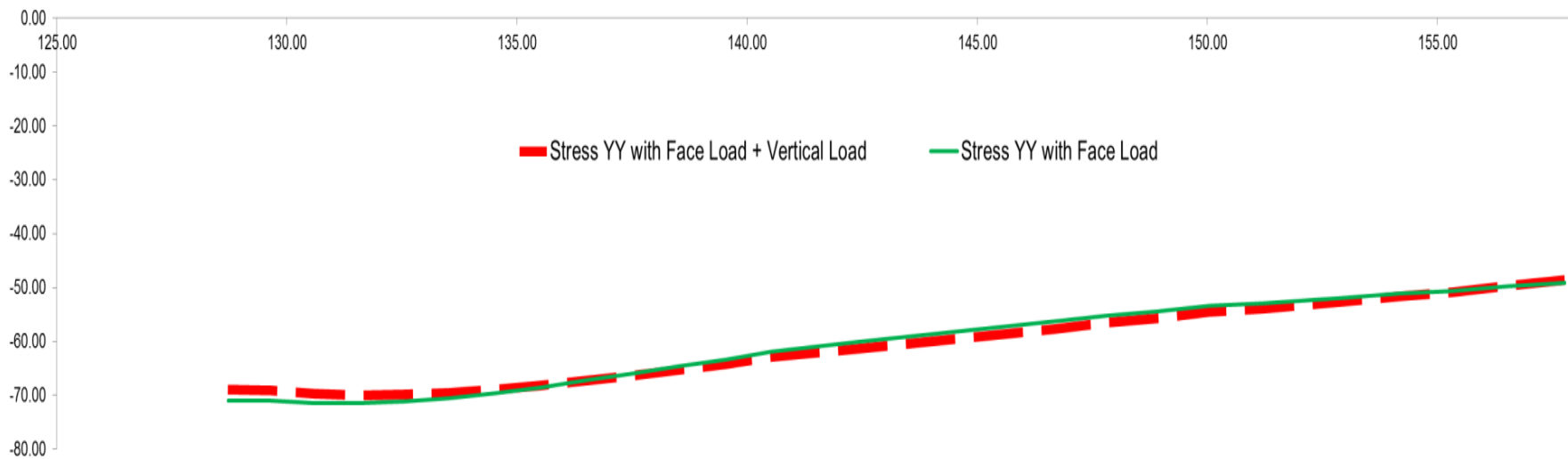


ნახ. 4.31:  $\sigma_y$  ძაბვები 6-ის კვეთში (7034 – 7043). წითელი და წყვეტილი ტენსილი ხაზი -  $\sigma_y$  ძაბვები მეორე შემთხვევისათვის – უკელა ძალის ერთობლივი მოქმედება; მწვანე ტენსილი ხაზი -  $\sigma_y$  ძაბვები პირველი შემთხვევისათვის – მხოლოდ საკუთარი წონა პიდროსტატიკური დაწნევება სადაწნეო წახნაგ ზე.

*ცხრილი 4.7:*

Align	7
Elevation	~ 137.2

Point	7062	7291	7513	7724	7891	8060	8211	8331	8445	8506	8591	8668	8722	7109	7115	8790	8734	8690	8606	8509	8453	8371	8217	8033
X	128.72	129.65	130.60	131.57	132.54	133.53	134.52	135.51	136.50	137.50	138.50	139.53	140.54	142.43	146.68	147.83	148.89	150.04	151.22	153.04	154.17	155.32	156.55	157.77
Y	137.20	137.21	137.20	137.19	137.18	137.17	137.16	137.15	137.14	137.15	137.18	137.23	137.20	137.20	136.91	136.91	136.90	136.94	136.91	136.51	136.58	136.62	136.70	136.78
Stress YY with Face Load	-70.97	-71.01	-71.46	-71.52	-71.19	-70.52	-69.61	-68.51	-67.28	-65.99	-64.70	-63.45	-61.89	-60.10	-56.29	-55.23	-54.43	-53.37	-52.92	-51.84	-51.19	-50.65	-49.79	-49.12
Stress YY with Face Load + Vertical Load	-69.00	-69.14	-69.71	-69.99	-69.93	-69.59	-69.00	-68.23	-67.31	-66.31	-65.26	-64.22	-62.85	-61.29	-57.67	-56.57	-55.67	-54.49	-53.87	-52.57	-51.68	-50.86	-49.70	-48.68
	102.85%	102.71%	102.50%	102.18%	101.79%	101.35%	100.89%	100.42%	99.95%	99.53%	99.15%	98.80%	98.46%	98.06%	97.61%	97.64%	97.76%	97.94%	98.23%	98.60%	99.05%	99.57%	100.17%	100.90%



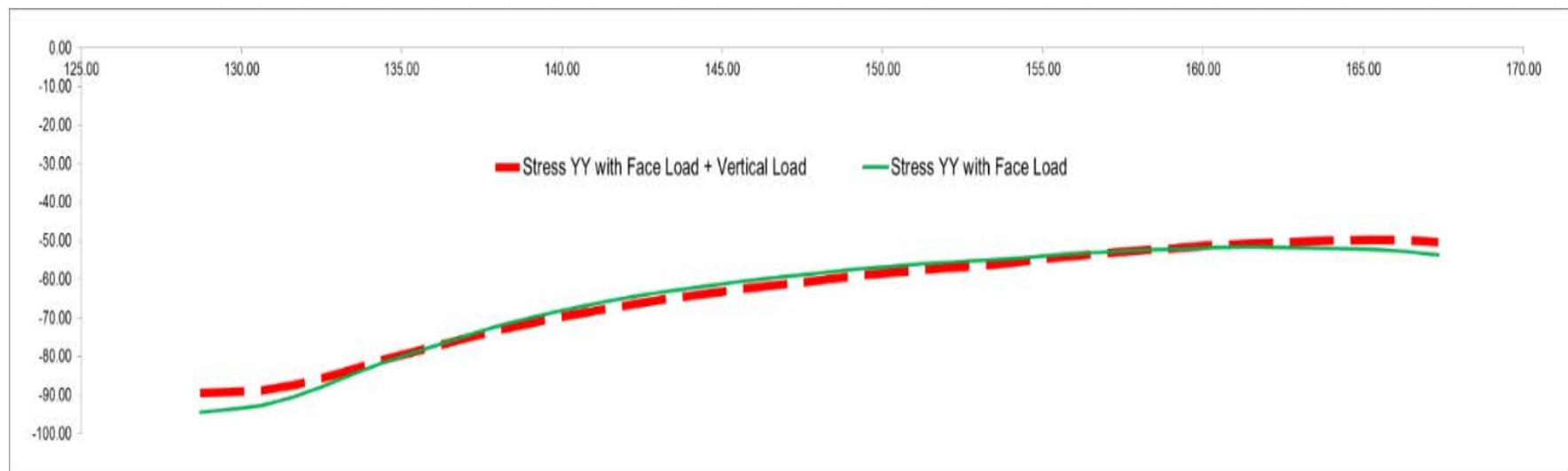
ნახ. 4.32:  $\sigma_y$  ძაბვები 7-7 კვეთში (7062 – 8033). წითელი და წყვეტილი ტეხნიკი ხაზი -  $\sigma_y$  ძაბვები მეორე შემთხვევისათვის – ყველა ძალის ერთობლივი მოქმედება; მწვანე ტეხნიკი ხაზი -  $\sigma_y$  ძაბვები პირველი შემთხვევისათვის – მხოლოდ საკუთარი წონა პიდროსტატიური დაწევება სადაწნევო წახნაგზე.



ცხრილი 4.8:

Align	8
Elevation	~1322

Point	7167	7390	7537	7702	7818	8059	8194	8537	8578	8541	8540	8500	8499	8559	8558	8587	8525	8524	8582	8581	8572	8539	8521	8520	8423	8328	8203	8018	7925	7726	7522	7296	7066
X	128.72	129.67	130.62	131.58	132.53	133.48	134.43	137.40	138.18	139.02	139.89	140.78	141.69	142.63	143.58	145.46	146.40	147.34	149.24	150.22	151.25	153.68	154.65	155.69	157.82	159.02	160.27	161.49	162.71	163.92	165.10	166.24	167.35
Y	132.20	132.20	132.21	132.23	132.25	132.27	132.30	132.07	131.95	131.89	131.86	131.86	131.89	131.91	131.94	132.00	132.03	132.06	132.15	132.23	132.36	132.41	132.40	132.25	132.28	132.23	132.29	132.35	132.40	132.46	132.50	132.51	132.49
Stress YY with Face Load	-94.45	-93.76	-92.72	-90.58	-87.77	-84.62	-81.48	-73.61	-71.65	-69.92	-68.23	-66.67	-65.21	-63.86	-62.67	-60.63	-59.74	-58.91	-57.34	-56.62	-55.96	-54.82	-54.18	-53.42	-52.52	-52.09	-51.72	-51.64	-51.74	-51.91	-52.22	-52.67	-53.55
Stress YY with Face Load + Vertical Load	-89.46	-89.23	-88.88	-87.57	-85.60	-83.26	-80.82	-74.52	-72.91	-71.42	-69.93	-68.53	-67.17	-65.91	-64.75	-62.70	-61.77	-60.88	-59.13	-58.29	-57.47	-55.97	-55.13	-54.11	-52.69	-51.99	-51.18	-50.67	-50.32	-50.01	-49.82	-49.77	-50.28
	105.58%	105.07%	104.32%	103.45%	102.53%	101.64%	100.82%	98.77%	98.27%	97.89%	97.56%	97.29%	97.07%	96.90%	96.79%	96.69%	96.71%	96.76%	96.97%	97.14%	97.37%	97.94%	98.29%	98.72%	99.88%	100.19%	101.06%	101.91%	102.83%	103.80%	104.80%	105.83%	106.50%



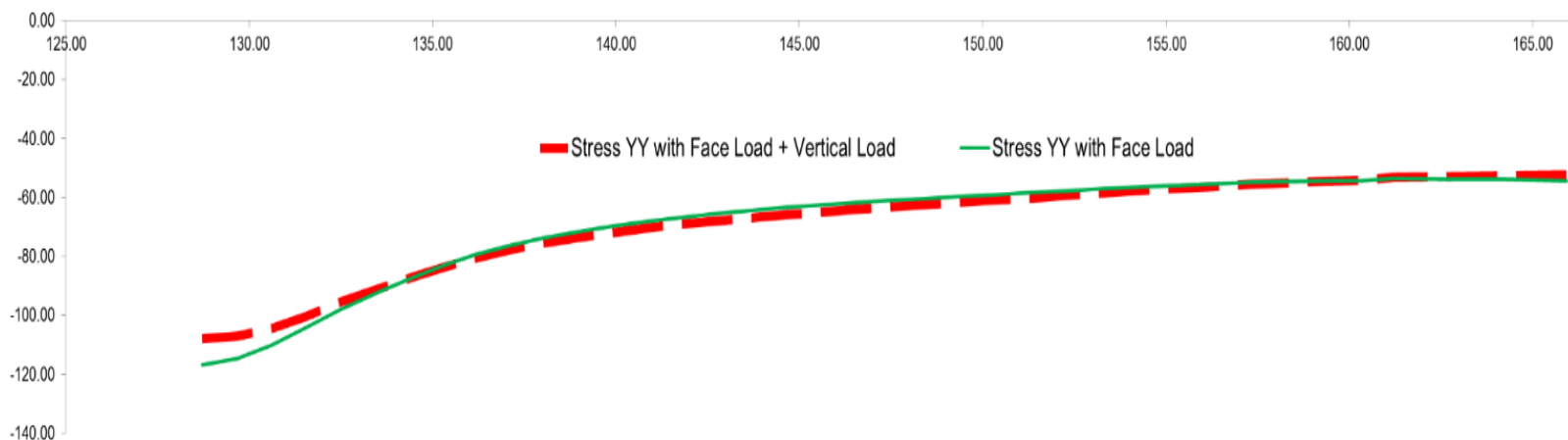
ნახ. 4.33:  $\sigma_y$  ძაბვები 7-7 კვეთში (7167 – 7066). წითელი და წყვეტილი ტეხნიკური ხაზი -  $\sigma_y$  ძაბვები მეორე შემთხვევისათვის – ყველა ძალის ერთობლივი მოქმედება; მწვანე ტეხნიკური ხაზი -  $\sigma_y$  ძაბვები პირველი შემთხვევისათვის – მხოლოდ საკუთარი წონა პიდროსტატიკური დაწნევა სადაწწევ წახნაგზე.



ცხრილი 4.9:

Align	9
Elevation	~ 129.5

Point	7154	7378	7548	7758	7816	8088	8172	8205	8204	8219	8218	8265	8266	8237	8177	8176	8179	8247	8169	8168	8192	8220
X	128.72	129.67	130.61	131.53	132.50	133.62	134.55	135.37	136.19	137.07	138.03	138.97	139.90	140.82	141.76	142.70	143.66	144.61	145.56	146.50	147.45	148.40
Y	129.50	129.50	129.50	129.50	129.50	129.50	129.50	129.50	129.50	129.50	129.50	129.50	129.50	129.50	129.50	129.50	129.50	129.50	129.50	129.50	129.50	129.50
Stress YY with Face Load	-116.72	-114.69	-110.29	-104.41	-97.95	-91.52	-86.74	-82.79	-79.46	-76.50	-73.76	-71.59	-69.80	-68.19	-66.83	-65.58	-64.52	-63.51	-62.65	-61.79	-61.11	-60.36
Stress YY with Face Load + Vertical Load	-107.95	-107.20	-104.59	-100.41	-95.53	-90.60	-86.54	-83.36	-80.50	-77.92	-75.54	-73.61	-71.98	-70.50	-69.22	-68.00	-66.95	-65.93	-65.04	-64.12	-63.36	-62.53
	108.13%	106.99%	105.45%	103.99%	102.53%	101.01%	100.23%	99.32%	98.71%	98.17%	97.65%	97.26%	96.96%	96.73%	96.56%	96.44%	96.36%	96.33%	96.33%	96.37%	96.44%	96.54%



ნახ. 4.34:  $\sigma_y$  ძაბვები 7-7 ძველი (7154 – 8220). წითელი და წყვეტილი ტეხნიკი ხაზი -  $\sigma_y$  ძაბვები მეორე შემთხვევისათვის – ყველა ძალის ერთობლივი მოქმედება; მწვანე ტეხნიკი ხაზი -  $\sigma_y$  ძაბვები პირველი შემთხვევისათვის – მხოლოდ ხაჯუთარი წონა პიდროსტატიკური დაწევება სადაწევო წახნაგზე.



ცხრილი 4.10:

Align	10
Elevation	~ 128.77

Point	7078	7306	7538	7626	7893	7979	7974	7806	7898	7950	7954	7946	7918	7811	7810	7923	7813	7941
X	128.72	129.67	130.58	131.44	132.26	133.04	133.72	135.47	136.34	137.21	138.11	139.02	139.94	140.86	141.80	142.75	143.70	145.61
Y	126.70	126.72	126.68	126.72	126.73	126.70	126.66	126.87	126.85	126.86	126.87	126.88	126.89	126.90	126.92	126.94	126.96	127.01
Stress YY with Face Load	-159.40	-138.14	-123.87	-114.59	-105.27	-97.15	-91.98	-82.37	-79.48	-76.50	-74.67	-72.47	-71.24	-69.47	-68.65	-67.17	-66.64	-65.01
Stress YY with Face Load + Vertical Load	-144.42	-127.63	-117.02	-110.06	-102.92	-96.27	-92.10	-83.67	-81.21	-78.53	-76.94	-74.89	-73.80	-72.09	-71.32	-69.85	-69.31	-67.60
	110.37%	108.23%	105.86%	104.12%	102.29%	100.92%	99.86%	98.46%	97.87%	97.42%	97.05%	96.76%	96.53%	96.37%	96.25%	96.18%	96.14%	96.17%



ნახ. 4.35:  $\sigma_y$  ძაბვები 10-10 პერში (7154 – 8220). წითელი და წყვეტილი ტეხილი ხაზი -  $\sigma_y$  ძაბვები მეორე შემთხვევისათვის – ყველა ძალის ერთობლივი მოქმედება; მწვანე ტეხილი ხაზი -  $\sigma_y$  ძაბვები პირველი შემთხვევისათვის – მხოლოდ საკუთარი წონა პიდროსტატიკური დაწნევა საღაწეო წახნაგზე.

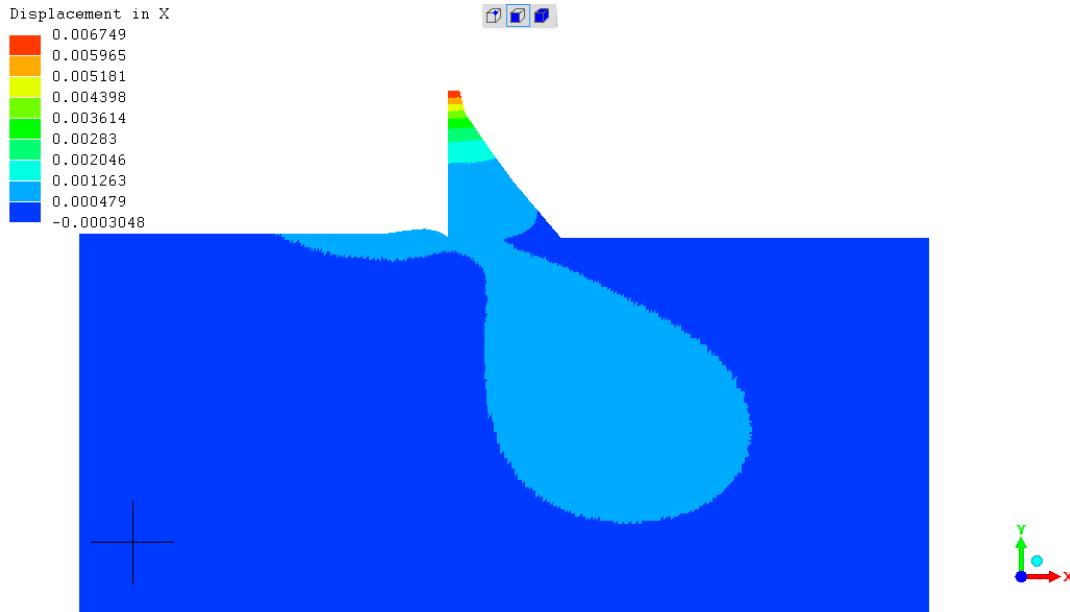
#### 4.5. სტატიკური ციკლური დატვირთების და ბეტონის ასაკის გავლენა გრეიისის კაშხლის დაძაბულ-დეფორმირებულ მდგომარეობაზე

ჩვენს ხელთ არსებული მონაცემებით გრეიისის კაშხალი ექსპლუატაციაშია 48 წელიწადი. ვინაიდან მისი წყალსაცავი სეზონური რეგულირებისაა, დაცლა-ავსების ციკლი  $n = 48$ .

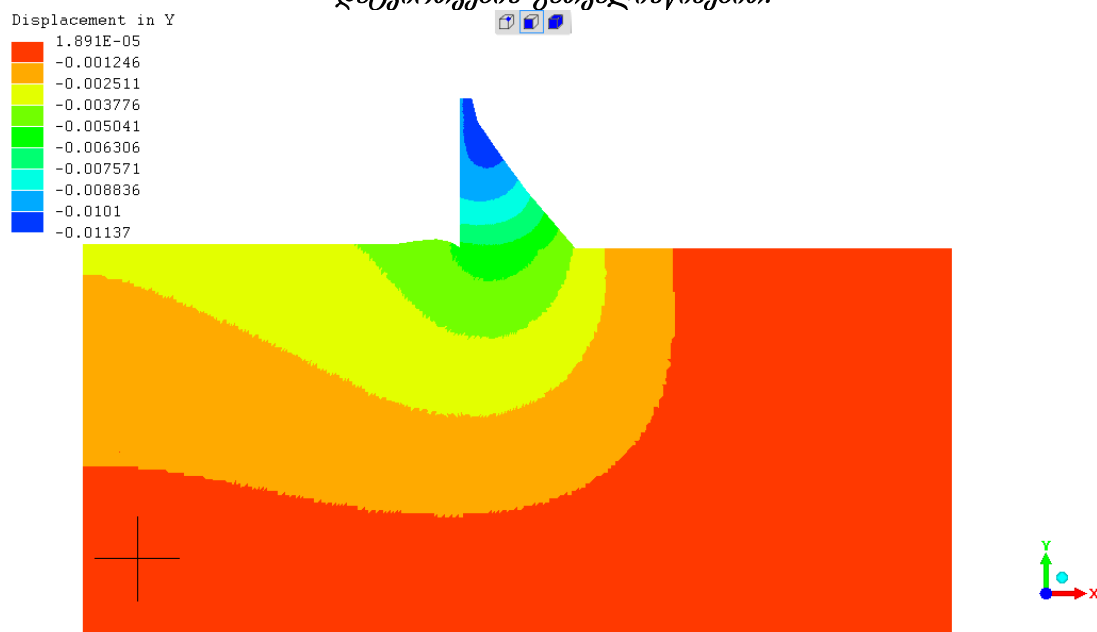
მესამე თავში აღწერილი მეთოდიკის გამოყენება სისტემის “გრეიისის კაშხალი – ფუძე” მოხდა შემდეგი თანმიმდევრობით.

1. თავდაპირველად გაანგარიშებული იქნა გრეიისის კაშხლის საპროექტო ვარიანტი კლდოვან ფუძესთან ერთად. კაშხლის აღებული იქნა საწყისი (საპროექტო) ბეტონის დრეკადობის მოდული  $E_0$ . კაშხალზე მოქმედებს მისი საკუთარი წონა და პიდროსტატიკური დაწევა როგორც სადაწნეო წახნაგზე, ასევე წყალსაცავის ფსკერზე. გაანგარიშებული იქნა გადაადგილები, დეფორმაციები, ძაბვის კომპონენტები, მთავარი ძაბვები და მათი მიმართულებებები როგორც ბადის ელემენტებში, ასევე კვანძებში;
2. მიღებული მაქსიმალური ძაბვები გაანალიზებული იქნა (3.4), (3.5), (3.6) და (3.7) გამოსახულებების საშუალებით. აგსება-დაცლის ციკლების რაოდენობა  $n = 48$  და ექსპლუატაციის წლების რაოდენობა  $t=48$  წელიწადი. ანალიზის შედეგად დადგინდა (3.4 და 3.5 პირობები), რომ დრეკადობის მოდულის მნიშვნელობა დავარდა  $E_{n=48} = 0,4 \cdot 10^6$  ტ/მ<sup>2</sup>-დე ციკლური დატვირთვების შედეგად. რაც შეეხება ასაკს, მისი გავლენა ბეტონის დრეკადობის მოდულზე დადებითია (3.6 და 3.7 პირობები). დრეკადობის მოდული გაიზარდა და გახდა -  $E_{t=48} = 2,7 \cdot 10^6$  ტ/მ<sup>2</sup>
3. სისტემა “გრეიისის კაშხალი-ფუძე” გაანგარიშებული იქნა მეორე სანგარიშო ეტაპზე მიღებული დრეკადობის მოდულის მოდიფიცირებული მნიშვნელობის გათვალისწინებით.

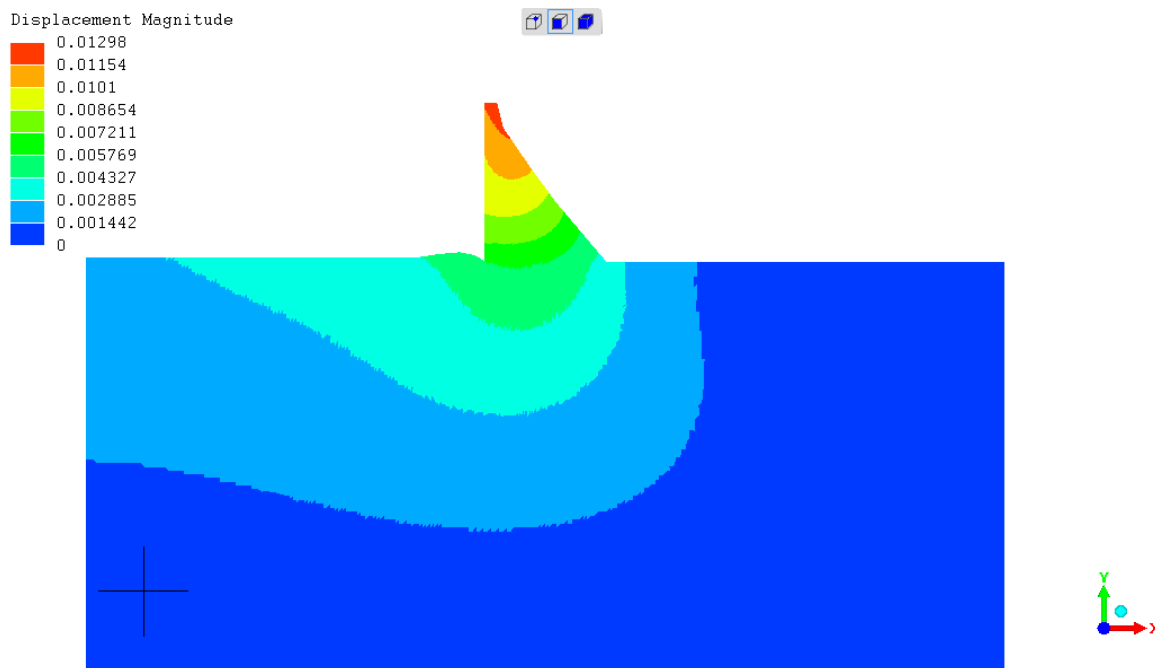
ნახ. 4.36 – 4.40 – ზე მოყვანილია გაანგარიშების ზოგიერთი შედეგი  
ნება სტატიკური ციკლების გათვალისწინებით, როდესაც  $n = 48$ .



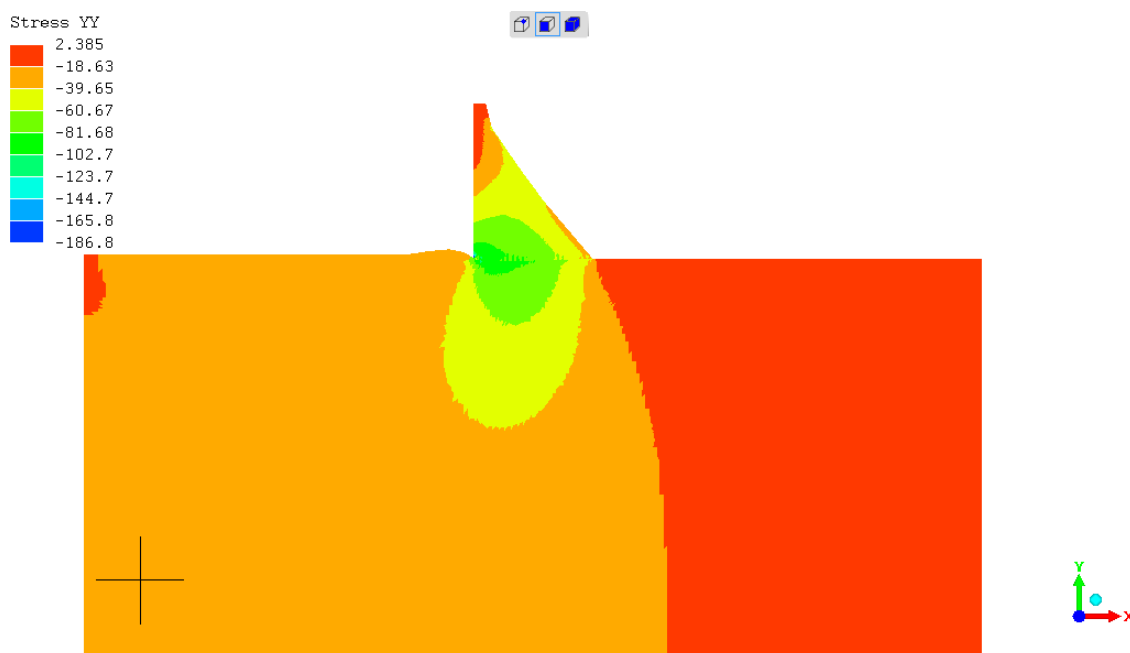
ნახ. 4.36: პორიზონტალური უ გადაადგილებების იზოუბნები სტატიკური ციკლური დატვირთვების გათვალისწინებით.



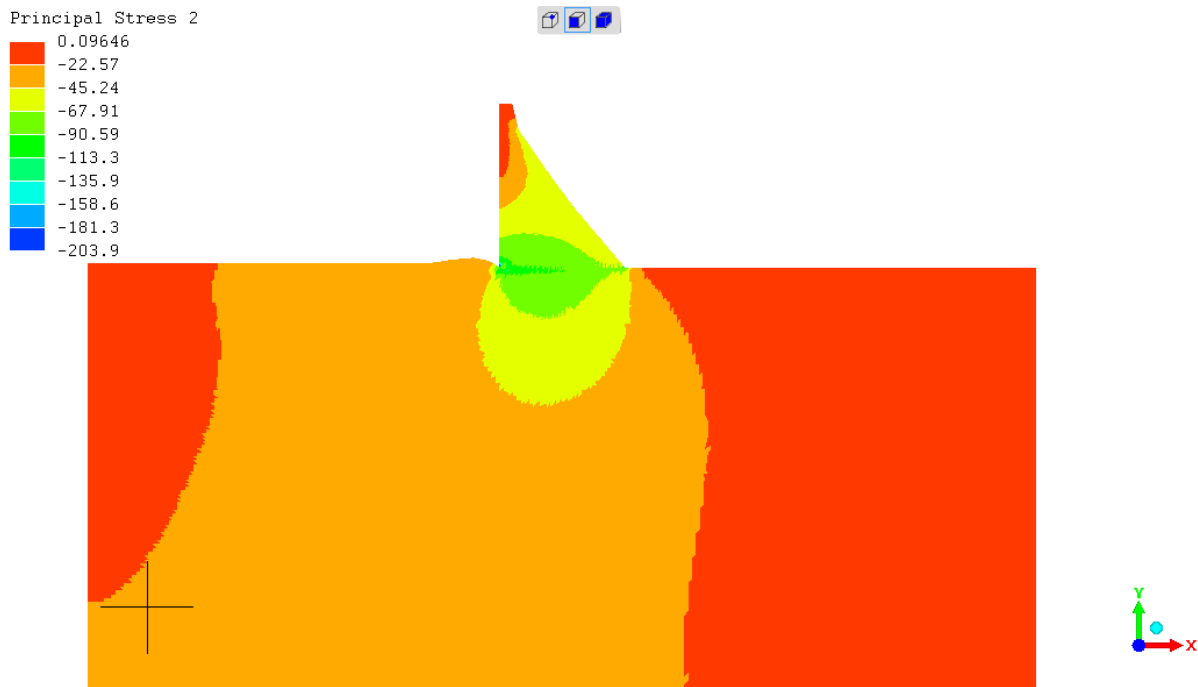
ნახ. 4.37: გერტიკალური უ გადაადგილებების იზოუბნები სტატიკური ციკლური დატვირთვების გათვალისწინებით.



ნახ. 4.38: გადაადგილებების მაგნიტუდების იზოუბნები სტატიკური ციკლური დატვირთვების გათვალისწინებით.



ნახ. 4.39: ძაბვების იზოუბნები სტატიკური ციკლური დატვირთვების გათვალისწინებით.



ნახ. 4.40: მაქსიმალური მთავარი ძაბვების იზოუბნები სტატიკური ციკლური დატვირთვების გათვალისწინებით.

ცხრილებში 4.11 – 4.19 და ნახ. 4.41 – 4.49-ზე მოყვანილია კაშხლის ტანის ზოგიერთ ჰორიზონტალურ კვეთში (ნახ. 4.25) ვერტიკალური ნორმალური ძაბვების მნიშვნელობები და ეპიურები იმ საანგარიშო შემთხვევისთვის, როდესაც სისტემაზე მოქმედებს კაშხლის საკუთარი წონა, ჰიდროსტატიკური დაწნევა სადაწნეო წახნაგზე და ვერტიკალური ჰიდროსტატიკური დაწნევა წყალსაცავის ფსკერზე. შედარებულია სამი სხვადასხვა შემთხვევა:

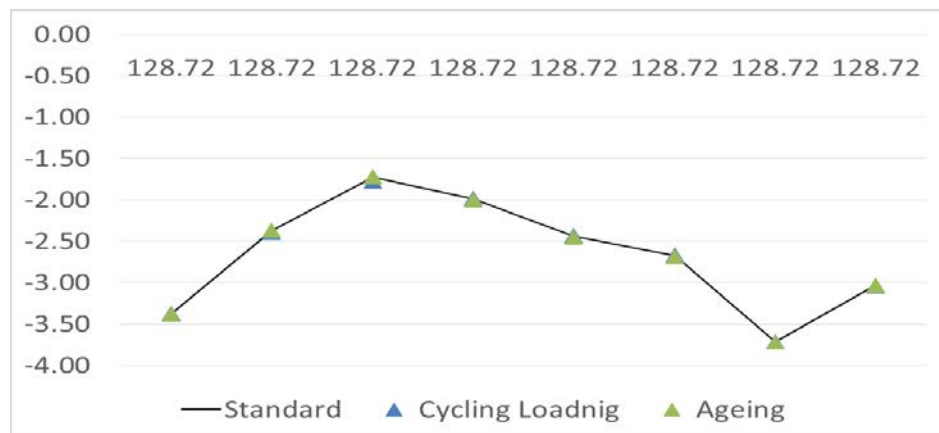
- სტანდარტული ანუ საპროექტო ვარიანტი - (ანგარიშებში ფიგურირებს ბეტონის საწყისი დრეკადობის მოდული);
- ნელი სტატიკური ციკლური დატვირთვების გათვალისწინებით ( $n = 48$ );
- ბეტონის ასაკის გათვალისწინებით ( $t=48$ ).

შედეგები ნათლად გვაჩვენებენ ყველა ზემოდ ჩამოთვლილი ფაქტორის გავლენის ხარისხს კაშხლის დაძაბულ დეფორმირებულ მდგომარეობაზე. ზოგადად შეიძლება ითქვას, რომ ციკლური დატვირთვები კაშხლის

დაძაბულ დეფორმირებულ მდგომარეობაზე უარყოფით გავლენას ახდენენ,  
მაშინ, როდესაც ბეტონის ასაკი პირიქით, აუმჯობესებს მის მექანიკურ  
მახასიათებლებს. გავლენის მირითადი ასპექტები გაშუქებულია  
დასკვნებში.

*ცხრილი 4.11:*

Align	2							
Elevation	182.88							
<hr/>								
Point	6943	7171	7392	7587	7403	7404	7376	7152
X	128.72	128.72	128.72	128.72	128.72	128.72	128.72	128.72
Standard	-3.38	-2.37	-1.72	-1.99	-2.44	-2.68	-3.71	-3.03
Cycling Loadnig	-3.36	-2.39	-1.78	-1.98	-2.43	-2.67	-3.71	-3.04
Ageing	-3.38	-2.36	-1.71	-2.00	-2.45	-2.68	-3.71	-3.03

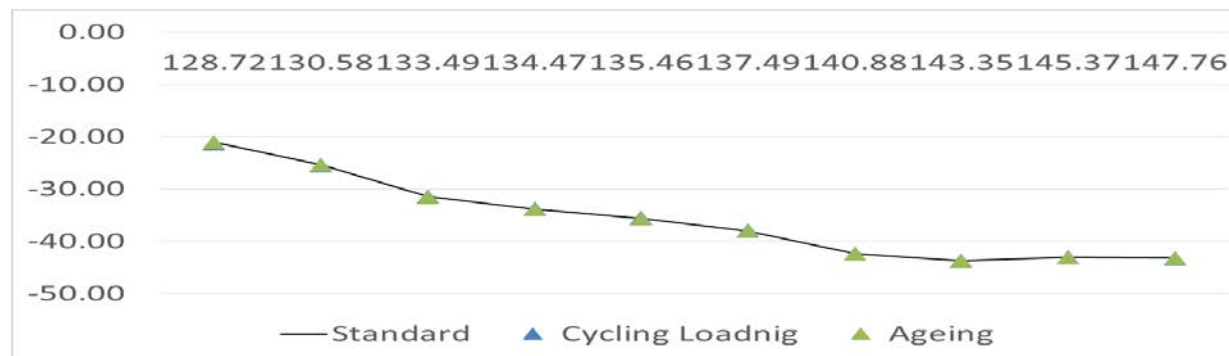


**ნახ. 4.41:** გერტიკალური ნორმალური  $\sigma_y$  ძაბულის ეპიურები მუ-2 კვეთში როდესაც  
სისტემაზე მოქმედებს კაშხლის საკუთარი წონა, პიღორსტატიკური წნევა საღაწნეო  
წახნაგზე და გერტიკალური პიღორსტატიკური დაწევვა წყალსაცავის ფსეურზე ( უწყვეტი  
ხაზი – საპროექტო გარიანტ, ცისფერი სამკუთხედი – ციკლური დატვირთვების  
გათვალისწინებით, მწვანე სამკუთხედი – ასაკის გათვალისწინებით).



ცხრილი 4.12:

Align	4									
Elevation	157									
Point	7001	7467	8043	8182	8307	8531	8147	7928	7460	7003
X	128.72	130.58	133.49	134.47	135.46	137.49	140.88	143.35	145.37	147.76
Standard	-21.11	-25.42	-31.50	-33.84	-35.65	-38.03	-42.39	-43.76	-43.00	-43.13
Cycling Loadnig	-21.34	-25.51	-31.44	-33.76	-35.55	-37.93	-42.35	-43.78	-43.05	-43.26
Ageing	-21.05	-25.40	-31.52	-33.87	-35.67	-38.05	-42.39	-43.75	-42.99	-43.12

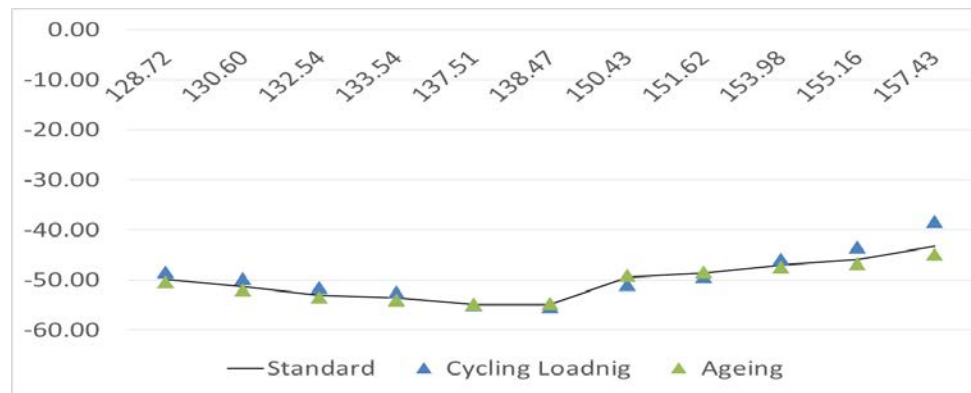


ნახ. 4.42: გერტიკალური ნორმალური  $\sigma_y$  ძაბვების ეპიურები მუ-4 კვეთში როდესაც სისტემაზე მოქმედებს კაშხლის საკუთარი წონა, პიდროსტატიკური წნევა სადაწნეო წახნაგზე და გერტიკალური პიდროსტატიკური დაწნევა წყალსაცავის ფსკერზე ( უწყვეტი ხაზი – საპროექტო გარიანტ, ცისფერი სამკუთხედი – ციკლური დატვირთვების გათვალისწინებით, მწვანე სამკუთხედი – ასაკის გათვალისწინებით).



ცხრილი 4.13:

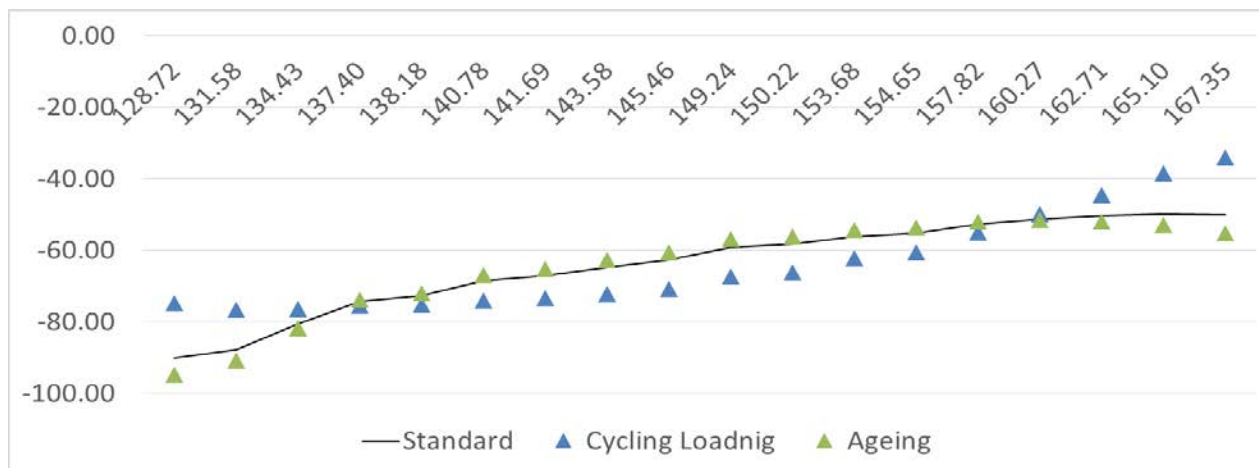
Align	6										
Elevation	~143.88										
Point	7034	7597	7843	8013	8557	8619	8264	8128	7722	7510	7043
X	128.72	130.60	132.54	133.54	137.51	138.47	150.43	151.62	153.98	155.16	157.43
Standard	-49.81	-51.34	-53.03	-53.65	-54.90	-54.88	-49.46	-48.60	-47.01	-45.97	-43.28
Cycling Loadnig	-48.33	-49.68	-51.50	-52.34	-54.99	-55.36	-50.86	-49.30	-45.77	-43.45	-38.29
Ageing	-50.40	-51.92	-53.52	-54.05	-54.82	-54.68	-49.03	-48.39	-47.42	-46.79	-44.89



ნახ. 4.43: გერტიკალური ნორმალური  $\sigma_y$  ძაბვების გაიურები მუნ კვეთში როდესაც სისტემაზე მოქმედებს კაშხლის საკუთარი წონა, პიღროსტატიკური წნევა სადაწნეო წახნაგზე და გერტიკალური პიღროსტატიკური დაწნევა წყალსაცავის ფსკერზე ( უწყვეტი ხაზი – საპროექტო გარიანტ, ცისფერი სამკუთხედი – ციკლური დატვირთვების გათვალისწინებით, მწვანე სამკუთხედი – ასაკის გათვალისწინებით).

ცხრილი 4.14:

Align	8
Elevation	~132.2
<hr/>	
Point	7167
X	128.72
Standard	-90.18
Cycling Loadnig	-74.76
Ageing	-94.88
7702	131.58
8194	134.43
8537	137.40
8578	138.18
8500	140.78
8499	141.69
8558	143.58
8587	145.46
8582	149.24
8581	150.22
8539	153.68
8521	154.65
8423	157.82
8203	160.27
7925	162.71
7522	165.10
7066	167.35



ნახ. 4.44: გერტიკალური ნორმალური  $\sigma_y$  ძაბვების გაიურები მუ-8 კვეთში როდესაც სისტემაზე მოქმედებს კაშხლის საკუთარი წონა, პიდროსტატიკური წნევა სადაწნევ წახნაგზე და გერტიკალური პიდროსტატიკური დაწნევა წყალსაცავის ფსკერზე ( უწყებები ხაზი – საპროექტო გარიანტ, ცისფერი სამკუთხედი – ციკლური დატვირთვების გათვალისწინებით, მწვანე სამკუთხედი – ასაკის გათვალისწინებით).



*ცხრილი 4.15:*

Align	9																			
Elevation	-129.5																			
Point	7154	7378	7548	7758	7816	8088	8172	8205	8204	8219	8218	8265	8266	8237	8177	8176	8179	8247	8169	8168
X	128.72	129.67	130.61	131.53	132.50	133.62	134.55	135.37	136.19	137.07	138.03	138.97	139.90	140.82	141.76	142.70	143.66	144.61	145.56	146.50
Standard	-108.77	-107.67	-104.70	-100.30	-95.30	-90.31	-86.24	-83.06	-80.25	-77.72	-75.37	-73.47	-71.89	-70.43	-69.18	-67.99	-66.97	-65.96	-65.09	-64.19
Cycling Loadnig	-83.75	-84.88	-85.51	-85.13	-84.38	-83.80	-82.28	-81.74	-80.86	-80.11	-79.38	-78.71	-78.13	-77.49	-76.92	-76.27	-75.69	-75.01	-74.37	-73.63
Ageing	-116.07	-114.18	-109.99	-104.34	-98.09	-91.82	-87.08	-83.19	-79.90	-76.95	-74.21	-72.02	-70.20	-68.56	-67.15	-65.84	-64.72	-63.64	-62.71	-61.77
8192	8220	8228	8209	8208	8213	8243	8242	8246	8234	8233	8158	8157	8216	8394	8255	8089	7912			
147.45	148.40	149.36	150.33	151.30	152.29	153.27	154.26	155.27	156.30	157.30	158.35	159.34	160.29	161.19	162.81	164.27	165.92			
-63.45	-62.63	-61.89	-61.09	-60.36	-59.50	-58.69	-57.86	-57.10	-56.41	-55.70	-55.05	-54.65	-54.29	-53.30	-52.97	-52.53	-52.26			
-72.96	-72.12	-71.27	-70.24	-69.19	-67.90	-66.58	-65.09	-63.57	-61.97	-60.26	-58.42	-56.82	-55.26	-52.74	-50.24	-46.99	-43.51			
-61.01	-60.19	-59.47	-58.71	-58.05	-57.28	-56.59	-55.91	-55.31	-54.84	-54.37	-54.02	-53.93	-53.87	-53.26	-53.47	-53.84	-54.47			



ნახ. 4.45: გერტიკალური ნორმალური ს ძაბვების ეპიურები მუ-9 კვეთში როდესაც სისტემაზე მოქმედებს კაშხლის საკუთარი წონა, პიდროსტატიკური წნევა სადაწნეო წახნაგზე და გერტიკალური პიდროსტატიკური დაწნევა წყალსაცავის ფსკერზე ( უწყვეტი ხაზი – საპროექტო გარიანტი, ცისფერი სამკუთხედი – ციკლური დატვირთვების გათვალისწინებით, მწვანე სამკუთხედი – ასაკის გათვალისწინებით).

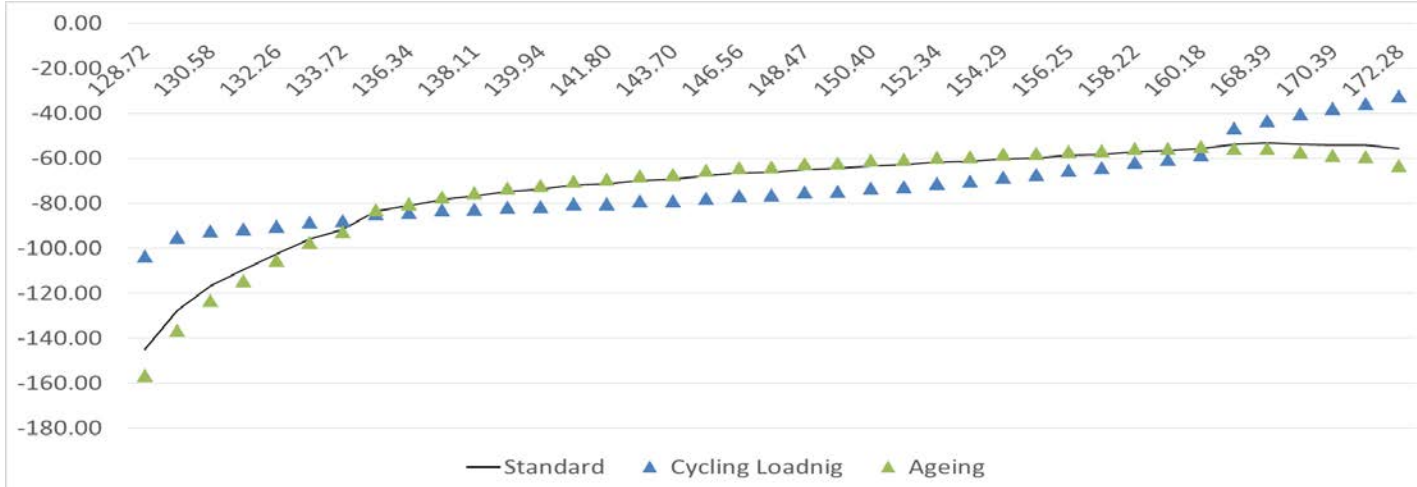


ცხრილი 4.16:

Align	10
Elevation	-128.77

Point	7078	7306	7538	7626	7893	7979	7974	7806	7898	7950	7954	7946	7918	7811	7810	7923	7813	7941	7823	7822	7862
X	128.72	129.67	130.58	131.44	132.26	133.04	133.72	135.47	136.34	137.21	138.11	139.02	139.94	140.86	141.80	142.75	143.70	145.61	146.56	147.51	148.47
Y	126.70	126.72	126.68	126.72	126.73	126.70	126.66	126.87	126.85	126.86	126.87	126.88	126.89	126.90	126.92	126.94	126.96	127.01	127.03	127.06	127.10
Stress YY with Face Load	-159.41	-138.13	-123.85	-114.57	-105.25	-97.14	-91.96	-82.36	-79.47	-76.50	-74.66	-72.47	-71.25	-69.47	-68.65	-67.18	-66.64	-65.02	-63.91	-63.61	-62.48
Stress YY with Face Load + Vertical Load	-237.74	-209.77	-188.86	-173.70	-157.48	-142.97	-132.69	-113.85	-107.16	-100.57	-95.55	-90.24	-86.24	-81.74	-78.42	-74.48	-71.65	-65.71	-62.59	-60.37	-57.42
	67.05%	65.85%	65.58%	65.96%	66.83%	67.94%	69.31%	72.34%	74.16%	76.06%	78.14%	80.30%	82.61%	84.99%	87.55%	90.20%	93.02%	98.94%	102.10%	105.37%	108.83%

7861	7900	7899	7931	7930	7938	7933	7932	7949	7948	7937	7922	7760	7611	7622	7491	7370	7134
149.43	150.40	151.37	152.34	153.31	154.29	155.26	156.25	157.24	158.22	159.20	160.18	167.49	168.39	169.50	170.39	171.25	172.28
127.13	127.17	127.20	127.23	127.27	127.30	127.34	127.37	127.40	127.43	127.45	127.48	126.67	126.70	126.72	126.67	126.58	126.68
-62.20	-61.14	-60.92	-59.87	-59.64	-58.61	-58.39	-57.40	-57.25	-56.25	-56.14	-55.39	-55.86	-55.70	-56.96	-57.95	-58.41	-60.84
-55.34	-52.65	-50.76	-48.23	-46.47	-44.10	-42.44	-40.20	-38.66	-36.57	-35.23	-33.50	-27.30	-25.77	-24.82	-24.10	-23.66	-23.05
112.39%	116.14%	120.02%	124.14%	128.35%	132.90%	137.60%	142.78%	148.07%	153.81%	159.35%	165.36%	204.60%	216.18%	229.45%	240.45%	246.83%	264.01%



ნახ. 4.46: გერტიკალური ნორმალური  $\sigma_y$  ძაბულის ეპიზოდი მე-10 კვეთში როდესაც სისტემაზე მოქმედებს კაშხლის საკუთარი წონა, პიროვსტატიკური წევება სადაწნეო წახნაგზე და გერტიკალური პიროვსტატიკური დაწნევა წყალსაცავის ფერებზე ( უწყვეტი ხაზი – საპროექტო გარიანტ, ცისფერი სამკუთხედი – ციკლური დატვირთვების გათვალისწინებით, მწვანე სამკუთხედი – ასაკის გათვალისწინებით).

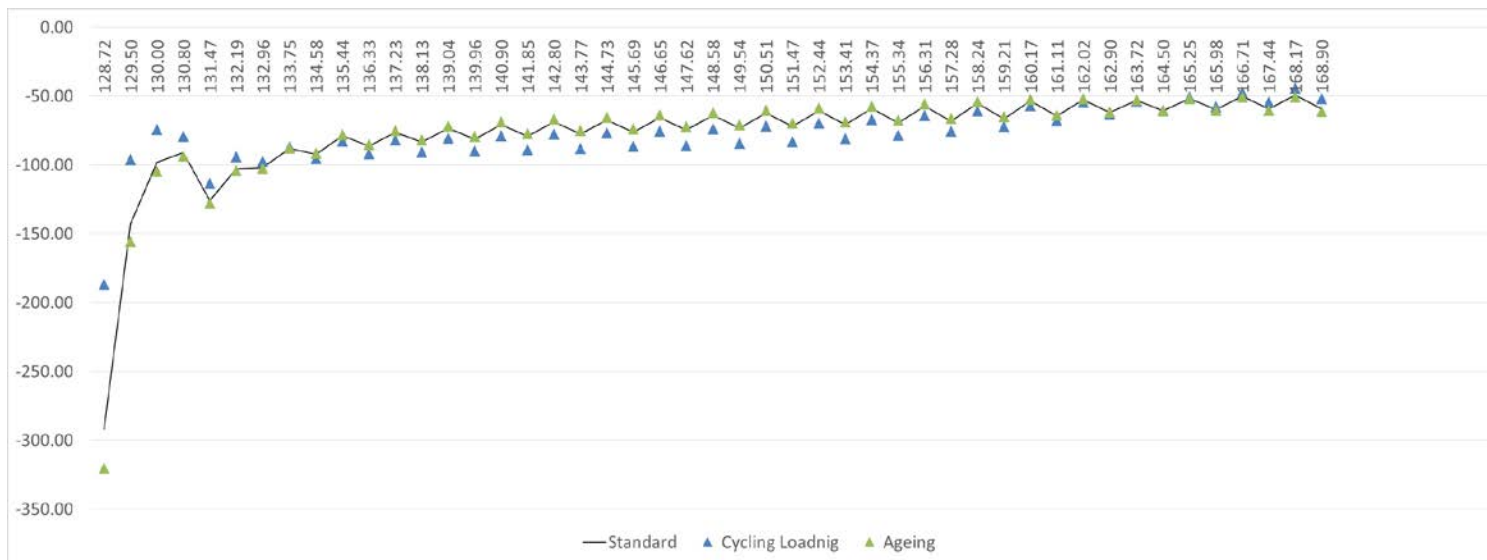


*ცხრილი 4.17:*

Align	11																								
Elevation	124.5																								

Point	7080	7310	7391	7312	7311	7388	7383	7382	7325	7324	7326	7348	7328	7327	7329	7358	7331	7330	7332	7359	7334	7333
X	128.72	129.50	130.00	130.80	131.47	132.19	132.96	133.75	134.58	135.44	136.33	137.23	138.13	139.04	140.90	141.85	142.80	143.77	144.73	145.69	146.65	
Standard	-292.22	-143.05	-98.23	-90.99	-125.86	-102.69	-101.77	-87.87	-92.38	-78.99	-86.38	-76.25	-83.42	-73.47	-81.22	-70.78	-79.23	-68.82	-77.53	-67.43	-76.07	-65.90
Cycling Loadning	-186.77	-95.90	-73.99	-79.17	-113.29	-94.09	-97.39	-86.98	-95.10	-82.57	-91.69	-81.85	-90.65	-80.55	-89.84	-78.85	-88.88	-77.68	-87.99	-76.66	-86.57	-75.34
Ageing	-320.08	-155.50	-104.64	-93.66	-127.87	-104.00	-102.45	-87.78	-91.57	-78.02	-85.10	-74.89	-81.73	-71.80	-79.23	-68.89	-77.01	-66.76	-75.13	-65.28	-73.64	-63.69

7335	7360	7337	7336	7338	7361	7340	7339	7341	7362	7343	7342	7344	7363	7350	7349	7351	7352	7346	7345	7347	7389	7173	7172	7174
147.62	148.58	149.54	150.51	151.47	152.44	153.41	154.37	155.34	156.31	157.28	158.24	159.21	160.17	161.11	162.02	162.90	163.72	164.50	165.25	165.98	166.71	167.44	168.17	168.90
-74.72	-64.04	-73.41	-62.33	-72.18	-60.72	-70.97	-59.09	-69.64	-57.29	-68.07	-55.37	-66.53	-53.33	-64.45	-52.56	-62.10	-53.04	-60.87	-51.78	-60.02	-50.21	-59.25	-49.42	-59.36
-85.75	-73.62	-84.41	-71.68	-82.83	-69.46	-80.75	-66.94	-78.34	-64.04	-75.45	-60.72	-71.97	-56.97	-67.77	-54.54	-63.41	-53.41	-60.44	-50.57	-57.61	-47.16	-54.48	-44.11	-51.82
-72.15	-61.78	-70.83	-60.12	-69.66	-58.63	-68.63	-57.19	-67.51	-55.63	-66.23	-54.00	-65.09	-52.33	-63.46	-51.93	-61.57	-52.76	-60.75	-51.88	-60.34	-50.75	-60.16	-50.51	-60.98



ნახ. 4.47: გერტიკალური ნორმალური ძაბულის გაიურები მე-11 პერიოდი როდესაც სისტემაზე მოქმედებს კაშხლის საკუთარი წონა, პიდროსტატიკური წევება სადაწევო წახნაგზე და გერტიკალური პიდროსტატიკური დაწევება წყალსაცავის ფსკერზე ( უწყვეტი ხაზი – საპროექტო გარიანტ, ცისფერი სამკუთხედი – ციკლური დატვირთვების გათვალისწინებით, მწვანე სამკუთხედი – ასაკის გათვალისწინებით).

## დასპანები

1. დიდი ხნის განმავლობაში ექსპლუატაციაში მყოფი ბეტონის კაშხლების არსებული დაძაბულ-დეფორმირებული მდგომარეობის ანგარიშისას აუცილებელია მიღებული იქნას მხედველობაში მისი ექსპლოატაციის ისტორია.
2. ექსპლუატაციის ისტორის გათვალისწინებისას უნდა ჩატარდეს:
  - ა) ბეტონის არაწრფივი დრეკადი რღვევის განმსაზღვრელი მოდელის შერჩევა ბრტყელი დეფორმაციის პირობებისათვის;
  - ბ) საკონტაქტო ზონის განმსაზღვრელი მოდელის შერჩევა;
  - გ) ცოცვადობის დეფორმაციების ანგარიში;
  - დ) კაშხალის ტანში ბზარის გაჩენისა და გავრცელების ანალიზი;
  - ე) წყალსაცავის ავსება-დაცლის ციკლების რაოდენობის გავლენის ანალიზი ბეტონის მექანიკურ მახასიათებლებზე, კერძოდ მის დრეკადობის მოდულზე;
  - ვ) ბეტონის ასაკის გავლენის ანალიზი ბეტონის მექანიკურ მახასიათებლებზე, კერძოდ მის დრეკადობის მოდულზე;
3. ნელი სტატიკური ციკლური დატვირთვა (წყალსაცავის ავსება-დაცლის ციკლები) იწვევს გრავიტაციული კაშხლის ბეტონის მექანიკური მახასიათებლების საგრძნობ ცვლილებას, კერძოდ ციკლების რიცხვის გაზრდის შედეგად საგრძნობლად მცირდება ბეტონის მექანიკური მახასიეთებელი – დრეკადობის მოდული.
4. დრეკადობის მოდულის გაუარესების მაჩვენებელი და ბეტონის სიმტკიცე პირდაპირ დამოკიდებულია ძაბვით მდგომარეობაზე. მაგალითად, ბეტონის დრეკადობის მოდულის მნიშვნელობა მცირდება 51,5% -ით (39780-დან 19300 მპა-დე) 150 დატვირთვა-განტვირთვის ციკლის მოდების შემდეგ, როდესაც მოდებული ძალისგან გამოწვეული ძაბვა ტოლია  $0.2\sigma_c$  -ის, სადაც  $\sigma_c$  არის ბეტონის სიმტკიცე ერთდერძა კუმშვის დროს. როდესაც მოდებული ძალისგან გამოწვეული ძაბვა ტოლია  $0.5\sigma_c$  -ის, დრეკადობის მოდულის მნიშვნელობა მცირდება 29,3% -ით (33390-დან 23620 მპა-დე) 150 დატვირთვა-განტვირთვის ციკლის მოდების შემდეგ. როდესაც მოდებული ძალისგან გამოწვეული ძაბვა

- ტოლია 0.8σ<sub>c</sub> –ის, დრეკადობის მოდულის მნიშვნელობა მცირდება 20,9% -ით (28390-დან 22500 მპა-დე) 150 დატვირთვა-განტვირთვის ციკლის მოდების შემდეგ;
5. მასალის მახასიათებლების და ბეტონის სიმტკიცის გაუარესების ხარისხი სტატიკური ციკლური დატვირთვების დროს დამოკიდებულია აგრეთვე გამოსაცდელი ბეტონის ნიმუშის ასაკზე. მაგალითად, 28 დღის ასაკის ბეტონის ნიმუშის დრეკადობის მოდულის მნიშვნელობა მცირდება 51,5%-ით (39780-დან 19300 მპა-დე) 150 დატვირთვა-განტვირთვის ციკლის მოდების შემდეგ და როდესაც მოდებული ძალისგან გამოწვეული ძაბვა ტოლია 0.2σ<sub>c</sub> –ის. ამავე დროს, 365 დღის (1 წელიწადი) ასაკის ბეტონის ნიმუშის დრეკადობის მოდულის მნიშვნელობა მცირდება 49,0%-ით (39830-დან 21750 მპა-დე) 150 დატვირთვა-განტვირთვის ციკლის მოდების შემდეგ და როდესაც მოდებული ძალისგან გამოწვეული ძაბვა ტოლია 0.2σ<sub>c</sub> –ის. 1825 დღის (5 წელიწადი) ასაკის ბეტონის ნიმუშის დრეკადობის მოდულის მნიშვნელობა მცირდება 42,0%-ით (42460-დან 20310 მპა-დე) იგივე რაოდენობის დატვირთვა-განტვირთვის ციკლის მოდების შემდეგ და როდესაც მოდებული ძალისგან გამოწვეული ძაბვა ტოლია 0.2σ<sub>c</sub> –ის.
6. ნელი სტატიკური ციკლური დატვირთვა იწვევს ინტერფეისების (კაშხლისა და ფუძის საკონტაქტო სიბრტყე, ბეტონის ფენებს შორის საკონტაქტო სიბრტყეები) მასალის მახასიათებლის (ძვრის მოდული) მნიშვნელოვან ვარდნას;
7. გრიესის გრავიტაციული კაშხლის (შვეიცარია) მაგალითზე შესწავლილი იქნა წყალსაცავის ფსკერზე ვერტიკალური ჰიდროსტატიკური ძალის გავლენა კაშხლის დაძაბულ-დეფორმირებულ მდგომარეობაზე. შედეგების ანალიზი გვიჩვენებს რომ ვერტიკალურ ჰიდროსტატიკურ დაწნევას წყალსაცავის ფსკერზე აქვს შესამჩნევი გავლენა კაშხლის წახნაგებზე ძაბვების მნიშვნელობებზე საკონტაქტო ზედაპირთან ახლოს. ზემოდ ეს გავლენა მცირდება. უშუალოდ კაშხლის ტანზი ზოგადად ეს გავლენა უმნიშვნელოა;
8. გრიესის კაშხლის ანგარიშის შედეგები აჩვენებს, რომ სტატიკური ციკლური დატვირთვა (ჩვენს შემთხვევაში 48 ციკლი) მნიშვნელოვნად ცვლის კაშხლის დაძაბულ დეფორმირებულ მდგომარეობას ინტერფეისის ზონაში. ზოგადად ეს

გავლენა გრცელდება დაახლოებით ინტერფეისიდან ზემოდ კაშხლის 1/4 სიმაღლეზე. ზოგადად შეიძლება ითქვას, რომ ციკლური დატვირთვები კაშხლის დაძაბულ დეფორმირებულ მდგომარეობაზე უარყოფით გავლენას ახდენენ, მაშინ, როდესაც ბეტონის ასაკი პირიქით, აუმჯობესებს მის მექანიკურ მახასიათებლებს.

## ლიტერატურა

1. მოწონელიძე, ნ., პიდროტექნიკის ნაგებობები, ნაწილი I, “განათლება, თბილისი, 1977
2. Гудушаури, И.И. Балочный метод расчета гравитационных плотин треугольного сечения. Известия ТНИИСГЕИ, том 10(44). Госэнергоиздат, М., 1968
3. Флорин, В.А. Расчеты оснований гидротехнических сооружений, Стройиздат, 1948 г
4. Моцонелидзе, А.Н., Полуаналитическое решение задачи определения напряженно-деформированного состояния бетонных плотин. Труды ГПИ, в сб. «Проектирование и строительство гидротехнических сооружений», №8(278), Тбилиси, 1984, с. 34-38
5. Калабегишвили, М., Влияние очередности возведения плотины на ее напряженное состояние. Научные труды ГПИ №1(313), Тбилиси, 1987, сс. 50-54
6. Алберг. Дж., Нильсон, Э., Уолш, Дж. Теория сплайнов и ее приложения – М., Мир, 1972, 316 с.
7. Моцонелидзе, А.Н., Использование сплайн-функции для интерполяции криволинейных поверхностей бетонных плотин. Сообщения АН ГССР, Тбилиси, т.106, №1, Апрель, 1982, с. 109-112
8. Motsonelidze, A., Jokhadze, P. Stability and Strength of Gravity Dams fro the Positions of the Catastrophe Theory, Georgian Technical University , Transactions, #1(374), TbilisiS
9. Kupfer, H. B. and Gerstle, K. H. (1973) ‘Behaviour of Concrete Under Biaxial Stresses’, *J. Engng. Mech. Div., ASCE*, Vol. 99, No. EM4, Aug., 853-866.
10. Lin, Z. (1995) ‘Application of Non-Linear Finite Strip Method to Concrete Structures and Tests on Damaged Beams’, PhD Thesis, South Bank University, London, UK.
11. Hsieh, S. S., Ting, E. C. and Chen, W. F. (1979) ‘An Elastic-Fracture Model for Concrete’, *Proc. 3d Eng. Mech. Div. Spec. Conf., ASCE, Austin, Tex.*, 437-440.
12. Lekhnitskii, S. G. (1963) ‘Theory of Elasticity of an Anisotropic Elastic body’, *Translation from Russian, Holden Day, San Francisco*
13. Lin, Z. and Raoof, M. (1993) ‘A Simple Biaxial Tangent Constitutive Model for Concrete Under Static Monotonic Loading Only’, *Proc. Instn Civ. Engrs, Structs & Bldgs*, 99, Feb., 49-54.



14. Varadarajan, A. and Sharma, K. G. (1989) 'Effect of a Shear Seam in the Foundation of Karjan Dam', *Int. J. Numer. Anal. Meth. Geomech.*, Vol. 13, 435-442.
15. Ge Xiurun (1981) 'Non-Linear Analysis of a Joint Element and its Application in Rock Engineering', *Int. J. Numer. Anal. Meth. Geomech.*, Vol. 5, 229-245
16. Goodman, R. E. and Dubois, J. (1972) 'Duplication of Dilatancy in Analysis of Jointed Rocks', *J. Soil Mech. Found. Div., ASCE*, Vol. 98, No. SM4, Apr., 399-422.
17. Hansen, K. D. and Reinhardt, W. G. (1991) Roller Compacted Concrete Dams, *McGraw-Hill, New York*.
18. Zaitsev, I.V., (1982), ' Modelirovanie Deformatsii i Prochnosti Betona Metodami Mekhaniki Razrushenia ', *Moskva, ' Stroizdat ', 196 p. (Rus.)*.
19. Lordkipanidze, M., Balavadze, K., (1989), ' Novoe Predstavlenie o Rabote Beto-na vo Vremeni ', *' Soobshenya Akademii Nauk Gruzinskoi SSR ', No. 3, pp. 134-140, (Rus.)*.
20. Gobbi, E. and Taliercio, A.L.F., (1998), ' Fatigue Life and Change in Mechanical Properties of Plain concrete under Triaxial Deviatoric cyclic Stresses ', *Magazine of Concrete Research, Rel. 5499, ENEL, Ricerca Polo Idraulico e Strutturale., Milano, 22 p.*
21. Tsitovich, N.A., (1973), ' Mekhanika Gruntov ', *Izdatelstvo ' Vissshaia Shkola ', Moskva, 280 p. (Rus)*.
22. Alexandrovski S. V., Bagri V. I., (1970), ' Polzuchest Betona pri Periodicheskikh Vozdeistviakh ', *Stroizdat, Moskva, 164 p. (Rus)*.
23. Saouma, V.E., Milner, D., "On Why Fracture Mechanics should be Used in Dam safety Evaluation", *Dam Engineering*, Vol 7, No. 3, pp. 215-231, Oct. 1996.
24. Henshell, R. D. and Shaw K.G. (1975) "Crack tip finite elements are unnecessary", *Int. J. Numer. Meth. in Engng*, Vol. 9, pp. 495 – 507.
25. Barsoum, R. S. (1976) "On the use of isoparametric finite elements in linear fracture mechanics", *Int. J. Numer. Meth. in Engng*, Vol. 10, pp. 25-37.
26. Remzi, E. M. (1981) "Boundary integral equation stress analysis of incompressible and nearly incompressible materials", *PhD Thesis, Imperial College, University of London*.
27. Blandford, G. E., Ingraffea, A. R. and Liggett, J. A. (1981) "Two-dimensional stress intensity factor computations using the boundary element method", *Int. J. Numer. Meth. in Engng*, Vol. 17, pp. 387-404.
28. Irwin, G. R. (1958) "Fracture", in *Handbook der Physic*, Vol. 79, Springer-Verlag, Berlin, pp. 551-590.
29. M. Raoof, A. Motsonelidze, V. Abuladze (1998) "Numerical Stability of Zero Thickness Interface Finite Elements in the Zones with High Stress Gradients", *Journal of Power Engineering*, N4, 1998, ISSN 1512-0120.

30. M. Raoof, G. Mazza, A. Motsonelidze, V. Abuladze, Constitutive Model for Concrete in Plane Stress State Accounting for the Effect of Fatigue of Concrete under Static Cyclic Loading
31. Motsonelidze, A., Koltuniuk, R., Abuladze, V. A Technique for Complex Static Retrospective Analysis of Old Concrete Gravity Dam, Jurnalni “energia” #.2(26), 2003.
32. Osidze, V. I., Khoperia D. L. (1987) “Deformation Parameters of Concrete of Inguri Arch Dam subject to Static Cyclic Compressive Loading”, in *Construction of Hydro Power Stations in Mountainous Regions, EnergoAtomIzdat, Moscow.*, pp. 52-58, (Rus.).
33. გალდავა, ლ., ბეტონის გრავიტაციული კაშხლის დაძაბულ-დეფორმირებული მდგომარეობა წყალსაცავის ფსკერზე პიღროსტატიკური დაწნევის გათვალისწინებით. საქართველოს ტექნიკური უნივერსიტეტის შრომები №. . . ობილისი, 2014